

ISBN 978-5-94375-471-5



9 785943 754715

Институт археологии РАН
Государственный Термезский университет
Международный караван-сарай
культуры Икуо Хираямы

БАКТРИЯ

БАКТРИЯ

Материалы археологических
исследований эллинистической
крепости Узундара
и «Великой Бактрийской стены»
в 2023–2024 годах

ТОМ
3

МОСКВА 2025

ТОМ 3



Институт археологии РАН
Государственный Термезский университет
Международный караван-сарай
культуры Икуо Хираямы

БАКТРИЯ

ТОМ 3

Материалы археологических
исследований эллинистической
крепости Узундара
и «Великой Бактрийской стены»
в 2023–2024 годах



МОСКВА 2025

Утверждено к печати Ученым советом Института археологии РАН

Издание подготовлено по теме НИР ИА РАН «Причерноморская и Центральноазиатская периферия античного мира и кочевнические сообщества Евразии: на перекрестке культур и цивилизаций» (№ НИОКТР 122011200269-4)

Б19

Бактрия. Том 3. Материалы археологических исследований эллинистической крепости Узундара и «Великой Бактрийской стены» в 2023–2024 годах. — М.: ИА РАН, 2025. — 192 с.: ил.
ISBN 978-5-94375-471-5

Редакционная коллегия:

к.и.н. Н.Д. Двуреченская (ответственный редактор),
д.и.н. А.С. Балахванцев, к.и.н. С.Б. Болелов,
к.и.н. О.В. Двуреченский, к.и.н. О.Н. Иневаткина,
проф. П. Лериш, к.ф.н. П.Б. Лурье, д.и.н. В.Н. Пилипко,
к.и.н. С. де Понтбриан, акад. АН РУз А.С. Сагдуллаев,
д.и.н. Ш.Б. Шайдуллаев, проф., к.и.н. Ф.В. Шелов-Коведяев

В третьем томе серии «Бактрия» представлены материалы полевых исследований, проведенных на крепости Узундара и «Великой Бактрийской стене» в 2023 и 2024 годах.

В этот период работы были сконцентрированы на основном четырехугольнике крепости Узундара. Публикуются итоги нескольких стационарных раскопок, как ранее заложенных (Р 5, Р 6, Р 8), так и новых (Р 9, Р 10). Традиционно в томе представлены полевые описи всех полученных индивидуальных находок. Отдельно рассмотрена нумизматическая коллекция.

В рамках исследований системы фортификации «Великой Бактрийской стены» были выявлены особенности конструкций башен и стен.

В отдельных приложениях рассматривается комплекс полученного в 2022–23 гг. массового археозоологического материала и образцы эпиграфики из раскопок основного четырехугольника крепости.

© Авторы Н.Д. Двуреченская, О.В. Двуреченский, И.А. Астахов,
Т.О. Двуреченская, А.А. Гладченков, О.В. Бельш, Б.Б. Базаров,
С.О. Двуреченская, Н.М. Смирнова, И.Н. Шодиев, К.А. Шейко,
Ф.В. Шелов-Коведяев, 2025
© Федеральное государственное бюджетное учреждение науки
Институт археологии РАН, 2025
© Термезский государственный университет, 2025
© Международный караван-сарай культуры Икуо Хираямы, 2025

ISBN 978-5-94375-471-5
DOI: 10.25681/IARAS.2025.978-5-94375-471-5

ОГЛАВЛЕНИЕ

| | | | |
|---|-----|---|-----|
| <i>Введение</i> | 8 | <i>Приложение 1.</i> Опись индивидуальных находок полевого сезона 2023 года | 140 |
| <i>Глава 1</i> Раскоп 5, участок 4 | 16 | Опись индивидуальных находок полевого сезона 2024 года | 152 |
| <i>Глава 2</i> Раскоп 6 | 24 | <i>Приложение 2</i> Предварительные итоги изучения археозоологического материала из раскопок 2022–23 года на территории крепости Узундара | 172 |
| <i>Глава 3</i> Раскоп 8 | 42 | <i>Приложение 3</i> Некоторые эпиграфические итоги раскопок Узундары в 2021–2024 годах (название крепости, ее греческий комендант и воины-бактрийцы) | 182 |
| <i>Глава 4.</i> Раскоп 9 | 52 | <i>Summary</i> | 188 |
| <i>Глава 5</i> Исследования «Великой Бактрийской стены» | 60 | <i>Литература</i> | 190 |
| <i>Глава 6</i> Раскоп 10 | 78 | | |
| <i>Глава 7.</i> Раскоп 11 | 122 | | |
| <i>Глава 8.</i> Монеты Узундары (сезоны 2023–2024 г.) | 132 | | |

21 января 2025 года

исполнилось 90 лет со дня рождения выдающегося ученого антиковеда археолога с мировым именем — Геннадия Андреевича Кошеленко, много лет отдавшего исследованию истории и археологии Средней Азии.

Третий том серии «Бактрия» посвящается этому событию.

Геннадий Андреевич — один из лучших учеников основателя Отдела классической археологии Института археологии РАН Владимира Дмитриевича Блаватского. Вместе они стали новаторами в зарождении подводной археологии в Советском Союзе.

Несмотря на успешные работы в Северном Причерноморье, молодого ученого захватили проблемы и вопросы восточного эллинизма. Первые научные статьи его посвящены исследованию городского строя полисов Западной Парфии. Вскоре он по ходатайству своего учителя был направлен в одну из самых прогрессивных экспедиций середины XX века — в Южно-Туркменистанскую археологическую комплексную экспедицию (ЮТАКЭ), возглавляемую Михаилом Евгеньевичем Массоном. Теперь Геннадий Андреевич мог продолжить заниматься изучением проблемы восточного эллинизма, в частности, Парфии, непосредственно в Азии. С этого момента Восток и Запад в его судьбе стали неразрывно связаны, родив у него шутливый образ себя в виде двуликого Януса.

Тема взаимодействия эллинских и местных начал на Востоке Ойкумены становится лейтмотивом в научном пути Г.А. Кошеленко. Главный его труд был посвящен исторической судьбе греческих полисов на востоке Ойкумены, что отражено в его кандидатской и докторской диссертациях и последующих монографиях. Кроме того, всю свою жизнь Геннадий Андреевич интересовался непосредственно походом Александра Македонского. В масштабном архиве из 202 папок, который хранится в Отделе классической археологии в Институте археологии РАН, значительная часть посвящена этому событию и последующей за ним эпохе эллинизма. Во многих его работах глубоко раскрыты отдельные вопросы эллинизма и ориентализма, предметно отраженные в материальной культуре Парфии, Бактрии,

Геннадий Андреевич на археологической базе М.И. Ростовцева в Дуре-Европос (Сирия)

Хорезма и Согда. Неподдельный интерес в научном поиске и необыкновенное трудолюбие стали залогом редкой плодотворности — более чем в семьсот книг и публикаций (Гаибов, Полякова, 2015).

Еще одним очень важным направлением работы Г.А. Кошеленко была борьба за чистоту и сохранение подлинных научных методов в истории и археологии. В «лихие 90-е», когда в науку стали прорываться заказные политические мотивы, когда возникали различные спекуляции и начали набирать силу псевдонаучные теории типа «новой хронологии» Фоменко, Геннадий Андреевич выступил в роли «рыцаря с мечом» и нещадно громил всю эту нечисть и впрямую на конференциях в громадных аудиториях ведущих университетов страны, и на страницах главных исторических журналов.

Помимо неограниченного вклада в науку в виде своих исследований, книг и статей, Г.А. Кошеленко сыграл большую роль в организации науки и воспитании молодых ученых, став руководителем сорока кандидатов наук. Тринадцать лет он посвятил непосредственно преподавательской деятельности, будучи доцентом кафедры истории Древнего мира исторического факультета МГУ (1974–1980 гг.). Позднее он преподавал в Московском педагогическом государственном университете им. В.И. Ленина и был заведующим кафедрой истории Древнего мира и средних веков (1980–1987 гг.). В 1983 году ему было присвоено звание профессора.

В 1986 году за книгу «Древнейшие государства Кавказа и Средней Азии» Г.А. Кошеленко был награжден золотой медалью ВДНХ. Эта книга и по сей день является актуальной и значимой в археологии Средней Азии.

В 1987 году Г.А. Кошеленко был награжден медалью «Ветеран труда». А в 1999 году ему было присвоено звание «Заслуженный деятель науки Российской Федерации».

Научные достижения Г.А. Кошеленко были отмечены не только в России. Так, в 1987 году он стал член-корреспондентом Германского археологического института, в 1990 году — Итальянского института Среднего и Дальнего Востока, в 2009 г. — Французской академии надписей и изящной словесности. Член-корреспондентом РАН Г.А. Кошеленко избран в 2006 году.

Несмотря на все регалии, в жизни и общении Геннадий Андреевич, как и многие настоящие советские ученые-энциклопедисты, был простым и чрезвычайно скромным человеком, бессеребренником, все свои силы отдававшим науке. Еще при жизни он безвозмездно передал главную ценность, собиравшуюся им более полувека — свою обширную и очень богатую библиотеку — в Институт археологии РАН.

Широта и смелость исторической мысли Геннадия Андреевича были переплетены с этими же качествами его души. Крутой нрав и одновременно веселость, открытость, скромность и принципиальность удивительно сочетались в его поистине громадной фигуре и еще более впечатляющем голосе. Он был талантливым оратором и настоящим борцом за науку, за чистоту научных методов, неустанно помогая всем, кто по-настоящему связывал с ней свой жизненный путь.

Наш Бактрийский отряд возник в 2004 году и стал частью Среднеазиатской археологической экспедиции ИА РАН, которую создал и возглавлял до конца своей жизни Г.А. Кошеленко (1980–2015 гг.). Самим своим существованием отряд обязан Геннадию Андреевичу. Нет сомнений, что долгие годы под его эгидой находилось все азиатское направление в археологии современной России. Своим долгом он считал поддержку всех археологов Средней Азии, кто волею судеб оказывался в Москве в тяжелой ситуации после развала страны.

Н.Д. Двуреченская,
Москва, ИА РАН

ВВЕДЕНИЕ

В третьем томе серии «Бактрия» представлены материалы полевых исследований, проведенных Бактрийским отрядом Среднеазиатской археологической экспедиции Института археологии РАН (Россия), сотрудниками Термезского Государственного Университета и Международного Караван Сарая культуры Икуо Хираямы (Узбекистан) на крепости Узундара и на «Великой Бактрийской стене» за последние два года (2023–2024).

Благодаря Договору о сотрудничестве между Термезским Государственным Университетом и Институтом археологии РАН, с 2022 года уже четвертый год ведутся совместные плодотворные исследования восточного эллинизма на древнебактрийской земле (Сурхандарьинская область, Узбекистан). В 2024 году работа велась по Открытому листу № 371, выданному 08.04.2024 года д.и.н., зав. каф. истории Ш.Б. Шайдуллаеву. Бактрийский отряд САЭ ИА РАН выражает свою благодарность Шапулату Базаровичу за всемерное содействие нашей экспедиции.

До начала археологических работ в 2023 году на крепости Узундара, к большому сожалению, впервые были зафиксированы беспрецедентные грабительские раскопки с применением, по всей видимости, глубинных металлодетекторов, а также многочисленные ямы по всей территории крепости и в ближайшей округе. Неизвестными расхитителями был заложен непрофессиональный раскоп в районе северо-восточной башни (СВБ),



▲ **Рис. 1.** Грабительские ямы и разрушения в районе Северо-восточной угловой башни крепости Узундара.

который разрушил часть северной стены самой башни (Рис. 1). Бактрийским отрядом было потрачено несколько дней на ликвидацию самых существенных разрушений, в частности, расчистку завалов и восстановление участка внутреннего фаса северной стены СВБ.

В 2023–24 годах работы были сконцентрированы на основном четырехугольнике крепости Узундара.

В Раскопе 5 был заложен участок 4, площадью в 50 кв. м, расположенный между вскрытыми участками северной и восточной крепостных стен (гл. 1). Культурный слой на раскопанной площади не превышал 0,8 м, никаких строений обнаружено не было. Нумизматический и керамический материал позволяют датировать внутреннее заполнение крепости на этом участке временем Евтидема I. Работу на объекте вели О.В. Двуреченский, И.А. Астахов.



▲ **Рис. 2.** Северо-восточный угол крепости Узундара. Вид с юго-востока.

На Раскопе 6 доследована северо-восточная угловая башня^(гл. 2). В 2023 году с юго-восточной стороны была заложена прирезка к раскопу, позволившая увидеть не только внешний фас СВБ, но и проследить ее стык с восточной крепостной стеной (ВКС). Были раскрыты бойницы с внешнего фаса, как на юго-восточном фасае СВБ, так и на внешнем фасае ВКС. Работу на объекте вел А.А. Гладченков.

Таким образом, на Раскопах 5 и 6 в северо-восточном углу крепости исследования были завершены^(Рис. 2).

В результате был получен образец восточно-эллинистической фортификации, где стыкуются линии тройных крепостных стен с крупной подквадратной в плане двухкамерной угловой башней с диагональным выносом^(Рис. 3).

Весь узел открытых укреплений на северо-восточном углу крепости был подготовлен к проведению работ по его основной консервации и реконструкции. Только в ходе последних мероприятий смогут быть доследованы целиком сохранившиеся проходы, соединяющие башню с внутренними галереями северной и восточной крепостных стен. На данный момент они надежно заложены многотонной кладкой камня на сухую.

На верхней площадке у северо-западного угла крепости, где в 2021 году был заложен разведочный раскоп Р 8 размером 5×5 м были продолжены исследова-



▲ **Рис. 3.** Северо-восточный угол крепости Узундара с элементами реконструкции по итогам исследований 2023 года.

ования выявленного монументального сооружения. Здесь была осуществлена прирезка и вскрыта площадь в 40 кв. м, в результате чего ранее обнаруженный скальный объект, стены и пол которого вырублены в скальном массиве, открыты на длину в 12 м^(гл. 3). Полученные материалы могут быть датированы началом II вв. до н.э. Ближайшая аналогия строительной технологии высечения в скале крупных по площади объектов — подвал 1 Скального комплекса на цитадели крепости Узундара. Однако исследования дали предварительные результаты и требуют дальнейшего расширения площади вскрытия на этом участке. Раскопки вели К.А. Шейко, И.А. Астахов.

В 2023 году для уточнения конструкции северной крепостной стены (СКС) на ее предполагаемом северо-западном крае, была заложена разведочная траншея Р 9, размером 10×2м^{(Рис.1, 2) (гл. 4)}. В результате проведен-

ных работ было установлено, что в западной части крепости на расстоянии 60 м от раскопа 5, СКС повторяет свой трехчастный характер с двумя внутрисканскими коридорами. Вновь полученные данные, в свою очередь, согласуются и подтверждают результаты георадарных исследований 2015 года и общий характер фортификационных особенностей крепости Узундара (Двуреченская и др., 2020, с. 62–93, Рис. 27, 28). Оба вскрытых внутрисканских коридора СКС дали обильный керамический и остеологический материал. Раскопки вели О.В. Двуреченский, И.А. Астахов.

В рамках работ по исследованию системы фортификации «Великой Бактрийской стены» отдельным отрядом БО САЭ были заложены разведочные раскопы на четырех отдельно стоящих башнях и стенах в районах ущелий Парч, Санчиль и Харпарида горы Сувсизтаг. В ходе исследований были выявлены особенности конструкций башен и стен, их датировка по сопутствующему керамическому материалу, которая позволяет говорить об одновременном возведении этих сооружений с крепостью Узундара. Было установлено, что отдельно стоящие башни на горе Сувсизтаг возводились в двух вариантах — круглые и квадратные в плане, что в ближайшее время позволит создать типологию этих сооружений. Разведочные работы 2023 года под руководством О.В. Бельша значительно расширили наше представление о масштабе системы фортификации «Великой Бактрийской стены».

В 2024 году все полевые исследования на крепости Узундара возглавлял О.В. Двуреченский. Были заложены два новых раскопа. P 10 расположен в середине ВКС имеет размеры 6×24 м (гл. 6). Новый участок ВКС расположен на ярко выраженном склоне и выявил дополнительные укрепления с внешнего фаса в виде подпорной стены и контрфорса, а также позволил выделить некоторые строительные приемы, которые характерны для раннего этапа строительства цитадели. Работы вели И.А. Астахов и И.Н. Шодиев.

Новый раскоп P 11, размером 5×5 м, был разбит в юго-западном углу крепости на площадке ниже юго-западной угловой башни (гл. 7). Здесь был впервые выявлен внутренний фас Южной крепостной стены. Работы вел Б.Б. Базаров.

Коллекция монет с новых раскопов, а также с планшетных сборов в округе крепости Узундара за 2023–2024 годы, была рассмотрена Н.М. Смирновой (гл. 8). Как и в предыдущие годы были получены уникальные монеты, в том числе, первая на крепости монета Селевка I — серебряная гемидрахма александровского типа.

За два года исследований получена коллекция индивидуальных находок, насчитывающая 113 предметов. Все находки сданы на хранение



▲ Рис. 4. Крепость Узундара. Вид сверху на стационарные раскопы, заложенные с 2013 по 2024 г. Фото.

в Археологический музей Термеза. Описи индивидуальных находок за 2023–24 годы представлены в Приложении 1.

Продолжена плановая работа по изучению массового археозоологического материала из раскопок преимущественно основного четырехугольника крепости. С.О. Двуреченской рассмотрен комплекс, полученный в 2022–23 гг. (Прил. 2). Анализ остеологических материалов по трем хронологическим периодам существования крепости показал некоторые тенденции в изменении мясного рациона, которые требуют подтверждения — это уменьшение во второй половине III в. до н.э. потребления баранины и некоторое увеличение мяса ослы.

В рамках продолжающихся эпиграфических исследований Ф.В. Шеловым-Коведяевым рассмотрена небольшая выборка надписей с крепости Узундара. Выдвигается гипотеза о наименовании крепости Узундара как **Βᾱρίς**, также предлагаются прочтения имени греческого коменданта крепости и некоторые имена воинов-бактрийцев (Прил. 3).

В подготовке монографии приняли участие:

Н.Д. Двуреченская,
 О.В. Двуреченский,
 И.А. Астахов,
 А.А. Гладченков,
 С.О. Двуреченская,
 Т.О. Двуреченская,
 К.А. Шейко,
 Н.М. Смирнова,
 О.В. Бельш,
 Ф.В. Шелов-Коведяев,
 И.Н. Шодиев,
 М.Д. Тульнова,
 Б.Б. Базаров.

Тахеометрическую съемку на всех объектах крепости Узундара осуществлял геодезист К.М. Кузьмичев.

В подготовке книги к изданию большую помощь оказали наши коллеги:

д.и.н. А.С. Балахванцев,
 к.с.н. Е.А. Закаблущая,
 к.и.н. С.Б. Болелов,
 за что выражаем им самую искреннюю признательность.

Полевые сезоны 2023–24 года потребовали, как и прежде, ввиду отсутствия безопасной дороги, большого напряжения сил всего Бактрийского отряда. Без спонсорской поддержки К.А. Бейрита, а также М.И. Суслова, проведение работ было бы невозможно.

**Бактрийский отряд САЭ ИА РАН
 выражает искреннюю
 благодарность всем за оказанную
 бескорыстную помощь!**

► **Рис. 4.** Крепость Узундара. Раскопы, заложенные с 2013 по 2024 год включительно.



P Номера раскопов (римскими 2013–2019 гг., арабскими с 2021 г.)
 Вскрытые археологическими раскопками объекты

Башни
 Крепостные стены

О.В. Двуреченский,
Москва, ИА РАН
И.А. Астахов, Тула

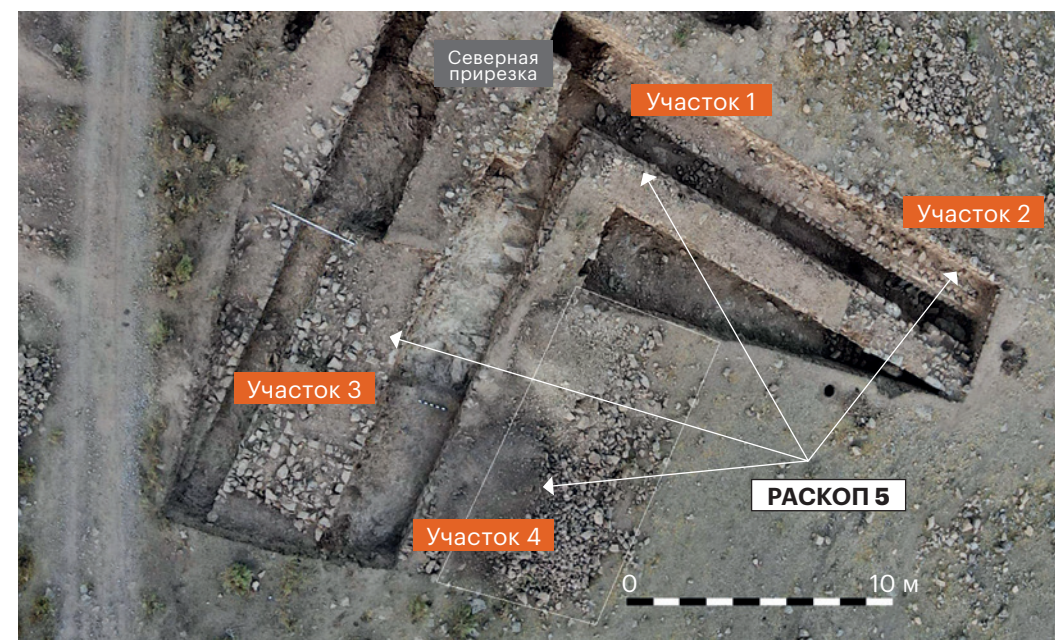
Глава 1

РАСКОП 5, УЧАСТОК 4

В 2023 г. начата работа на участке 4 раскопа 5. Участок расположен юго-восточнее раскопа 5, примыкает к вскрытому в 2021–2022 гг. углу внутренней стены северной и восточной крепостной стены (раскоп 5, участки 1, 3), ограничен размерами 10 на 5 м и ориентирован по сторонам света, где северная бровка и южный борт 10 м, западный борт и восточная бровка 5 м (Рис. 1). Дневная поверхность, основные находки, а также высота слоев были сняты с помощью тахеометра и нивелира.

Цель проведения работ на данном участке: обследование пространства внутри «крепости» на предмет примыкающих к стене построек.

Дневная поверхность участка была покрыта сухой травой и кустарниками полыни (Рис. 2). Имеется уклон дневной поверхности к юго-востоку: по западному борту с севера на юг — перепад 1,42 м, по южному борту с запада на восток — перепад 0,74 м. На северной границе участка выступают крупные системные камни, представляющие собой недовскрытый внутренний фас 3 стены СКС.



▲ Рис. 1. План раскопа 5 до начала работ.

После снятия дернового слоя мощностью 0,05–0,08 м была проведена зачистка с выходом по всей площади участка первого слоя — слой бурой супеси с большим содержанием гравия и крупных камней. После выхода на первый слой было принято решение о выравнивании всей площади раскопа относительно южного борта. В процессе выравнивания производилось постепенное углубление в грунт с севера на юг и нивелировка уклона. В результате выборки первых пластов бурого слоя вдоль северной бровки выступил южный край внутренней стены северной крепостной стены. На глубине от 0,88 м до 0,94 м на всем протяжении северной бровки выступил скальный материк. В то же время был полностью вскрыт внутренний фас 3 стены СКС, расположенный на скальном материке, произведена зачистка и фотофиксация (Рис. 3–5).

При выборке грунта, на расстоянии 1,5 м от западного борта и 2,2 м от северной бровки, на глубине 0,6 м была обнаружена *in situ* полная форма лепного сосуда со сколом на месте ручки № п/о 3 (Рис. 11, 8). В этом же слое на этой же глубине так же были обнаружены два наконечника стрел (трехлопастные, черешковые), многочисленные фрагменты керамики и кости животных.



▲ **Рис. 2.** Раскоп 5 участок 4 до начала работ.



▲ **Рис. 3.** Внутренний фас СКЗ 3, западная часть.

По окончании выравнивания рабочей поверхности относительно южного борта был обнаружен выход скального материка на 1/3 участка вдоль северной бровки и в северо-западном углу. Кроме слоя бурой супеси с примесью мелкого гравия и крупных камней, других слоев выявлено не было. Была произведена зачистка и фотофиксация выровненной поверхности. Далее производилась выборка грунта на всей площади участка до скального материка (Рис. 6). Эпизодически над скальным материком выступает надскальник, мощностью не превышающий 0,05 м, например, в юго-восточном углу участка. По окончании выборки грунта и выхода по всей площади участка на скальный материк были произведены зачистка и фотофиксация поверхности раскопа, а также съемка с помощью нивелира и тахеометра. Находки представляют собой наконечник стрелы (трехгранный, черешковый), многочисленные фрагменты керамики и костей животных.

В зависимости от уклона, мы имеем разную мощность грунта на данном участке: по северной бровке глубина раскопа составляет в северо-западном углу 0,94 м, на расстоянии 5 м от северо-западного угла — 0,88 м, в северо-восточном углу — 0,92 м; по западному борту глубина раскопа составляет в северо-западном углу — 0,94 м, в центре — 0,76 м, в юго-западном углу — 0,16 м; по южному борту глубина раскопа составляет в юго-западном углу — 0,16 м, на расстоянии 5 м от юго-западного угла — 0,23 м, в юго-восточном углу — 0,3 м.



◀ **Рис. 4.** Внутренний фас СКС 3, центральная часть.



◀ **Рис. 5.** Внутренний фас СКС 3, восточная часть. На уровне 1 пласта была обнаружена монета — лепта Евтидема I хорошей сохранности. Она располагалась в буром слое (Рис. 11, 1).



◀ **Рис. 6.** Раскоп 5 участок 4, выход на материк, вид с запада.



◀ **Рис. 7.** Раскоп 5 участок 4. Западный борт.



◀ **Рис. 8.** Раскоп 5 участок 4. Южный борт.

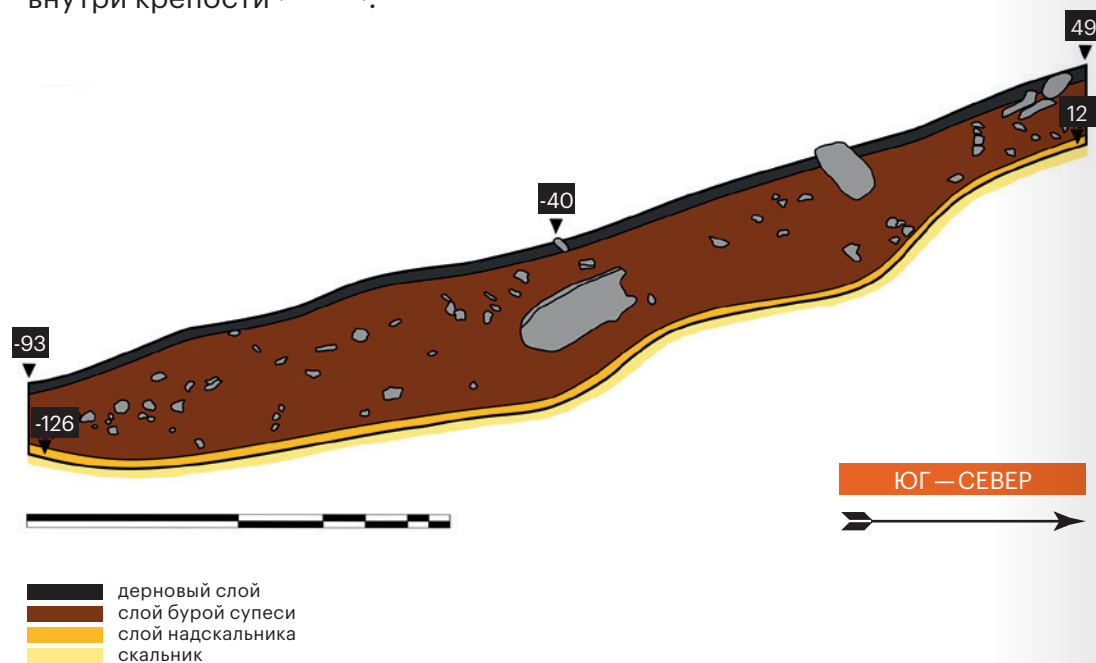


◀ **Рис. 9.** Раскоп 5 участок 4. Общий вид после окончания работ.

На данном участке в стратиграфии бортов мы наблюдаем такие слои как:

- дерновой слой мощностью от 0,05 до 0,08 м по всей поверхности участка;
- слой бурой супеси с большим содержанием гравия и крупных камней мощностью от 0,8 до 0,1 м, в зависимости от уклона рабочей поверхности, где значение до 0,8 м достиглось вдоль северной бровки, и значение 0,1 м вдоль южного борта;
- слой над скальником — неярко выраженный слой мощностью до 0,05 м, представляющий собой плотную глину с примесью гравия, эпизодически выступающую над скальным материком (Рис. 7, 8, 10).

Можно констатировать отсутствие на этом участке раскопа 5 следов, каких-либо построек, примыкающих к внутренней стене восточной крепостной стены или иных фундаментов, что говорит о некой свободной площади внутри крепости (Рис. 9–10).



▲ Рис. 10. Раскоп 5 участок 4. Стратиграфический разрез западного борта.



▲ Рис. 11. Индивидуальные находки Раскопа 5, участка 4: 1 — монета Евтидема I; 2, 3 — крючки; 4, 5 — наконечники стрел; 6 — пряслице; 7 — нож; 8 — лепной кувшин. 1 — бронза; 2–5, 7 — железо; 6, 8 — керамика.

А.А. Гладченков,
Владивосток,
ИИАЭДВ ДВО РАН

Глава 2

РАСКОП 6

Раскоп 6 «Восточный фас» был заложен над предполагаемым стыком внешнего фаса восточной крепостной стены и стеной северо-восточной башни крепости. Площадь разбитого раскопа составила 28 м², границы его были сориентированы по линии север-юг с небольшим доворотом, учитывающим расположение объектов на местности.

Поверхность раскопа выпуклая, с общим значительным повышением к северо-западному углу раскопа. Дневная поверхность слабо одернована, покрыта редкими кустами полыни, из-под дернового слоя повсеместно проступают крупные камни (Рис. 1–3).

Поверхность раскопа была расчищена от травы и кустов полыни, после чего была проведена тахеометрическая съемка.

При проведении раскопок на начальном этапе использовался шанцевый инструмент — лопаты и кирки для разбора завалов, образованных разрушением стен (Рис. 4).

В последующем, после преодоления уровня завала при разборке нижнего, предматерикового слоя, использовался различный зачистной инструмент: совки, тяпки. Весь снятый грунт просматривался и перебирался, археоло-



◀ Рис. 1. Дневная поверхность перед началом работ.



◀ Рис. 2. Дневная поверхность перед началом работ. Вид с северо-востока.



◀ Рис. 3. Дневная поверхность перед началом работ. Вид с северо-запада.



◀ **Рис. 4.**
Рабочий момент.
Снятие дернового слоя. Вид с юго-востока.



◀ **Рис. 5.**
Рабочий момент.
Проверка снятого грунта. Вид с запада.

гический материал сортировался по пакетам, с ведением всей необходимой полевой документации. На всех этапах работ использовался металлодетектор, исключительно при просмотре уже снятого и перебранного вручную грунта (Рис. 5). Вынутый грунт вывозился тачками за пределы крепостных стен. Крупные камни отбирались отдельно для последующей консервации и возможной реконструкции.

После снятия незначительного по мощности дернового слоя (2–5 см) открылся слой коричневого суглинка, насыщенного крупными камнями, залегающими бессистемно — слой финального обрушения стен. Глубина снятия составила 0,5 м в юго-восточном углу раскопа



◀ **Рис. 6.** Следы антропогенного воздействия. Находки поддернового слоя.



◀ **Рис. 7.**
Рабочий момент.
Обнаружение кладки внешнего фаса северо-восточной башни. Вид с юга.

и, из-за особенностей рельефа, мощность выбранного слоя в северо-западном углу достигла 1,6 м. Данный уровень снятия был зафиксирован как 1-й пласт.

В дерновом слое, а также в верхней части слоя коричневого суглинка, было найдено значительное количество предметов антропогенного характера, что объясняется наличием рядом с раскопом дороги пастушьей тропы, и огороженного загона для скота (Рис. 6).

При разборе слоя коричневого суглинка, практически с уровня дневной поверхности, была обнаружена кладка стены, которая в последующем оказалась внешним фасом южной стены северо-восточной башни (Рис. 7).



▲ **Рис. 8.** Раскоп после снятия 1-го пласта. Вид с юго-востока.



▲ **Рис. 9.** Раскоп после снятия 2-го пласта. Вид с юго-востока.

Двигаясь вдоль обнаруженной кладки, был открыт стык внешнего фаса восточной крепостной стены с внешним южным фасом стены северо-восточной башни. Также по нижней границе снятия 1-го пласта были вскрыты верхние части проемов двух бойниц в крепостной стене и стене башни (Рис. 8).

Находки в данном слое были незначительны — обломки тарной и столовой посуды, сравнительно небольшое количество костей животных.

2-й пласт выбирался на глубину 40–50 см, слой не изменился, как и количество, и характер материала. Из находок 2-го пласта стоит отметить фрагмент «мегарской» чаши (Рис. 35, 3) и фишку с отверстием, сделанную из стенки керамического сосуда (Рис. 35, 5). При выборке 2-го пласта были полностью открыты проемы бойниц (Рис. 9).

Вскрытые бойницы показали разные конструктивные особенности. Внешние проемы бойниц восточной крепостной стены имели подквадратную форму.

Бойница №1 ВКС 1 (отсчет ведется от стыка ВКС и СВБ), размерами приблизительно 30 × 23 см (Рис. 10), хорошо сохранилась, незначительно деформирована, полностью сохранила сквозной проем (Рис. 11). Бойница №2 восточной крепостной стены повреждена значительно сильнее. Ее изначальная высота также предполагается в районе 30 см, но ширину по проему определить сложнее. Внутренний проем также деформирован, однако можно предположить, что его ширина, так же, как и у бойницы №1 составляла около 23–25 см (Рис. 12, 13).



▲ **Рис. 10.** Бойница №1 Восточной крепостной стены. Вид с востока.



▲ **Рис. 12.** Бойница №2 Восточной крепостной стены. Вид с востока.



▲ **Рис. 11.** Конструкция Бойницы №1 Восточной крепостной стены.



▲ **Рис. 13.** Конструкция бойницы №2 Восточной крепостной стены.

При расчистке бойницы №2, внутри бойницы, практически у внешнего края проема был обнаружен развал сосуда с греческой надписью (Рис. 14; 35, 7).

На вскрытом отрезке внешнего фаса ВКС 1 две хорошей сохранности бойницы подтвердили ранее выявленный на цитадели шаг в 1,75 м между ними.



◀ **Рис. 14.** Фрагмент керамики с надписью, найденный внутри бойницы №2.

Бойница №1 северо-восточной башни, расположенная в южной стене, сильно деформирована, ее высота — 30 см, ширина 20 см. В отличие от бойниц ВКС, щеки проема бойницы в башне образованы двумя плоскими вытянутыми камнями, поставленными вертикально (Рис. 15).

Внутренний проем бойницы завален, расчистить полностью его не удалось (Рис. 16).

3-й пласт мощностью — 50 см полностью состоял из слоя обрушения стен. Итоговая мощность последнего составила 1,2 м в юго-восточном углу раскопа, и 2,1 м в северо-западном углу раскопа (Рис. 17). Под слоем завала залегал незначительный по мощности слой серовато-коричневого, золистого суглинка. На контакте этих двух слоев были найдены монета Антиоха I (Рис. 35, 1) и каменная галька, использовавшаяся как ядро для пращи (Рис. 35, 4).

Слой серовато-коричневого, золистого суглинка залегал непосредственно на скальном цоколе и слое коричневой стерильной глины, служившими основанием для крепостных стен. Мощность слоя серовато-коричневого, золистого суглинка составила до 40 см под стенами, и постепенно истончаясь к восточному борту, уменьшилась до 10–15 см. Характер археологического материала изменился незначительно, в сравнении с вышележащим слоем завала — в слое серовато-коричневого, золистого суглинка несколько увеличи-

▶ **Рис. 15.** Бойница №1 северо-восточной башни. Вид с юга.



▶ **Рис. 16.** Конструкция бойницы №1 северо-восточной башни.



▶ **Рис. 17.** Раскоп после снятия 3-го пласта. Вид с востока на ВКС 1.





◀ **Рис. 18.** Раскоп после проведения зачистки по скальному цоколю. Вид с востока.



◀ **Рис. 19.** Прирезка к раскопу. Дневная поверхность. Вид с юга.

лось количество обломков тарной посуды. После его выборки была проведена зачистка по уровню скального цоколя (Рис. 18).

Для того чтобы открыть внешний угол северо-восточной башни, к Раскопу 6 вдоль восточного борта была сделана прирезка длиной 5 м и шириной 1 м (Рис. 19, 33,34).

Поскольку характер заполнения был известен и полностью соответствовал заполнению в основном раскопе, выборка производилась последовательно в два пласта (Рис. 20, 22).



◀ **Рис. 20.** Рабочий момент. Снятие 1-го пласта в прирезке. Вид с юга.



◀ **Рис. 21.** Прирезка после снятия 1-го пласта. Вид с юга.



◀ **Рис. 22.** Рабочий момент. Снятие 2-го пласта в прирезке. Вид с юга.



◀ **Рис. 23.** Прирезка после снятия 2-го пласта. Вид с юга.



◀ **Рис. 24.** Раскоп после проведения окончательной зачистки. Вид с юго-востока.



◀ **Рис. 25.** Внешний угол южной и восточной стены СВБ. Вид с юго-востока.

▶ **Рис. 26.** Стык ВКС 1 с северо-восточной башней. Вид с юго-востока.



▶ **Рис. 27.** Кладка внешнего фаса ВКС 1. Вид с востока.



Глубина снятия 1-го пласта в прирезке составила 10–120 см ^(Рис. 21), 2-го пласта 30–40 см ^(Рис. 23), после чего, так же, как и в основном раскопе, вышли на незначительный по мощности (10–15 см) слой серовато-коричневого, золистого суглинка, залегавшего линзами под основанием стены башни. После его выборки была проведена общая зачистка по материке ^(Рис. 24).

Благодаря заложенной прирезке был полностью открыт юго-восточный внешний угол северо-восточной башни ^(Рис. 25).



◀ **Рис. 28.** Кладка внешнего фаса южной стены СВБ. Вид с юга.

◀ **Рис. 29.** Прирезка. Северный борт. Вид с юга.

▶ **Рис. 30.** Восточный борт раскопа. Вид с запада.

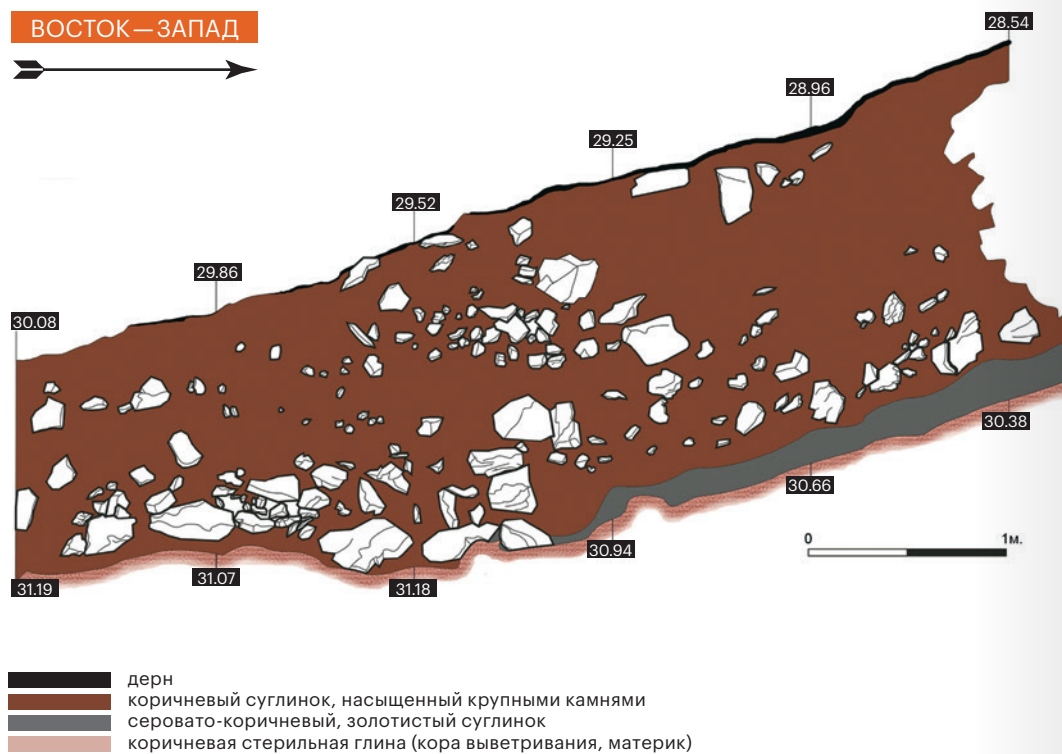
▶ **Рис. 31.** Южный борт раскопа. Вид с севера.



Стены ВКС и СВБ сложены в перевязку, что говорит об их единовременной постройке (Рис. 26).

Перевязка кладки сделана достаточно небрежно, с интервалом 30–50 см, что примерно соответствует приему—один ряд кладки в перевязку, два ряда кладки встык.

На вновь вскрытых участках внешнего фаса ВКС 1 и СВБ кладка заметно неровная, камни подобраны преимущественно подпрямоугольные, уложены так, чтобы плоской частью быть обращенными на внешние фасады стен. Размер камней, используемых в кладке стен в основном варьируется в пределах 15–16×35–40 см, и 20–25×30–35 см (Рис. 27, 28).



▲ Рис. 32. Южный борт раскопа. Профиль.

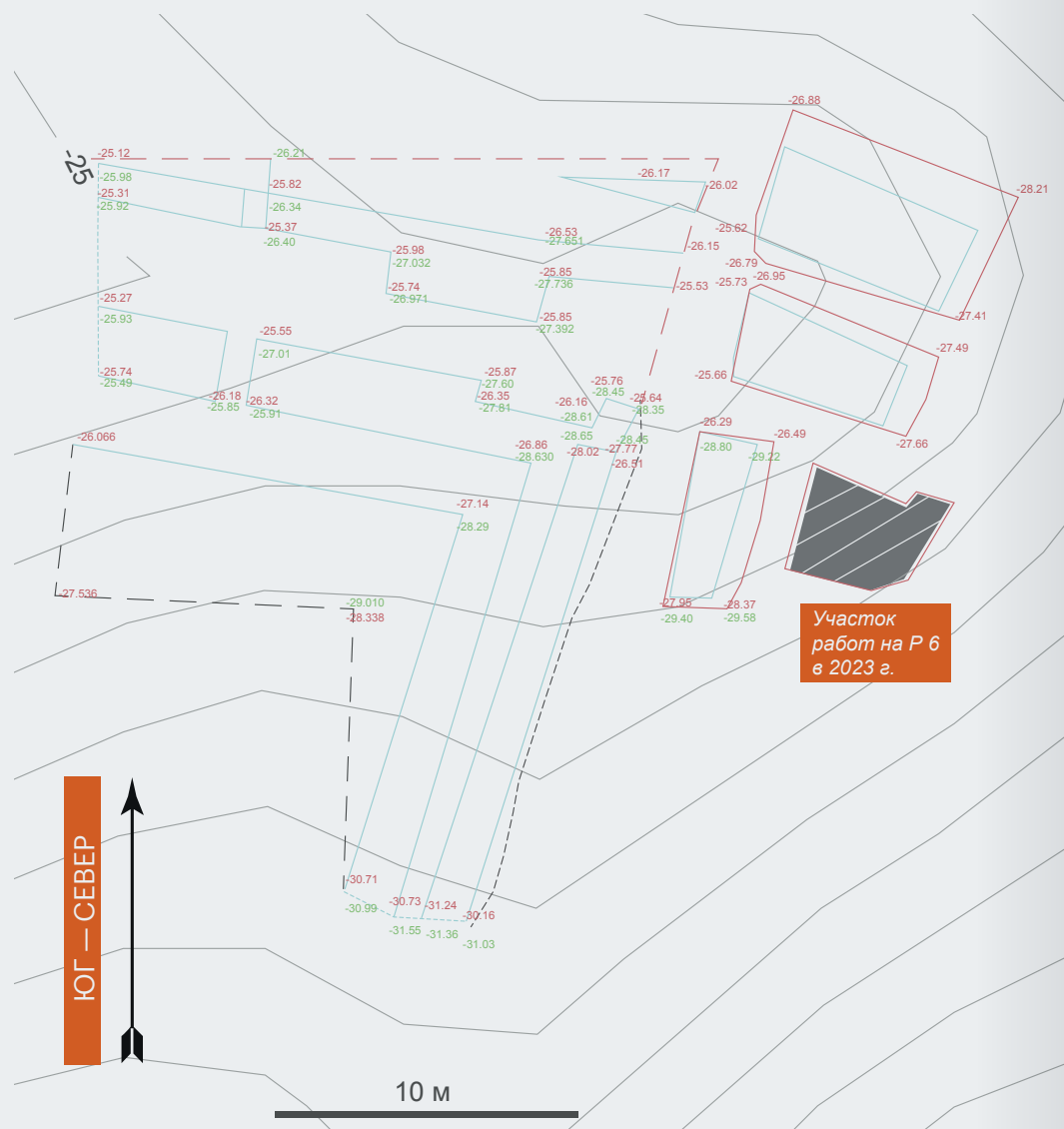
Стратиграфия на этом участке довольно простая, представлена в основном слоем обрушения крепостных стен и стен башни — коричневым суглинком с крупными камнями (Рис. 29–31).

Под ним залегал незначительный по мощности слой серовато-коричневого золотистого суглинка — очевидно, мусорный слой, сбрасываемый со стен в период существования крепости, фиксировался он не по всей вскрытой площади, а концентрировался в основном под стенами.

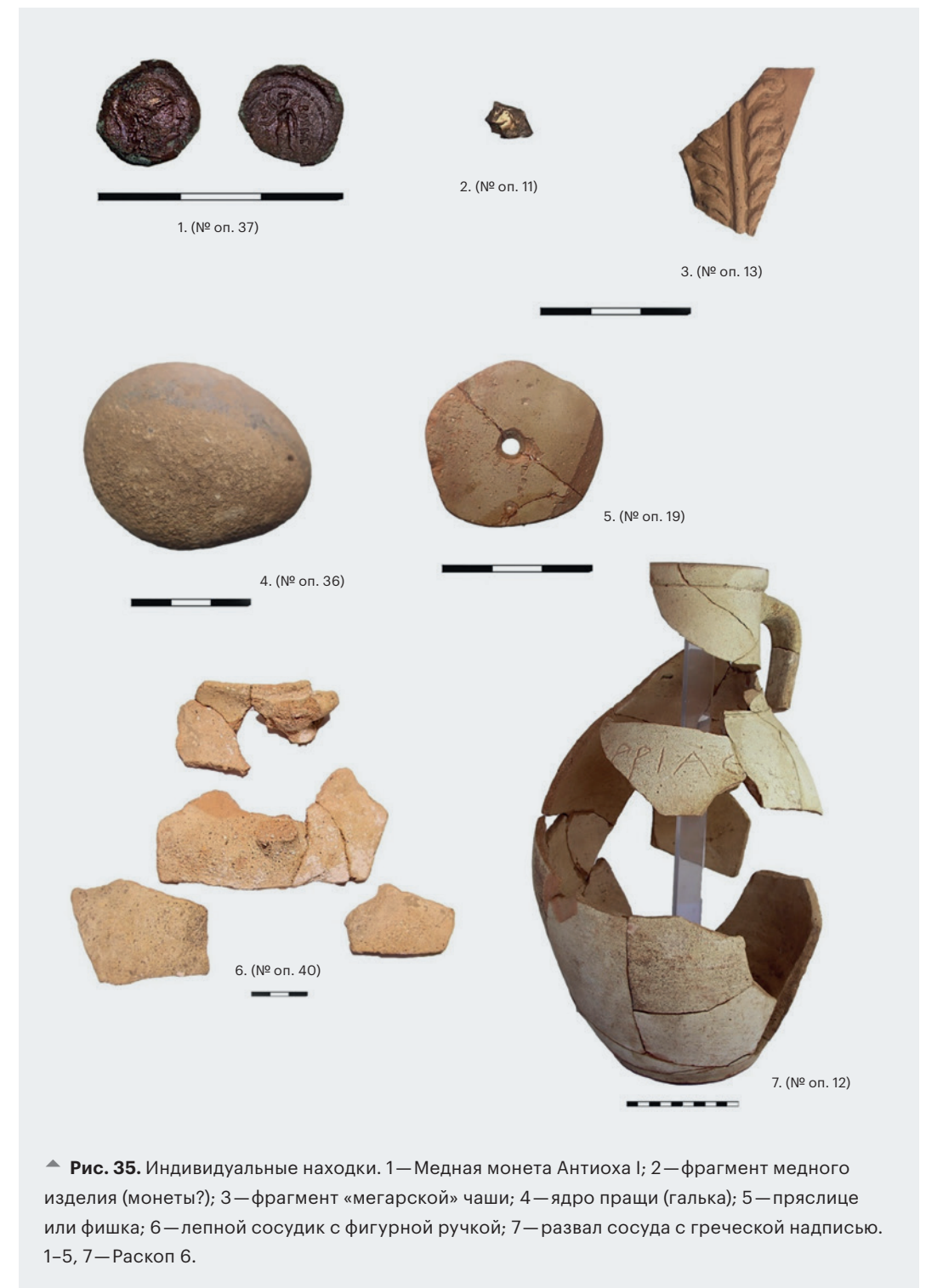
Ниже шел слой коричневой стерильной глины, насыщенной известняковым мелким щебнем, с выходами скального цоколя — разлагающаяся скала, являющаяся археологическим материком. Наиболее наглядно стратиграфия раскопа представлена южным бортом (Рис. 31–32).

► Рис. 33. Раскоп 6. Общий вид.





▲ Рис. 34. Общий план Раскопа 6.



▲ Рис. 35. Индивидуальные находки. 1—Медная монета Антиоха I; 2—фрагмент медного изделия (монеты?); 3—фрагмент «мегарской» чаши; 4—ядро пращи (галька); 5—пряслице или фишка; 6—лепной сосудик с фигурной ручкой; 7—развал сосуда с греческой надписью. 1–5, 7—Раскоп 6.

Н.Д.Двуреченская,
Москва, ИА РАН
К.А.Шейко, Ташкент,
МКСК Иқуо Хираямы
И.А.Астахов, Тула



▲ **Рис. 1.** Раскоп 8 на момент окончания работ 2022 г.

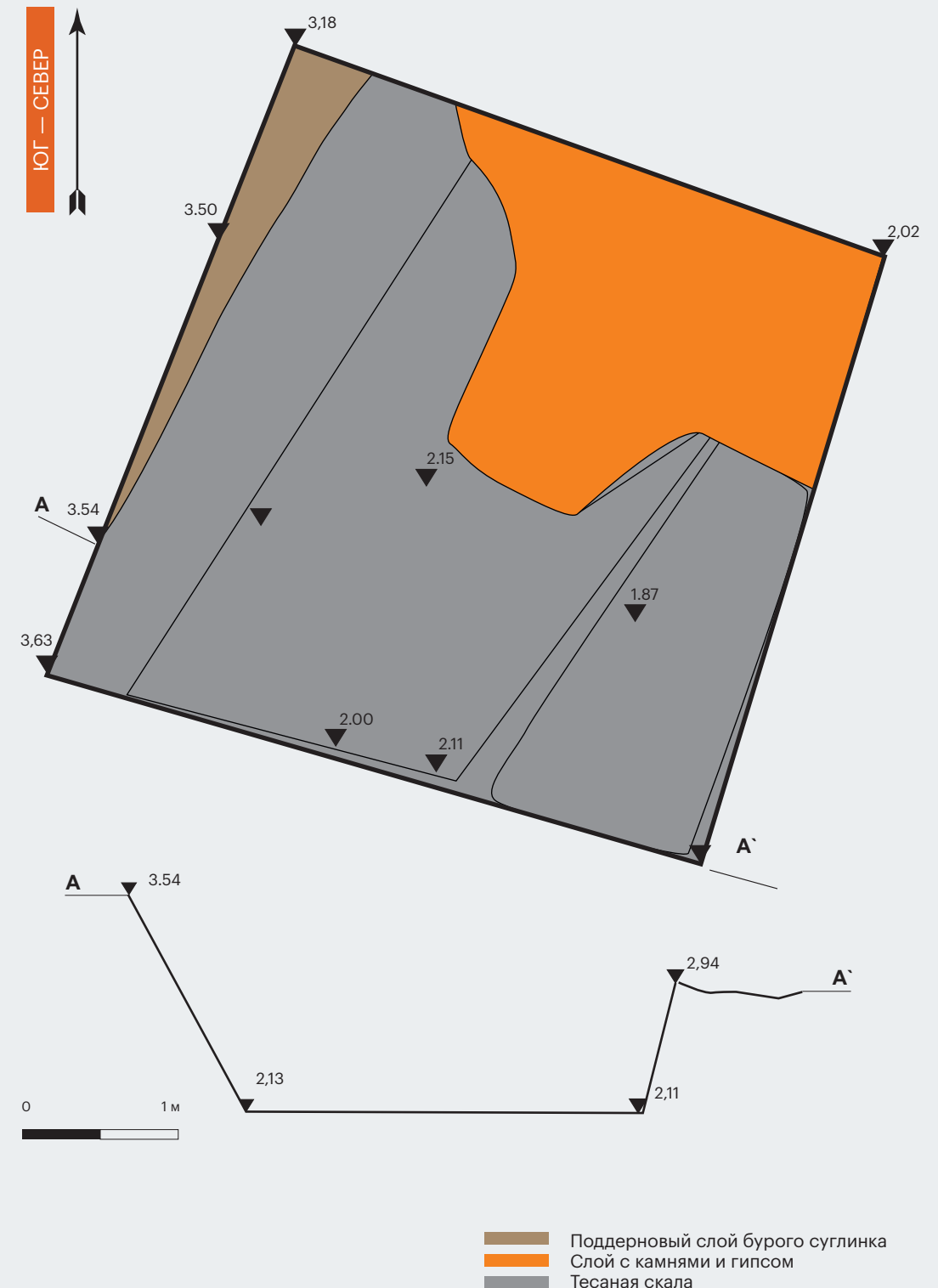
Глава 3

РАСКОП 8

В 2023 г были продолжены работы на раскопе 8, который расположен в северо-западном углу крепости, и был начат в 2022 г. Раскоп представляет собой квадрат 5×5 м с выявленным внутри раскопа сооружением, высеченным в скале, прямоугольным в плане, вытянутым по направлению СВ–ЮЗ, шириной от 2,5–2,77 м. Сооружение сохранилось на высоту от 0,5 м (восточный борт) до 1,4 м (западный борт) (Рис. 1, 2).

В северо-восточном углу раскопа был локализован каменный завал с включениями в виде гипса в комьях и прослойках, а также следами горения в виде угольков, золы, размерами около 3 м^2 (Рис. 3, 4).

По причине необходимости долговременной зачистки данный завал в 2022 г не разбирался. В северном борту раскопа прослеживается каменный завал, напоминающий разрушающуюся кладку стены. Он отделяет скальную конструкцию от обрыва в урочище Кара-Камар.



▲ **Рис. 2.** Раскоп 8. Общий план на момент окончания работ 2022 г.



▲ **Рис. 3.** Каменный завал в центре раскопа, вид с юга.



▲ **Рис. 4.** Каменный завал в центре раскопа, вид с востока.



▲ **Рис. 5.** Раскоп 8. Участок работ 2023 г., дневная поверхность.



▲ **Рис. 6.** Раскоп 8. Итоговое фото после окончания работ 2023 г.



▲ Рис. 7. Раскоп 8. Северный борт.

▲ Рис. 8. Раскоп 8. Восточный борт.

▶ Рис. 9. Раскоп 8. Южный борт.



В 2023 г. было принято решение продолжить работы на этом раскопе, сконцентрировавшись именно на высеченном в скале сооружении. Скальная конструкция уходит в южный борт раскопа и продолжается по направлению на юго-запад, поэтому было принято решение ограничить участок исключительно ее границами. Для этого был разбит участок 3,5 на 5 м, где северным краем участка является южный борт раскопа, с востока и запада участок ограничен краями скальной конструкции. Участок имеет неправильную форму и ориентирован по направлению северо-восток — юго-запад (Рис. 5).

Цель работ: выявить скальное сооружение на всем его протяжении, разобрать и зачистить завал со следами горения в северо-восточном углу раскопа.

Дневная поверхность участка была покрыта сухой травой и кустарниками полыни, имеет небольшой уклон с запада на восток и с юга на север. На восточной границе участка фрагментарно выступает скальник, визуально представляющий собой продолжение скальной конструкции.

После вскрытия дернового слоя мощностью от 0,05 до 0,08 м, была проведена зачистка с выходом на большей части рабочего участка на первый слой с большим содержанием гравия и крупных камней. В ходе его выборки в юго-западном углу раскопа выступил завал особенно крупных камней (вероятно, обвал с башни), с большим количеством керамического материала.

По мере изъятия грунта на восточном и западном краях участка начинают выступать борты вырубленной скальной конструкции, находящиеся под тем же углом и идущие в том же направлении, что были зафиксированы на ранее вскрытом участке. Скальные борты конструкции ровные и имеют четкие следы подтесывания скалы. Однако без трассологических исследований не представляется возможным определение ширины и характера орудий, применявшихся при обработке скалы.

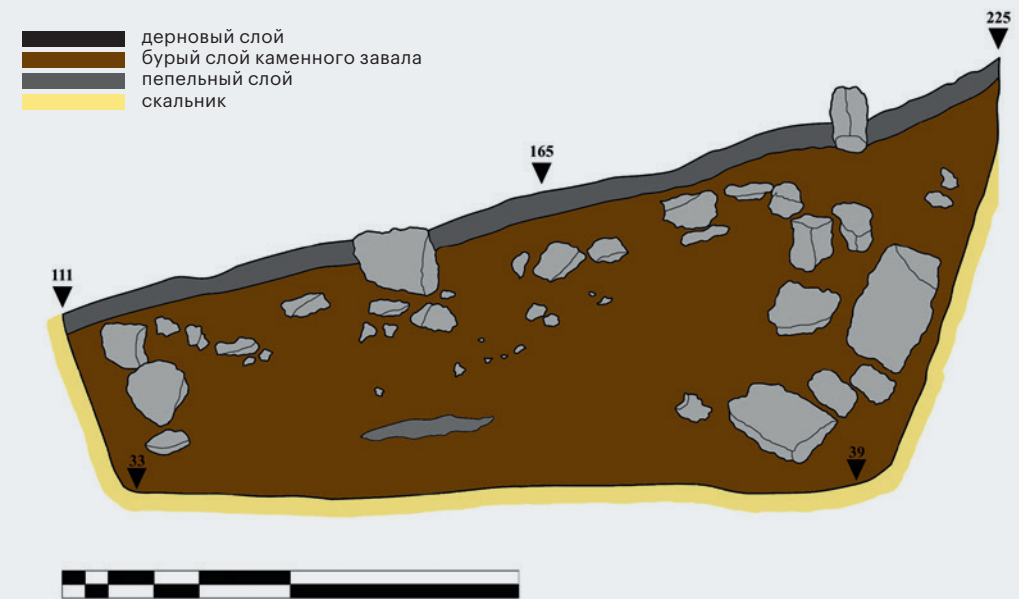
Находки первых двух пластов представляют собой значительное количество (особенно в районе юго-западного завала) фрагментов крупной тары и столовой керамики, профильные керамические части, фрагменты костей животных, фрагмент стенки хума с граффито (Рис. 13, 4).

В ходе дальнейшей выборки бурого слоя и разбора каменного завала в юго-западном углу участка, на глубине 1,1 м у восточного борта и 1,7 м у западного борта произошел выход на скальный материк на всей поверхности раскопа. Дно скальной конструкции представляет собой ровную, обработанную поверхность с незначительным уклоном к северу.

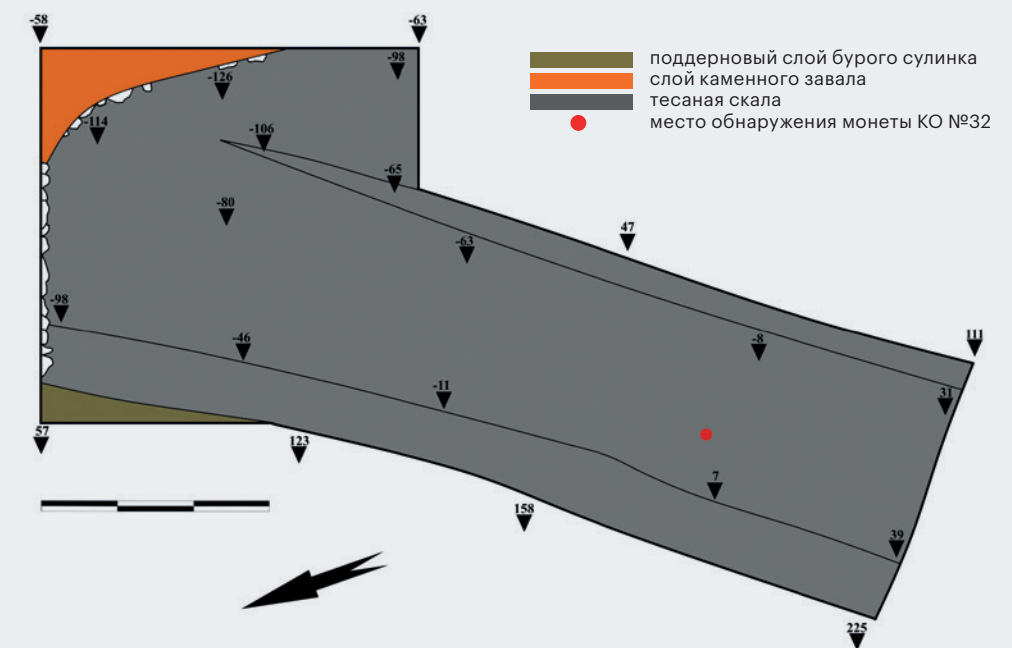
По окончании выборки грунта из скальной конструкции, и ее зачистки было принято решение расширить размеры ранее выбранного участка по направлению к югу, увеличив их на 2 м с помощью дополнительной прирезки. В рамках прирезки также был повсеместно выявлен слой бурой супеси. Западная часть прирезки представляет собой каменный завал с массивными камнями (обрушившиеся с башни каменные блоки) (Рис. 6–8).

Находки представляют собой значительное количество крупных и мелких фрагментов керамики, профильные керамические части, фрагменты костей животных. На дне скальной конструкции была обнаружена серебряная монета (обол) царя Деметрия I, железный наконечник стрелы (трехлопастной, черешковый) (Рис. 13, 1, 3).

Таким образом, на данный момент исследований получена скальная монументальная конструкция длиной 12 м вдоль западного борта и 10 м вдоль восточного. Однако очевидно, что конструкция продолжается далее на юг. Глубина конструкции вдоль западного борта до 1,85 м, вдоль восточного борта от 0,7 до 1,1 м. Западный борт скальной конструкции имеет угол 70–80 градусов, восточный борт имеет угол 60 градусов, оба борта ровные, имеют четкие следы подтесывания и сглаживания. Дно скальной конструкции представляет собой ровную, обработанную поверхность с незначительным уклоном к северу. Южный борт раскопа перпендикулярен бортам скальной конструкции. В стратиграфии южного борта наблюдаются значительные каменные блоки, а также по центру борта, на глубине 0,9 м слой золы (Рис. 9, 10).



▲ Рис. 10. Раскоп 8. Стратиграфический разрез южного борта.



▲ Рис. 12. Общий план раскопа 8 после окончания работ.

► **Рис. 11.** Слой золы и куски гипса под каменным завалом в центре раскопа 8.



После окончания работ в скальной конструкции было принято решение разобрать и зачистить завал, оставленный в северо-восточном углу раскопа в 2022 г. В ходе его разбора были обнаружены камни, подвергшиеся сильной термической обработке, спекшиеся куски гипса, куски красной запекшейся глины. Под завалом обнаружено ярко выраженное пятно черной золы с кусочками древесного угля. Под слоем золы по всей поверхности выступает скальный материк. находки из каменного завала представляют собой незначительное количество мелких фрагментов керамики и костей животных (Рис. 11).

На данном участке в стратиграфии бортов мы наблюдаем такие слои как:

- дерновый слой мощностью от 0,05 до 0,08 м по всей поверхности участка;
- бурый слой каменного завала с большим содержанием гравия и крупных камней, мощностью от 0,7–1 м вдоль восточного борта, до 1,85 м вдоль западного борта.

Можно констатировать, что по результатам работ скальная конструкция до конца не вскрыта, ее следы прослеживаются на дневной поверхности еще на несколько метров в юго-западном направлении (Рис. 12, 13).

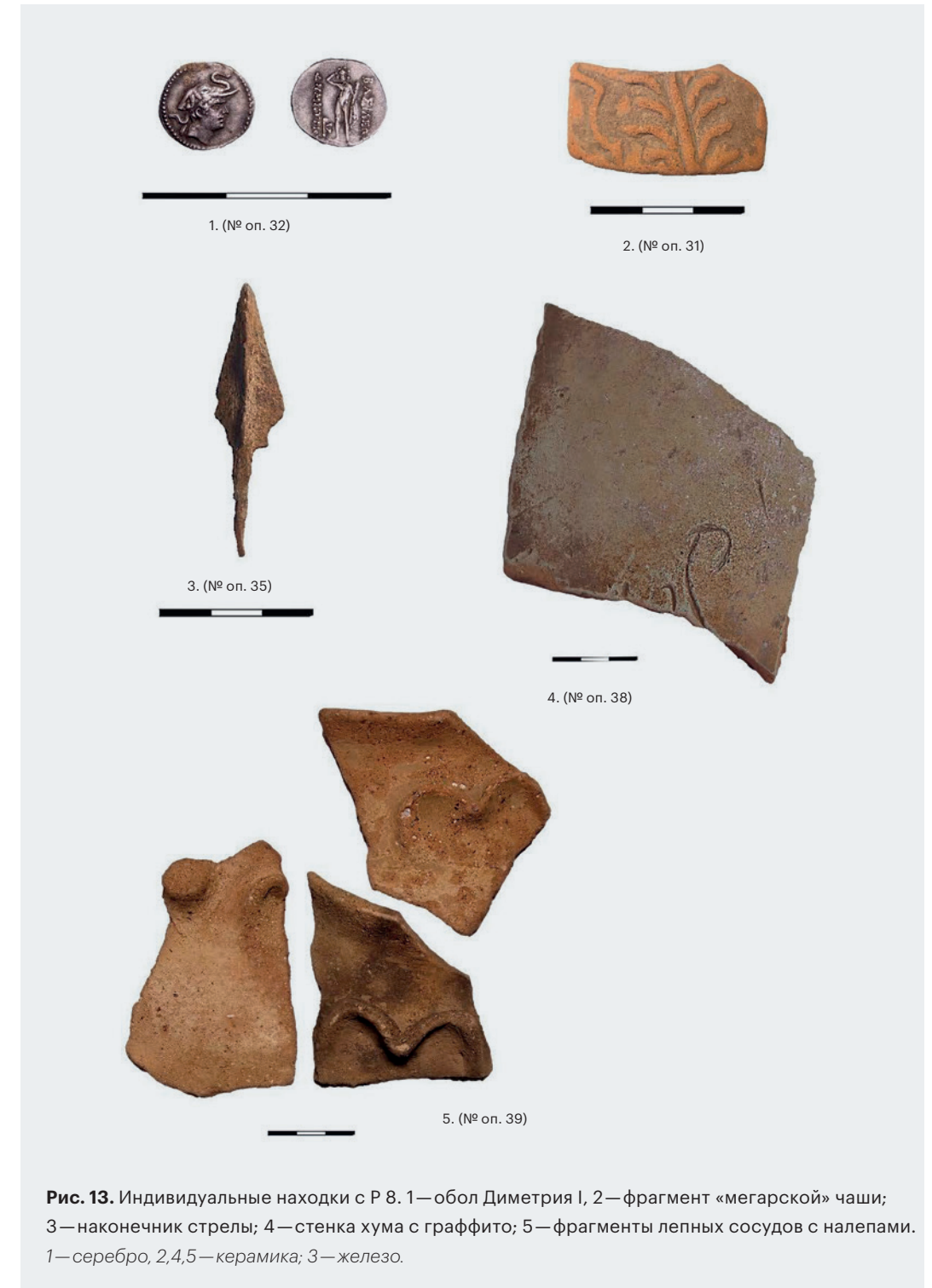


Рис. 13. Индивидуальные находки с Р 8. 1—обол Диметрия I, 2—фрагмент «мегарской» чаши; 3—наконечник стрелы; 4—стенка хума с графитом; 5—фрагменты лепных сосудов с налепами. 1—серебро, 2,4,5—керамика; 3—железо.

О.В.Двуреченский,
Москва, ИА РАН
И.А.Астахов, Тула

Глава 4.

РАСКОП 9

В 2023 г. на крепости Узундара был заложен раскоп 9, расположенный к западу от раскопа 5 на расстоянии 60 м, на визуальной наблюдаемой черте северной крепостной стены (СКС), ограниченный размерами 10 на 2 м. Раскоп ориентирован по сторонам света, где северный и южный борта раскопа имеют длину 2 м (Рис. 1).

Цель проведения работ: открытие и сопоставление участка СКС в северо-западном углу крепости с участком ранее открытым на Раскопе 5, где стена имеет трехчастный характер с двумя внутрисканскими коридорами.

Дневная поверхность участка была покрыта сухой травой и кустарниками полыни. Имеется небольшой уклон с запада на восток и возвышение в центральной части десятиметрового участка, характерное для фортификационного сооружения. Северным краем раскопа является обрыв в урочище Кара-Камар (Рис. 2).

После вскрытия дернового слоя мощностью от 0,05 до 0,08 м была проведена зачистка с выходом на большей части рабочего участка на первый слой — слой бурой супеси с большим содержанием гравия и крупных камней. В северной части раскопа, на расстоянии 0,4 м от северного борта



▲ Рис. 1. Расположение Раскопа 9 относительно Раскопов 5 и 8.

▲ Рис. 2. Раскоп 9. Дневная поверхность до начала работ.



◀ **Рис. 3.** Раскоп 9.
Северная часть запад-
ного борта.



◀ **Рис. 4.** Раскоп 9.
Южная часть запад-
ного борта.



◀ **Рис. 5.** Раскоп 9.
Вид с юга.



▲ **Рис. 6.** Раскоп 9.
Коридор 3 и остатки
СКС 3, вид с севера.

наблюдаются отсутствие бурого слоя и переход от дернового слоя сразу к слою серой супеси. Это связано с постепенным сползанием грунта по естественному уклону в урочище Кара-Камар. Рабочая поверхность была выровнена по северному и южному бортам. В результате выборки грунта в центре раскопа был обнаружен каменный завал, уходящий в западный и восточный борты (Рис. 3).

Находки представляют собой наконечник стрелы (железный, трехлопастной, черешковый), крупные и мелкие фрагменты керамики, профильные керамические части, фрагменты костей животных, мелкие куски свинца (Рис. 11–1).

Производились разбор каменного завала в центре раскопа и выборка грунта бурого слоя мощностью от 0,1–0,4 м в южной части раскопа и до 0,65 м в центральной части раскопа. Вдоль южного борта, уже на глубине 0,1 м, с понижением к северу и западу был обнаружен скальный материк. В результате разбора



◀ **Рис. 7.** Раскоп 9. Коридор 4 и остатки СКС 1 и 2, вид с севера.

▶ **Рис. 8.** Раскоп 9. Общий вид.

каменного завала были обнаружены кладки двух стен. Сохранившиеся остатки первой стены располагаются на расстоянии 2,1 м от южного борта, толщиной до 0,6 м, они пересекают раскоп с запада на восток и на расстоянии 1 м от западного борта упираются в естественное продолжение стены виде скального выхода. Сохранившиеся остатки второй стены располагаются на расстоянии 6 м от южного борта, толщиной 1,7 м, и пересекают раскоп с запада на восток. После выборки бурого слоя и перехода к серому слою были произведены зачистка, фотофиксация и съемка поверхности нивелиром (Рис. 4).

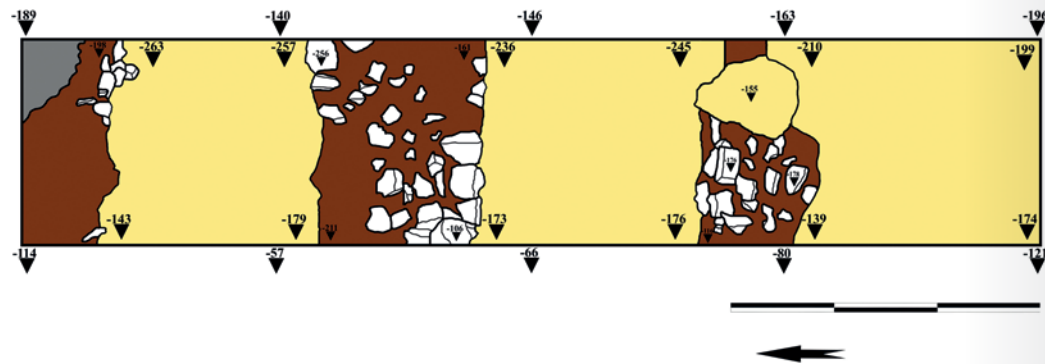
▶ **Рис. 9.** Раскоп 9 подтвердил характер тройных крепостных стен с внутренними коридорами на всем протяжении СКС.

В ходе дальнейшей работы производились выборка серого грунта вплоть до скального материка и постепенная зачистка остатков каменной кладки обеих стен. Особый интерес вызывает то, что в промежутках между остатками двух стен и между северным бортом и стеной было обнаружено значительное количество крупных и мелких фрагментов керамики, среди которых встречаются крупные фрагменты хумов с различными граффито (Рис. 11, 5, 6). После снятия серого слоя на всей поверхности раскопа выступил скальным материк. В последующем, при зачистке под фотофиксацию



в стратиграфическом разрезе северного борта выступил массивный каменный завал с признаками наличия каменной кладки, характеризуемый нами как остатки СКС 1, большая часть которой со временем обрушилась в урочище Кара-Камар. Основные находки представляют собой значительное количество фрагментов крупной тарной и мелкой столовой керамики, а также обилие костей животных.

В зависимости от уклона, мы имеем разную мощность грунта на данном участке: вдоль северного борта в северо-западном углу—0,29 м,



▲ Рис. 10. Раскоп 9. Общий план. Чертеж.

в северо-восточном углу — 0,74 м; вдоль южного борта в юго-восточном углу — 0,08 м, в юго-западном углу — 0,53 м; вдоль западного борта в северо-западном углу — 0,29 м, на расстоянии 2,5 м от северо-западного угла — 1,18 м, на расстоянии 5 м от северо-западного угла — 1 м, на расстоянии 2,5 м от юго-западного угла — 0,63 м, в юго-западном углу — 0,53 м; вдоль восточного борта в северо-восточном углу — 0,74 м, на расстоянии 2,5 м от северо-восточного угла — 0,43 м, на расстоянии 5 м от северо-восточного угла — 0,98 м, на расстоянии 2,5 м от юго-восточного угла — 0,53 м., в юго-восточном углу — 0,08 м (Рис. 5, 6, 7) (Двуреченская, 2024, с. 8–9, рис.3).

На данном участке в стратиграфии бортов мы наблюдаем такие слои как:

- дерновый слой мощностью от 0,05 до 0,08 м по всей поверхности участка;
- слой бурой супеси с большим содержанием гравия и крупных камней, мощностью от 0,1–0,4 м в южной части раскопа до 0,65 м в центральной части раскопа;
- слой серой супеси, насыщенный керамическим материалом, представленный в междустенном пространстве, мощностью от 0,3 до 0,65 м.

Можно констатировать, что по результатам работ на данном участке полностью подтверждается гипотеза о планировке восточной крепостной стены, а также ее трехчастный характер с двумя междустенными коридорами 3 и 4 (Рис. 8–11).

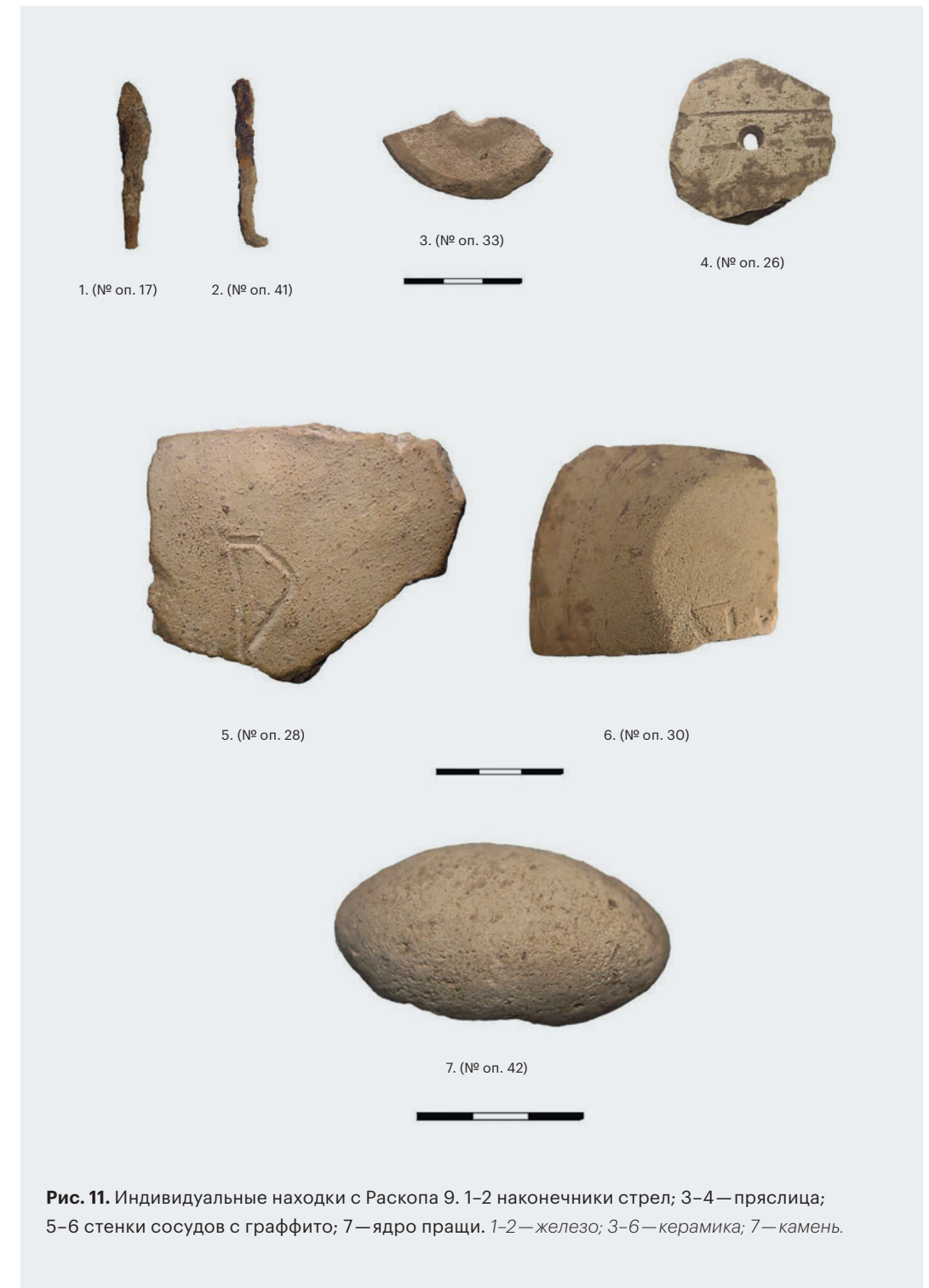


Рис. 11. Индивидуальные находки с Раскопа 9. 1–2 наконечники стрел; 3–4 — пряслица; 5–6 стенки сосудов с граффито; 7 — ядро пращи. 1–2 — железо; 3–6 — керамика; 7 — камень.

О.В. Бельш,
Москва, ИА РАН

Глава 5

ИССЛЕДОВАНИЯ «ВЕЛИКОЙ БАКТРИЙСКОЙ СТЕНЫ»

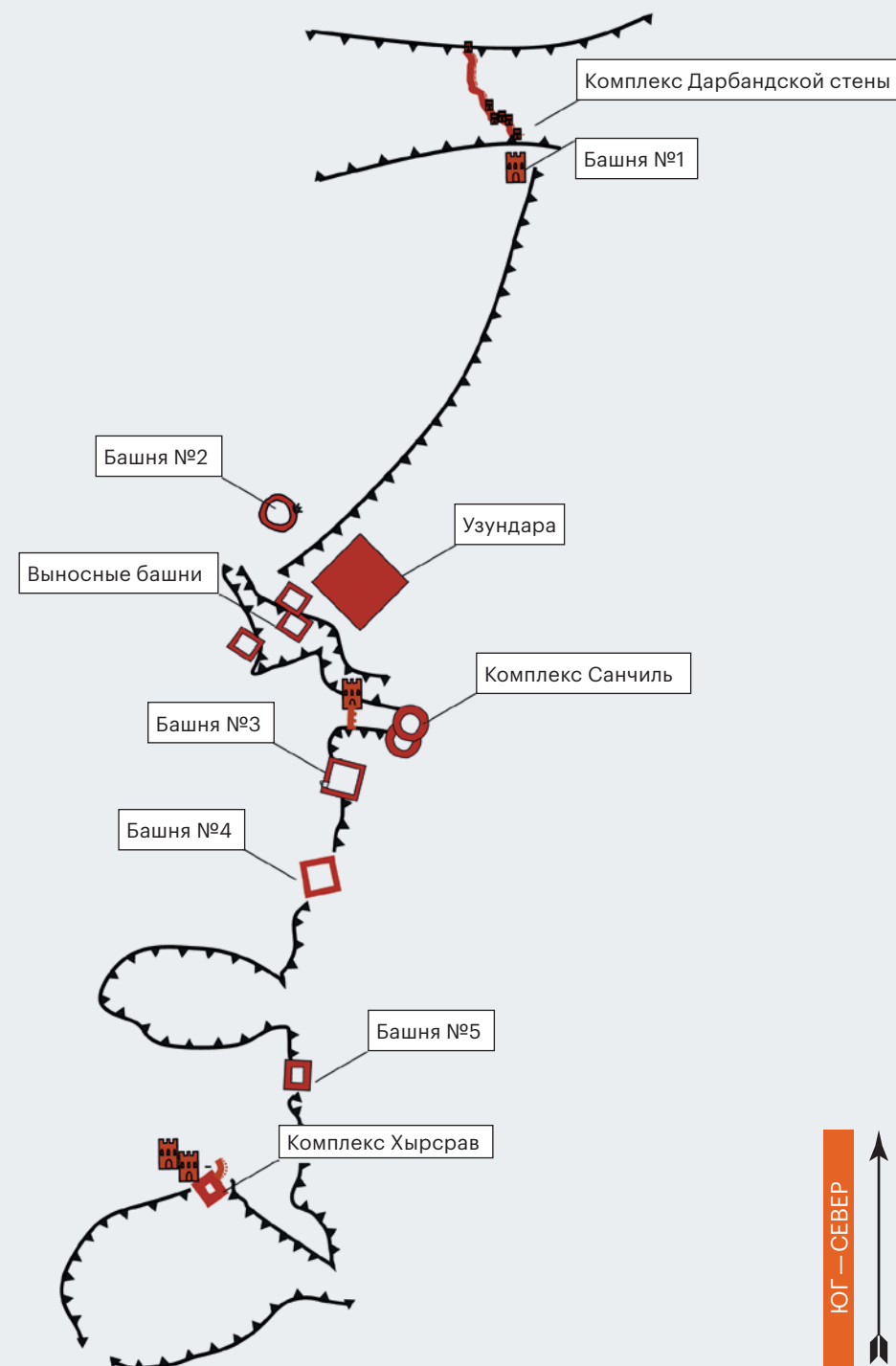
В сезоне 2023 года отдельной группой археологической разведки Бактрийского Отряда САЭ ИА РАН проводились разведки объектов: башня 4, башня 5 и башня комплекса Хырс-Рав (Рис. 1). Основными задачами сезона явилось исследование открытых ранее объектов, используя частичное вскрытие объектов (шурфовка).

Раскопки сезона 2023 года оказались достаточно результативными, удалось не только получить план башни, который позволит в будущем избежать организационных проблем при раскопках этого объекта, но также удалось датировать башню периодом III—II вв. до н.э.

Башня №4

Объект находится в 4 000 м от крепости Узундара (по азимуту 132° N38°06'43.6578» E66°57'09.0760». Сегодня башня представляет собой развал камней овальной формы размерами ок. 21 м в длину и 15 м в ширину, развал вытянут по генеральной линии запад—восток (Рис. 2–4).

Для выяснения конструктивных особенностей и датировок объекта был заложен шурф 1 (Рис.4).



▲ Рис.1. Схема фортификаций на горе Сувсизтаг.

► **Рис.2.** Башня 4.
Вид с севера.



► **Рис.3.** Башня 4.
Вид с юга.



► **Рис.4.** Башня 4.
Место заложения шурфа. Вид с юга.



◀ **Рис.5.** Башня 4.
Шурф 1. Угол Башни.
Вид с севера.



◀ **Рис.6.** Башня 4.
Шурф 1. Западный
фас башни.
Вид с запада.



Шурф 1 заложен в западной части завала и имеет размеры 6×3 м. Ориентирован длинной стороной по оси север-юг. В створ шурфа попал северо-западный угол Башни (Рис. 5).

В ходе работ удалось зафиксировать кладку западного и северного внешних фасов башни. Западный в максимально высоком месте составил ок. 1,6 м (7 рядов кладки в высоту) (Рис. 6). Северный фас башни сохранился хуже (кладка высотой ок. 0,8 м). Это объясняется более агрессивным уклоном скалы

Также частично зафиксировано внутреннее пространство башни: дно башни было вымазано тон-



◀ **Рис.7.** Башня 4.
Шурф 1. Северный
фас башни. Вид
с севера.



◀ **Рис.8.** Башня 4.
Шурф 1. Обмазка
пола башни.



◀ **Рис.9.** Башня 4.
Шурф 1. Внутреннее
пространство башни.



◀ **Рис.10.** Башня 4.
Шурф 1. Внутренний
фас западной стены.



◀ **Рис.11.** Башня 4.
Место заложения
шурфа 2. Вид с юга.



◀ **Рис.12.** Башня 4.
Шурф 2. Угол Башни.
Вид с юга.



▲ **Рис.13.** Башня 4. Шурф 2. Угол Башни 4.
Вид с востока.

ким слоем глиняного раствора (0,4–0,11 м.) (Рис. 8), при этом естественный рельеф скалы был сохранен (по крайней мере, на вскрытом нами участке). Западная стена башни стояла на естественной скальной ступени, а северная стена на специальной подсыпке (Рис.8, 9).

Также удалось зафиксировать остатки внутреннего фаса западной стены. Она сохранилась в два ряда в высоту ок. 0,35 м и длиной в 5 камней (ок. 1,20 м). Данная стена стоит на скале, промазанной глиняным раствором (Рис.10).

Для выяснения конструктивных особенностей и датировки объекта на Башне 4 был заложен шурф 2 (Рис.11).

Шурф 2 заложен в восточной части завала размером 3×3,5 м. Генеральной линией шурф 2 протянут по линии север-юг. В створ шурфа попал юго-восточный угол внешней стены Башни (Рис.12, 13).

В ходе работ удалось зафиксировать кладку максимальной высотой ок. 0,7 м (5 рядов кладки) (Рис. 12–14).

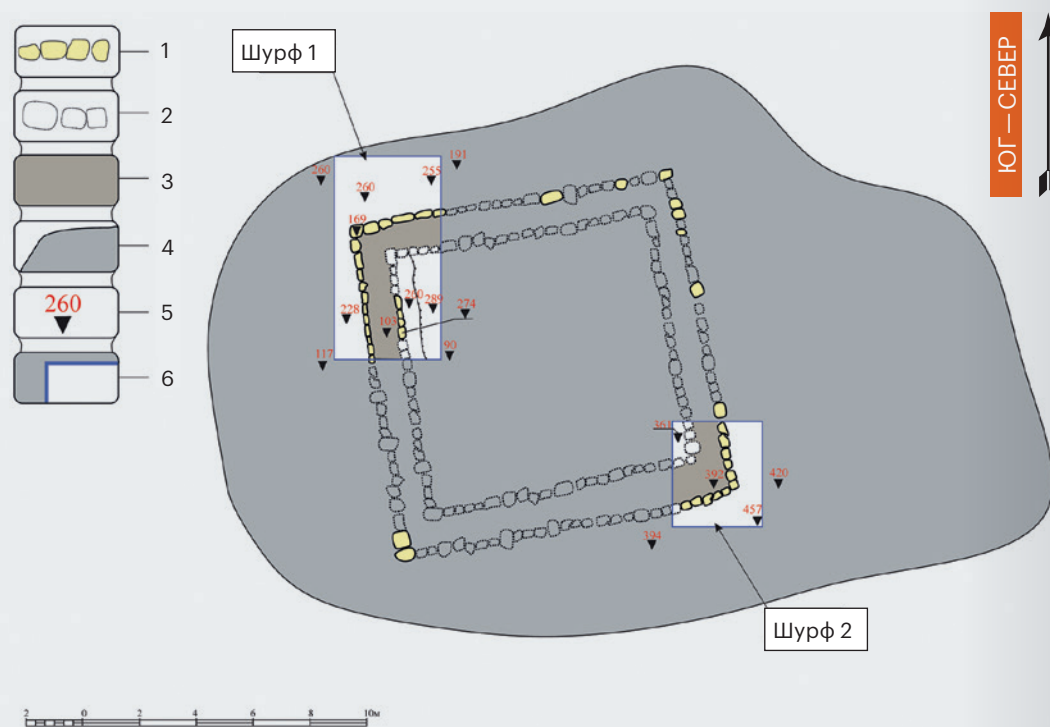


Рис. 14. Башня 4. План. Вид сверху. 1—зафиксированные кладочные камни; 2—предполагаемые кладочные камни; 3—забутовочное заполнение стен; 4—читаемые границы развала башни; 5—нивелировочные отметки; 6—граница раскопов.

В конце полевого сезона 2023 г раскоп шурфа 2 был законсервирован.

По итогу раскопок удалось выяснить, что башня в древности была близкой к квадрату формы со сторонами ок. 11 м по линии юго-запад—северо-восток на 12 м по линии северо-запад—юго-восток. Толщина стен составляла 1,3–1,4 м.

В шурфе 1 обнаружено 12 фрагментов керамики, среди которых два профильных фрагмента. По целому ряду морфологических признаков¹ 8 фрагментов относятся к сосуду, аналогичному кувшинам крепости Узундара, один фрагмент лепной толстостенной керамики с белесыми включениями в тесте (дресва?) и два профильных фрагмента керамических сосудов.

¹ Таких, как характерный изгиб тулова, толщина стенок в диапазоне 0,7–1,2 см, гончарное изготовление, часто близкая к ребристой или гофрированной внутренняя поверхность

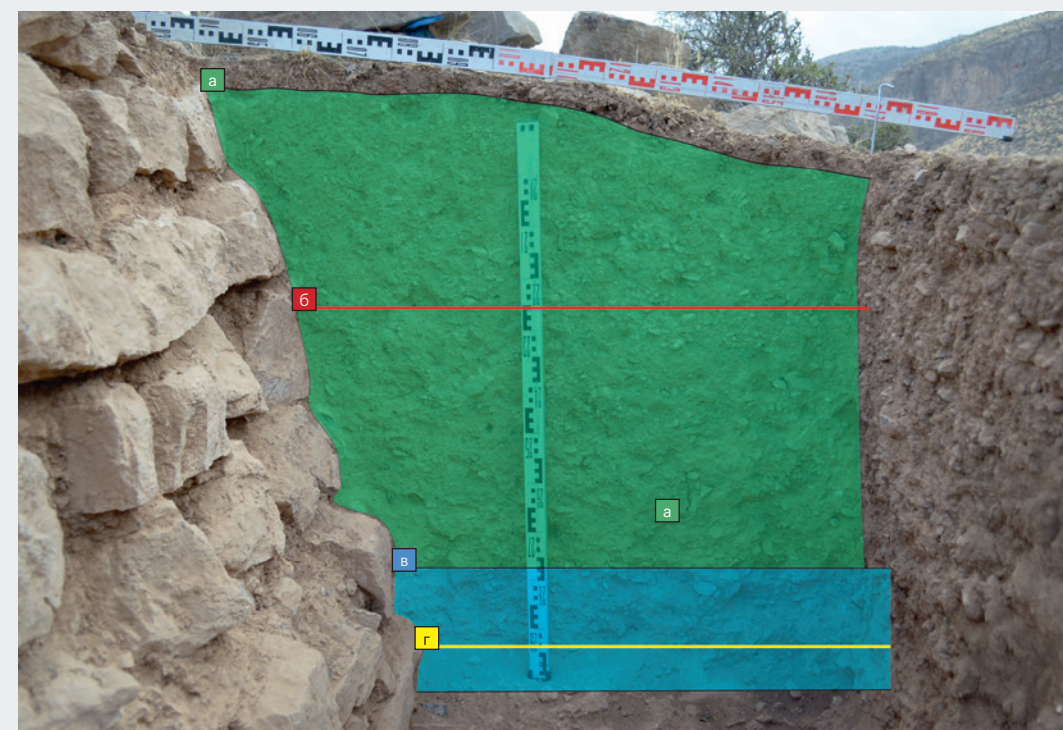


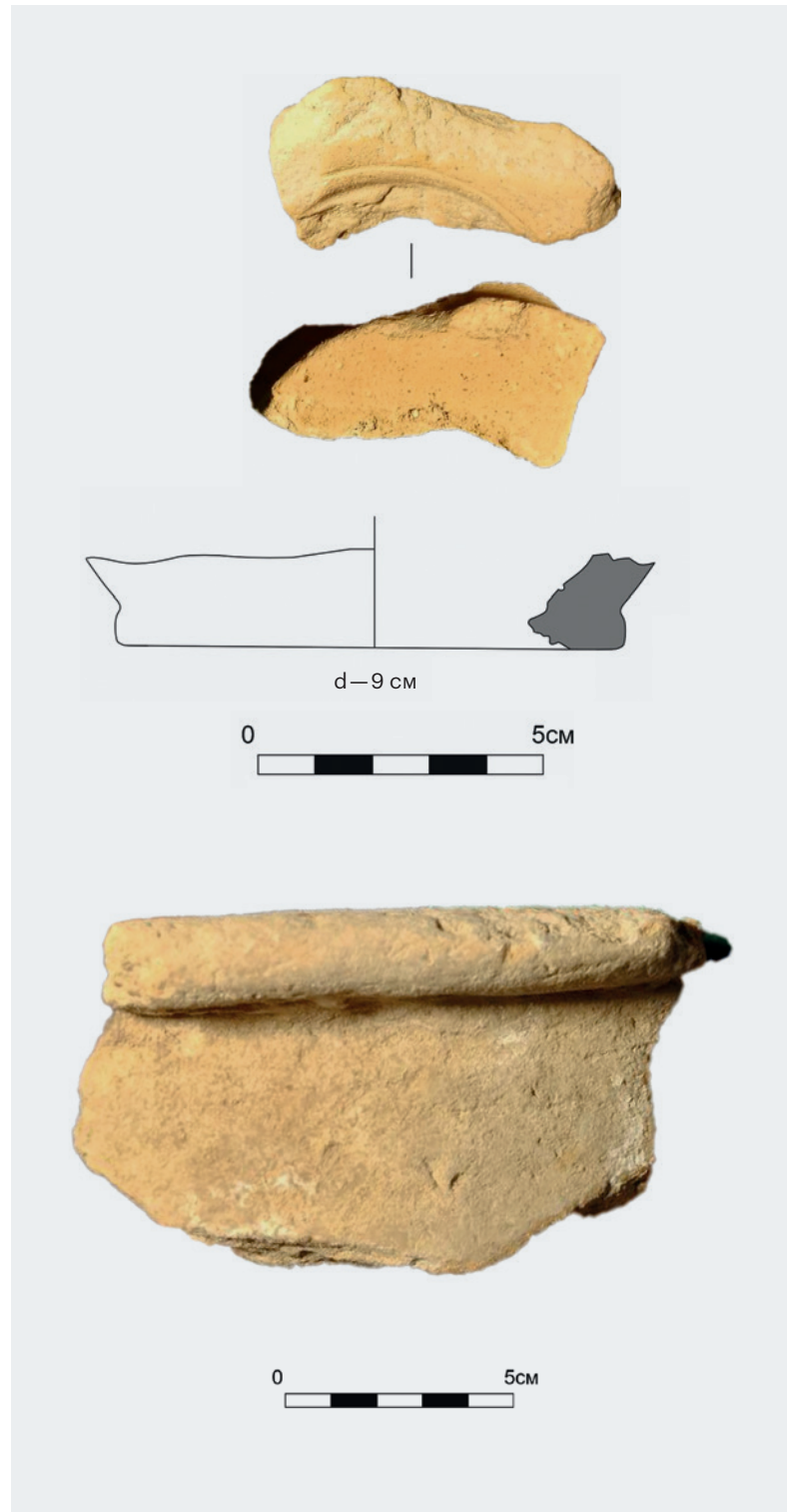
Рис. 15. Башня 4. Северный фас южного борта (с внешней стороны башни). Схема наиболее показательного напластования слоев.

а слой а б горизонт б
в слой в г горизонт г

Большая часть находок керамики (9 из 12) сконцентрирована в слое в (Рис. 15, в), который включает в себя уровень древней дневной поверхности и пласт затечного грунта мощностью 10–40 см (Рис. 15).

Уровень зафиксирован только на площади раскопа прилегающей к стенам башни с внешней стороны. В этом же слое в горизонте г (Рис. 15, г), практически с уровня пола происходит находка нижней части тарелки с декорированной валиком и соусницей (Рис. 16).

Находки, происходящие из слоя в, позволяют связать этот слой со временем существования крепости Узундара и датировать его III—II в. до н.э. Этот слой сформирован во время существования Башни 4 и, возможно, формировался некоторое время после ее запустения (Рис. 16).



◀ **Рис. 16.** Башня 4. Шурф 1. Фрагмент дна тарелки.

◀ **Рис. 17.** Башня 4. Шурф 1. Фрагмент керамики.



▲ **Рис. 18.** Башня 5. Вид с юга.

▲ **Рис. 19.** Башня 5. Разрушенная часть. Вид с востока.

Его перекрывает слой естественного затека, а в северной части шурфа 1, южной и западной стороне шурфа 2 этот слой перемежается прослойками завалов стен, его можно охарактеризовать как слой разрушения башни 4 (слой а, Рис. 15, а). Из верхней трети этого слоя (с горизонта б, Рис. 15, б) происходит находка венчика лепного сосуда (Рис. 17).

К сожалению, интерпретировать эту находку не представляется возможным, а сам слой разрушения можно датировать только крайне широкими датировками III в. до н.э. — XX в. н.э.

Башня №5

Объект находится в 6 400 м от крепости Узундара (по азимуту 179°) N38°05'24.4292» E66°56'50.1726». Сегодня башня представляет собой развал камней округлой формы диаметром ок. 13 м. Через центр завала пролегает тропа (ок. 2 м. в ширину), которая частично разрушает завал (Рис. 18, 19).

Для выяснения конструктивных особенностей и датировок объекта был заложен шурф 3. Он заложен в центральной части завала и имеет форму неправильного четырехугольника, южный край которой ограничен южной стенкой тропы (Рис. 20, 4).

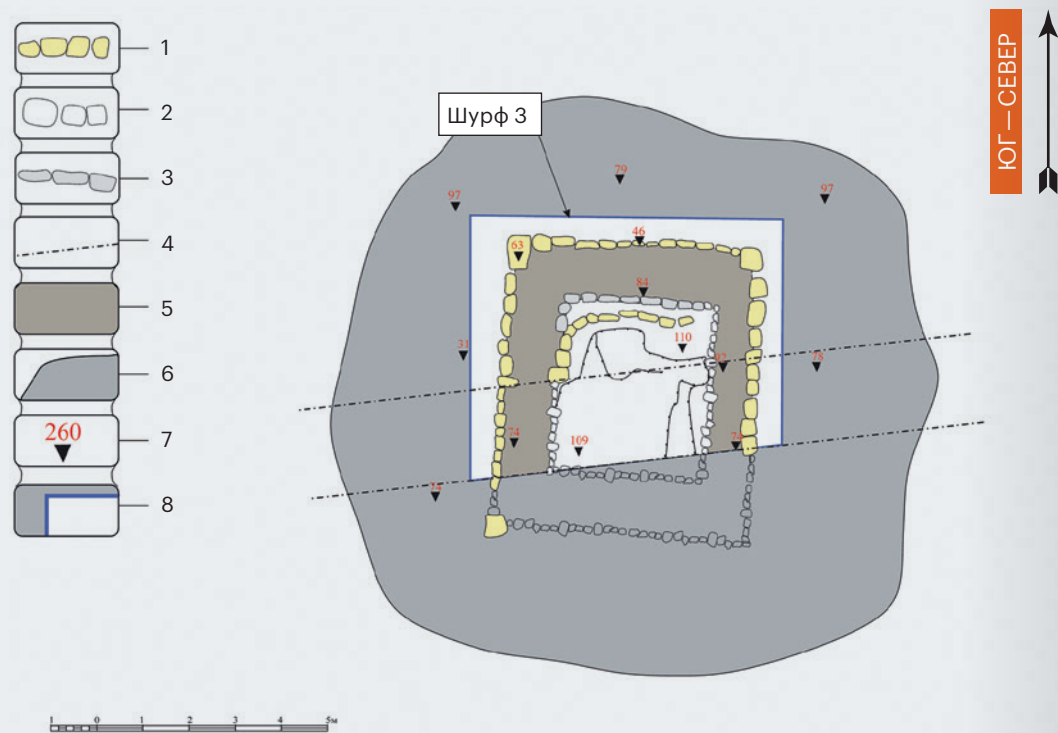


Рис. 20. Башня 5. План. Вид сверху. 1—закрепленные кладочные камни; 2—предполагаемые кладочные камни; 3—исходное место кладочных камней; 4—границы пастушьей тропы; 5—заполнение стен; 6—читаемые границы развала башни; 7—нивелировочные отметки; 8—граница раскопов.

Размеры: западный борт—5,8 м, северный борт—6,8 м, восточный борт—5 м, южный борт—6,8 м. В створ шурфа попала северная стена башни и частично западная и восточная стены. Кладка внешнего фаса западной стены в максимально высоком месте составила ок. 0,7 м (4 рядов кладки в высоту) (Рис. 21). Кладка внешнего фаса западной стены в максимально высоком месте составила ок. 0,7 м (4 ряда кладки в высоту) (Рис. 21).

Кладка внешнего фаса северной стены в максимально высоком месте составила ок. 0,7 м (4 ряда кладки в высоту) (Рис. 22).

Кладка внешнего фаса восточной стены в максимально высоком месте составила ок. 0,6 м (3 ряда кладки в высоту) (Рис. 23).

► **Рис.21.** Башня 5. Шурф 3. Западный фас башни. Вид с запада.



► **Рис.22.** Башня 5. Шурф 3. Северный фас башни. Вид с севера.



► **Рис.23.** Башня 5. Шурф 3. Восточный фас башни. Вид с востока.





▲ **Рис.24.** Башня 5. Шурф 3. Восточный фас башни. Вид с востока.

Кладка на всех внешних фасах сложена прямоугольным бутовым и нетесаным камнем, признаки регулярной укладки лицевых блоков отсутствуют.

▲ **Рис.25.** Башня 5. Шурф 3. Внутренний фас северной стены. Вид с юга.

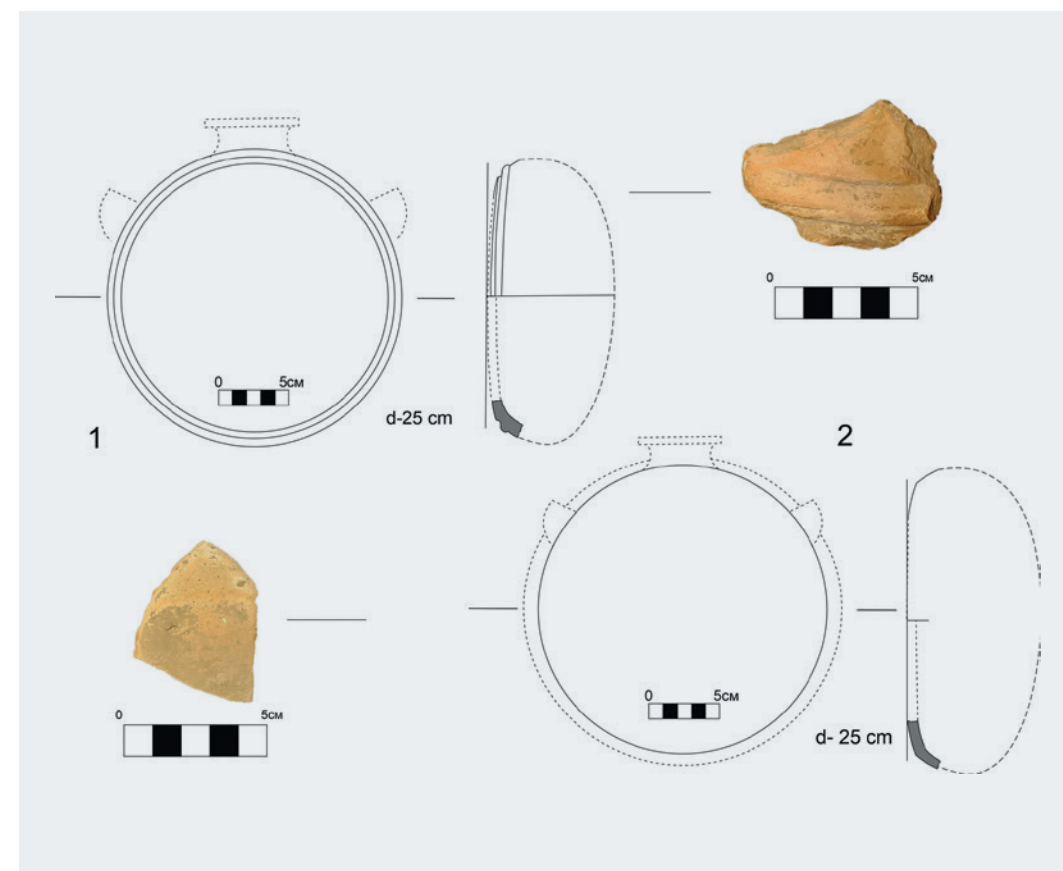
Стены башни стоят на скале, повторяя естественный рельеф скальника. Кладка выложена на небольшой прослойке кладочного раствора (Рис. 24).

Также частично зафиксировано внутреннее пространство башни: естественный рельеф скалы был сохранен. Удалось засвидетельствовать остатки внутреннего фаса северной стены, который сохранился в семь рядов в высоту (ок. 1 м) и длиной ок. 2,20 м. Стена стоит на скале, промазанной глиняным раствором (Рис. 25).

Внутренний фас северной стены сильно деформирован, стена «съехала» внутрь башни. Примерная толщина северной стены 1,2–1,4 м.

В шурфе 3 обнаружено 9 фрагментов керамики, среди которых 4 профильных фрагмента. По целому ряду морфологических признаков² пять фрагментов относятся к стенкам от кувшинов, подобных обнаруженным в крепости Узундара: три профильных фрагмента водоносных фляг и дно ангобированного сосуда. Большая часть находок керамики (7 из 9) сконцентрирована

² Таких, как характерный изгиб тулова, толщина стенок в диапазоне 0,7–1,2 см., гончарное изготовление, часто близкая к ребристой или гофрированной внутренняя поверхность



▲ **Рис. 26.** Башня 5. Шурф 3. Фрагменты фляг.

в слое уровня древней дневной поверхности и пласта придонного затечного грунта мощностью от 10–25 см, в том числе и три фрагмента водоносных фляг (Рис. 26).

Находки, происходящие из этого слоя, позволяют связать его со временем существования крепости Узундара и датировать III—II в. до н.э. Этот слой сформирован во время существования Башни 5 и, возможно, накапливался некоторое время после ее запустения. Его перекрывает слой естественного затека, который перемежается прослойками завалов стен, его можно охарактеризовать как слой разрушения Башни 5. Из верха этого слоя происходит находка дна гончарного ангобированного сосуда (Рис. 27).

К сожалению, интерпретировать эту находку не представляется возможным, а сам слой разрушения можно датировать только крайне широкими датировками III в. до н.э. — XX в. н.э.



◀ **Рис. 27.** Башня 5. Шурф 3. Фрагмент керамики.



◀ **Рис. 28.** Башня Хырс-Рав. Вид с северо-востока.



◀ **Рис. 29.** Башня Хырс-Рав. Вид с юго-запада.

Башня Хырс-рав

Объект находится в 8 086 м от крепости Узундара (по азимуту 188°) N38°04,32.6802» E66°55,58.5350». Сегодня, башня представляет собой аморфный развал камней, ссыпавшихся преимущественно в северо-западном направлении в сторону наиболее агрессивного уклона (Рис. 28, 29).

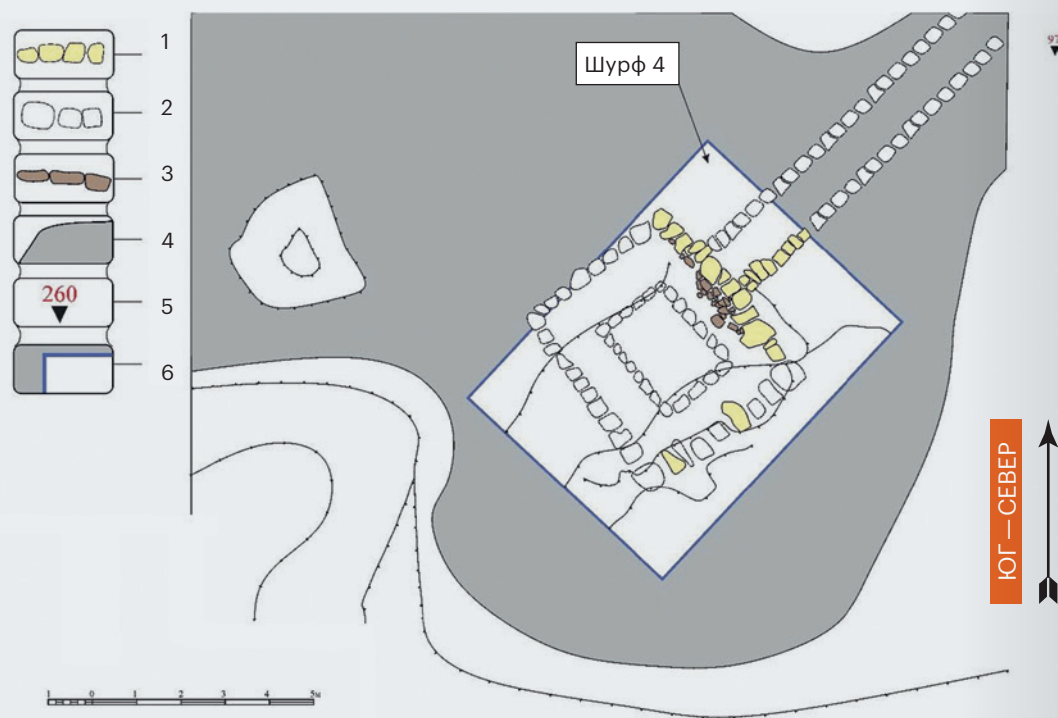


Рис. 30. Башня Хырс-Рав. План. Вид сверху. 1—зафиксированные кладочные камни; 2—предполагаемые кладочные камни; 3—заполнение стен; 4—читаемые границы развала башни; 5—нивелировочные отметки; 6—граница раскопов.

Для выяснения конструктивных особенностей и датировок объекта в центральной, восточной части завала был заложен шурф 4. Он имеет прямоугольную форму с размерами сторон 6×8 м, ориентирован по линии юго-запад—северо-восток (Рис. 30, 6).

В створ шурфа попала северо-восточная стена башни и частично восточный фас крепостной стены. Кладка внешнего фаса крепостной стены в максимально высоком месте составила ок. 0,37 м (1 ряд кладки в высоту) (Рис. 31). Кладка внешнего фаса северо-восточной стены в максимально высоком месте составила ок. 0,63 м (4 ряда кладки в высоту) (Рис. 31, 32).

Кладка на всех внешних фасах сложена прямоугольным бутовым и нетесаным камнем, признаки регулярной укладки лицевых блоков отсутствуют.



Рис. 31. Башня Хырс-Рав. Шурф 4. Восточный фас крепостной стены. Вид с востока.



Рис. 32. Башня Хырс-Рав. Шурф 4. Северо-восточный фас стены башни. Вид с северо-востока.

Стены башни установлены на естественном натечно-гравийном слое, который покрывает скалу, стены повторяют естественный рельеф скальника.

В шурфе 4 обнаружено 3 фрагмента керамики, среди которых 2 непрофильных фрагмента гончарной керамики и один фрагмент лепной керамики.

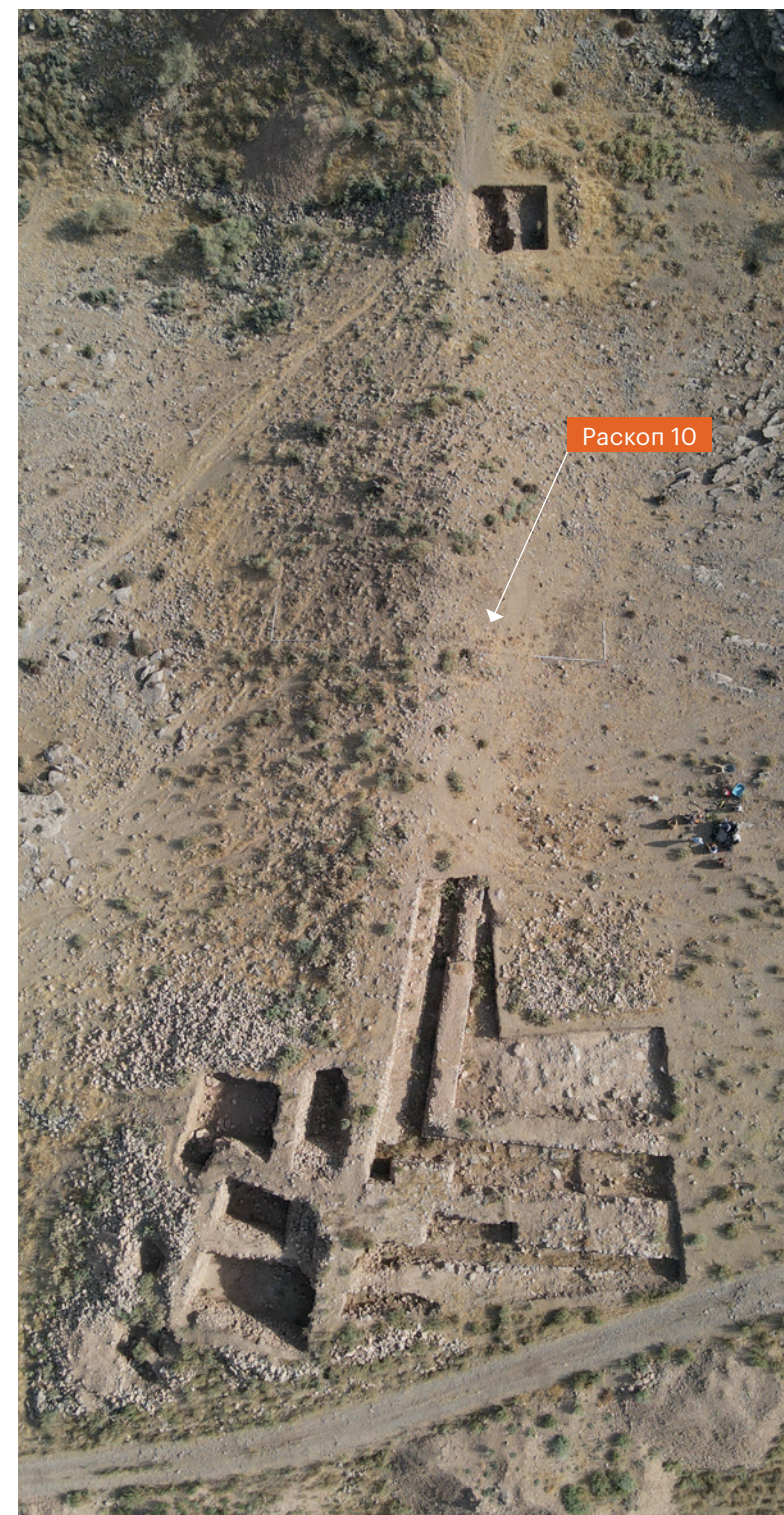
О.В. Двуреченский,
Москва, ИА РАН
И.А. Астахов, Тула
И.Н. Шодиев, Ташкент

Глава 6

РАСКОП 10

В 2024 г. начата работа на новом участке крепости Узундара — раскопе 10. Данный раскоп расположен на визуально наблюдаемом гребне восточной крепостной стены (ВКС), между раскопом 5 и раскопом 7, в 16 м южнее южного борта раскопа 5.

Раскоп представляет собой прямоугольник 6 × 24 м, ориентирован по сторонам света, где 24 м северный и южный борт. Гребень ВКС в рамках раскопа расположен посередине 24-метровой разметки и делит раскоп на две равные части. Для удобства работы данный раскоп был разделен на два участка: раскоп 10 участок 1 и раскоп 10 участок 2. Оба участка имеют размеры 6 × 12 м, делят раскоп пополам, границей между ними является гребень ВКС. Дневная поверхность раскопа покрыта большими и малыми камнями, кустами полыни и мелкой сухой травой. На участке 1 наблюдаются сильный уклон с востока на запад и небольшой уклон с севера на юг. Аналогичная ситуация наблюдается на участке 2, где имеются сильный уклон с запада на восток и небольшой уклон с севера на юг. Наивысшая точка раскопа — 12-метровая отметка по северному борту, что соответствует северо-восточному углу участка 1 и северо-западному углу участка 2. На границе между участками, по гребню ВКС, выступают профили крупных системных камней, представляющие собой верхнюю часть ВКС 2 (Рис. 1).



◀ **Рис. 1.** Расположение раскопа 10, относительно раскопов 5, 6 и раскопа 7.

► **Рис. 2.** Раскоп 10 участок 1 до начала работ.



► **Рис. 3.** Раскоп 10 участок 1 до начала работ.



Цели проведения работ на раскопе: выявление трехчастной ВКС с двумя междустенными коридорами, на участке 1 обследование пространства внутри «крепости» на предмет примыкающих к стене построек и пристенных казематов и помещений.

Участок 1 Пространство «город»

После очистки дневной поверхности от кустарников, сухой травы, лишних камней и снятия дернового слоя мощностью 0,05–0,1 м было принято решение о выравнивании всей площади участка относительно западного борта. Первоначальная площадь выравни-



▲ **Рис. 4.** Пространство «город», зачистка после выравнивания.



▲ **Рис. 5.** Пространство «город», зачистка выхода на скальник.

вания — 6 м от западного борта. В процессе выравнивания производилось постепенное углубление в грунт с востока на запад и нивелировка уклона с выходом на каменный завал по всей первоначальной площади выравнивания. На расстоянии 5,75 м от западного борта, возле южного борта, на глубине 0,12 м от дневной поверхности был обнаружен выход кладки внутреннего фаса ВКС 3. В ходе последующих работ кладка внутреннего фаса ВКС 3 была выявлена на всем протяжении участка. Она пересекает его с севера на юг: у северного борта 6,2 м от западного борта, у южного борта 5,77 м от западного борта (Рис. 4).



▲ **Рис. 6.** Пространство «город», итоговая зачистка.

Изначально работы на участке 1 были ограничены северным, западным, южным бортами и внутренним фасом ВКС 3 — пространство «город» (6,2–6 × 5,77–6 м), что обу-



◀ **Рис. 7.** Пространство «город», угол внутреннего фаса ВКС 3 и стены в южном борту.

▶ **Рис. 8.** Внутренний фас ВКС 3.



словлено методикой раскопок на данном памятнике. В целях консервации крепостных стен и крупных строительных объектов они не разбираются, а дерновый и грунтовый слой с них не убирается для поддержания их сохранности.

По окончании выравнивания площади на участке «город» осуществлялась выборка каменного завала, представляющего собой плотно спрессованные в суглинке крупные и мелкие камни, бут. Мощность залегания слоя каменного завала составляет 0,75–1 м вдоль северного борта, 1,2–1,4 м вдоль южного борта, 0,2–0,7 м вдоль западного борта. На большей части пространства «город» под каменным завалом прослеживается выход скальника (материк) (Рис. 5). В ходе разбора слоя каменного завала были обнаружены фрагменты керамики, кости животных. Также были обнаружены наконечник стрелы (трехгранный, черешковый, железный), монета арабская, медный гвоздь, каменный подпяточник (Рис. 32, 3, 1, 6, 10).

Вдоль выхода кладки ВКС 3, на глубине 1,2 м у угла южного борта и выхода кладки ВКС 3 и 0,9 м у угла северного борта и ВКС 3, был зафиксирован переход на бурый слой с небольшим количеством гравия и мелких камней. После зачистки на уровне выхода нового слоя было зафиксировано, что бурый слой распространяется вдоль ВКС 3 и продолжается на запад на 2,15 м у северного борта и 1,6 м у южного борта. После полной выборки слоя каменного завала по всей площади пространства «город» была осуществлена выборка бурого слоя, находки из которого представляют собой керамический комплекс, фрагменты костей животных, железную иглу, железный гвоздик, остатки древесного угля. Особый интерес представляет находка наконечника стрелы (бронзовый, трехгранный,

втульчатый) (Рис. 32, 4), который был обнаружен у самого основания ВКС 3 стены и типологически относится к скифо-сакским наконечникам стрел.

После выборки бурого слоя осуществлялась полная зачистка пространства «город», фотофиксация, фиксация раскопанного участка с помощью нивелира (Рис. 6).

В процессе зачистки пространства «город», после уборки технической насыпи для выезда тачки, в южном борту был обнаружен выход кладки стены протяженностью 2,81 м от кладки ВКС 3. Данная стена образует угол с ВКС 3 и под углом 95–100 градусов уходит в южный борт (Рис. 7).

Таким образом, на раскопе 10 участке 1 пространства «город» были зафиксированы две кладки стены, образующие угол — внутренний фас ВКС 3 и фас стены в южном борту (вероятно, стена башни). Внутренний фас ВКС 3 пересекает раскоп с севера на юг с небольшим отклонением от оси север-юг. У северного борта стена расположена на расстоянии 6,2 м от западного борта, у южного борта — 5,8 м от западного борта. Верхние камни стены обнаружены на глубине от 0,54 м на углу с северным бортом, до 0,05–0,1 м на углу с южным бортом (камни лежат практически на поверхности). Высота стены от 0,9 м на углу с северным бортом

► **Рис. 9.** Северный борт пространства «город».



► **Рис. 10.** Западный борт раскопа 10.



до 1,65 м на углу с южным бортом. Характер кладки вертикальный. Мощность ее от 3 до 6 камней, нижние ряды камней расположены более системно, верхние более хаотично. Между последним рядом кладки и скальником прослеживается бурый слой (подсыпка под фундамент для выравнивания) мощностью 0,05–0,15 м (Рис. 8).

На данном участке в стратиграфии бортов мы наблюдаем такие слои как:

- дерновой слой мощностью от 0,05 до 0,1 м по всей поверхности участка;

- слой каменного завала мощностью от 0,25 до 1,25 м в зависимости от мощности культурного слоя, где наименьшие значения прослеживаются в стратиграфии западного борта, а наибольшие значения прослеживаются в стратиграфии южного борта. В стратиграфии северного борта мощность слоя от 0,25 до 1 м;
- бурый слой мощностью до 0,4 м распространен преимущественно у ВКС 3, а также до 0,15 м на углу западного и южного борта. Слой является подсыпкой под стены, поэтому распространен неравномерно (Рис. 9, 10).

Коридор 2

После окончания работ на пространстве «город» Раскопа 10 участка 1, были начаты работы по вскрытию коридора 2. Ранее он уже был зафиксирован на Раскопе 5 и представлял собой междустенное пространство ВКС 2 и ВКС 3 (Двуреченская, 2024, с.8–9, рис.3). Так как характер ВКС на Раскопе 10 схож с ВКС на Раскопе 5, в нашей работе мы ориентировались на ранее вскрытые участки. Таким образом, нами была замерена примерная мощность ВКС 3 (1,25 м) и коридора 2 (3 м) на Раскопе 5. По этим замерам мы производили вскрытие грунта на Раскопе 10 участке 1 (Рис. 11).

После снятия дернового слоя мощностью 0,05–0,1 м началась выборка грунта, представляющего собой 1-й слой каменного завала с большим количеством крупных камней, гравия и бута. находки из этого слоя представляют собой фрагменты керамики, в том числе профильные части, фрагменты костей животных, медную монету Евтидема I, железный наконечник стрелы, железное кольцо-крепление (пробой) (Рис. 32, 2, 5, 7). На глубине 0,7 м на всем пространстве коридора 2 был зафиксирован переход на пепельный слой. Была произведена зачистка и продолжено углубление в грунт (Рис. 12).

В процессе выборки грунта, на глубине 1 м от дневной поверхности и на расстоянии 9,1 м от западного борта, была обнаружена кладка внутреннего фаса ВКС 2. В ходе последующей зачистки и углубления в восточный борт участка была вскрыта вся верхняя часть внутреннего фаса ВКС 2, верхние камни которого залегают на глубине 0,2–0,4 м от дневной поверхности. Фас стены пересекает раскоп с севера на юг, с небольшим отклонением от оси север-юг. Расположен вдоль северного борта на расстоянии 9,6 м от западного борта, вдоль южного борта — на расстоянии 10,15 м от западного борта. Стратиграфически можно проследить, что на смене слоя с каменного завала на пепельный слой также происходит изменение характера кладки внутреннего фаса 2 стены ВКС с вертикальной в верхней части фаса на лестничную в нижней. Это указывает

► **Рис. 11.** Процесс выборки грунта из коридора 2.



► **Рис. 12.** Коридор 2, зачистка после выхода на пепельный слой.



на более ранний период возведения нижней (лестничной) части стены, чем верхней (вертикальной) части, что полностью соответствует внутреннему фасу ВКС 2 на Раскопе 5 (Двуреченская, 2023, с.58–59, рис.13–15).

Позднее, на глубине 0,9 м от дневной поверхности, на углу северного и западного борта участка была обнаружена кладка внешнего фаса ВКС 3. В процессе последующей выборки грунта и зачистки был вскрыт фас ВКС 3 на всем протяжении коридора 2, что позво-



▲ **Рис. 13.** Коридор 2, зачистка после выхода на скальник.

лило производить дальнейшие раскопки с поправкой на оба вскрытых фаса. Находки из пепельного слоя представляют собой большое количество фрагментов крупной и мелкой керамической тары, профильные керамические части, фрагменты костей животных, два железных кольчужных кольца, три наконечника стрелы (железные, трехгранные, черешковые) (Рис. 32, 8, 9).

В ходе дальнейших работ в районе северного борта был зафиксирован 2-й слой каменного завала небольшой мощности (0,15–0,4 м) протяженностью примерно 1–1,5 м на юг от северного борта. Слой представляет собой крупные плотно слежавшиеся в суглинке камни. Находки в слое не представлены. Вслед за ним был зафиксирован переход на бурый слой. Наибольшая мощность данного слоя отмечена у северного борта (0,7–0,9 м) и идет на понижение, достигая наименьшей мощности у южного борта (0,2 м). У южного борта между пепельным слоем и бурым слоем зафиксирован слой мелкого, хорошо прослеживаемого древесного угля мощностью до 0,1 м.

Бурый слой представляет собой плотно слежавшийся суглинок с большим количеством гравия и мелкого бута. Характерно, что на всей площади коридора 2 данный слой выступает под кладкой ВКС 2, из чего можно предположить, что назначение слоя — подсыпка под фундамент стен ВКС. Находки



▲ **Рис. 14.** Коридор 2, северный борт.

▲ **Рис. 15.** Коридор 2, южный борт.

из слоя малочисленны и представляют собой несколько фрагментов крупной керамической тары. Под бурым слоем повсеместно проступает скальник (материк). После выхода на скальник по всей площади коридора 2 была произведена полная зачистка всего участка, фотофиксация и фиксация с помощью нивелира (Рис. 13).

Таким образом, коридор 2 раскопа 10 участка 1 имеет глубину от дневной поверхности: на углу северного борта и ВКС 3—2,47 м; по ВКС 3 через 3 метра—1,94 м; на углу южного борта и ВКС 3—1,72 м; на углу южного борта и ВКС 2—1,02 м; по ВКС 2 через 3 метра—0,85 м; на углу северного борта и ВКС 2—0,88 м. Ширина коридора 2 в верхней части: по северному борту—2,39 м; через 3 метра на юг—2,68 м; по южному борту—2,9 м. Ширина коридора 2 на уровне скальника (материка) по всей протяженности—0,80–0,88 м (Рис. 14, 15).

Верхние камни внешнего фаса ВКС 3 залегают на глубине 1,03–1,05 м от дневной поверхности, на всем протяжении ВКС 3. Мощность кладки 3–4 камня (приблизительно 0,65–0,85 м). Между нижними камнями кладки и скальником повсеместно прослеживается грунт бурого слоя (подсыпка под фундамент стены), мощностью 0,05–0,2 м. Нижние камни кладки, а также глина между ними имеют четкие следы горения (черные пятна на камнях, красная обожженная глина вокруг них). Следы горения прослеживаются на 0,1–0,3 м от скальника. Ширина ВКС 3 у северного борта—1,18 м, у южного борта—1,61 м (Рис. 16, 17).



▲ **Рис. 16.** Внешний фас ВКС 3.

Кладка внутреннего фаса ВКС 2 состоит из двух составных частей, отличных как по характеру строения, так и по времени возведения. Верхняя (поздняя) кладка внутреннего фаса ВКС 2 имеет вертикальный характер. Верхние камни залегают на глубине 0,43–0,25 м от дневной поверхности. Мощность кладки 2–3 камня (приблизительно 0,3–0,6 м). На глубине 0,87–1,04 м от дневной поверхности располагаются верхние камни нижней (ранней) кладки внутреннего фаса ВКС 2. Характер кладки лестничный. Мощность кладки 6–7 камней (приблизительно 0,9–1,1 м). Между нижними камнями и скальником грунт бурого слоя мощностью: по северному борту—0,7 м; через 3 метра на юг—0,45 м; по южному борту—0,25 м (Рис. 18).

На данном участке в стратиграфии северного борта прослеживаются такие слои как:

- дерновой слой мощностью от 0,05 до 0,1 м по всей поверхности участка;
- 1-й слой каменного завала мощностью от 0,75 до 0,9 м;
- пепельный слой мощностью от 0,25 до 0,55 м. Слой насыщен различным археологическим материалом;

► **Рис. 17.** Следы горения у основания внешнего фаса ВКС 3.



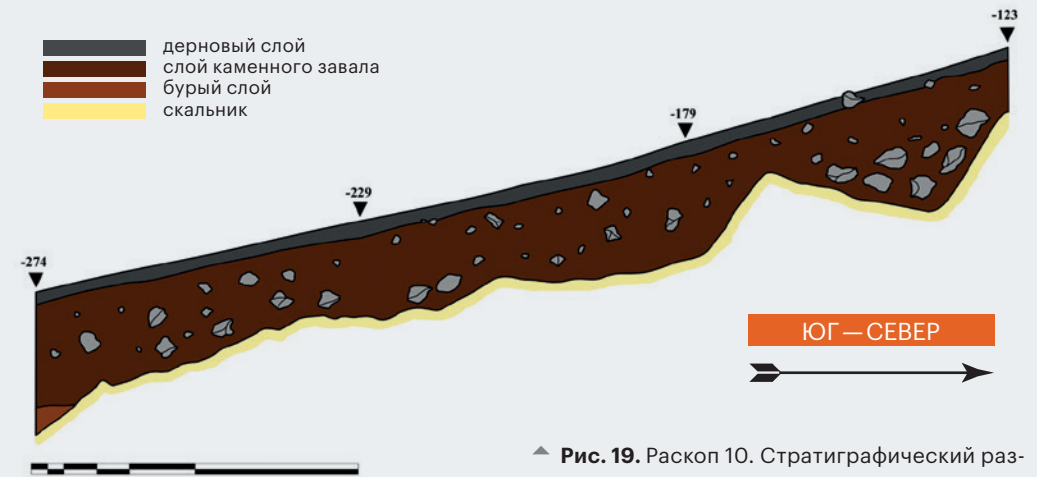
► **Рис. 18.** Внутренний фас ВКС 2.



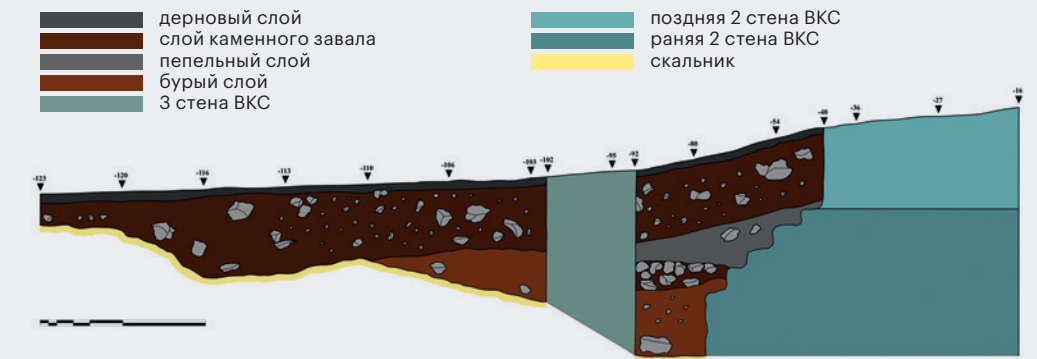
- 2-й слой каменного завала мощностью 0,15–0,4 м. Находок в слое не обнаружено;
- бурый слой мощностью 0,7 м. Слой является подсыпкой под стены, поэтому распространен неравномерно.

В стратиграфии южного борта нами прослеживаются такие слои как:

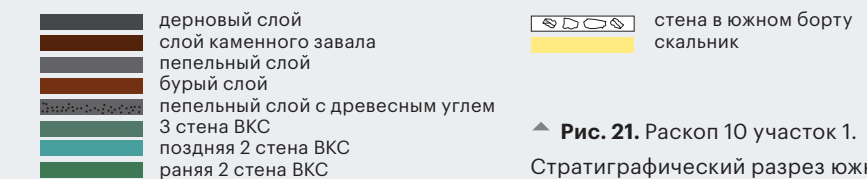
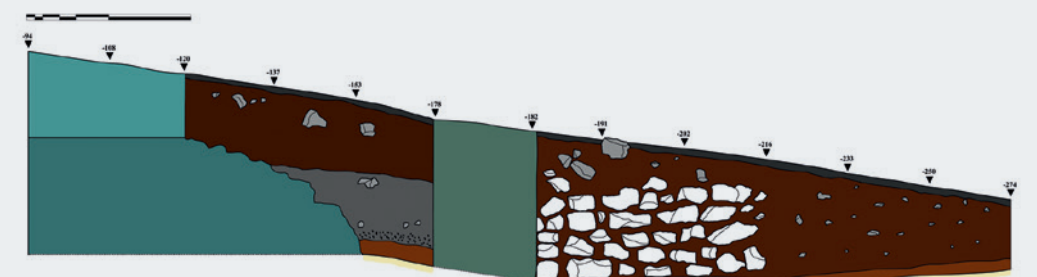
- дерновой слой мощностью от 0,05 до 0,1 м по всей поверхности участка;
- 1-й слой каменного завала мощностью от 0,75 до 0,9 м;



▲ **Рис. 19.** Раскоп 10. Стратиграфический разрез западного борта.



▲ **Рис. 20.** Раскоп 10 участок 1. Стратиграфический разрез северного борта.



▲ **Рис. 21.** Раскоп 10 участок 1. Стратиграфический разрез южного борта.

- пепельный слой мощностью 0,7 м. Слой насыщен различным археологическим материалом. В нижней части пепельного слоя его плотность увеличивается (около 0,3 м), цвет слоя более насыщенный, большое количество мелкого бута, вкрапления древесного угля. Слой с древесным углем не более 0,1 м между пепельным и бурым слоем;
- бурый слой мощностью 0,2 м. Слой является подсыпкой под стены, поэтому распространён неравномерно (Рис. 19, 20, 21).

Прирезка 1

В целях вскрытия всего фаса стены, обнаруженной на углу ВКС 3 и южного борта раскопа, а также определения общего характера данной постройки, было принято решение разбить прирезку к южному борту Раскопа 10 участка 1 размерами 6 на 4 м, где западный борт — 4 м, восточный борт — 4 м. Однако ввиду отсутствия времени на проведение данной работы первоначальные размеры прирезки 1 были сокращены до 2×4 м с вскрытием всего фаса обнаруженной в южном борту пространства «город» стены, вплоть до западного борта Раскопа 10 участка 1 (Рис. 22).

После снятия дернового слоя мощностью 0,05–0,1 м началась выборка грунта, представляющего собой каменный завал с большим количеством гравия и мелкого бута. Одновременно с этим производилась выборка грунта вдоль видимой части фаса стены в южном борту пространства «город».

В первую очередь было принято решение открыть весь фас стены вплоть до западного борта. Грунт и слои при выборке полностью соответствовали грунту и слоям с пространства «город». В результате был выявлен фас стены помещения (башни). Стена уходит в западный борт прирезки 1 на расстояние 0,84 м от юго-западного угла Раскопа 10 участка 1. Характер кладки — вертикальный. Мощность кладки 3–6 камней (0,5–1 м). В районе западного борта кладка упирается в большой каменный блок, являющийся логичным продолжением стены.

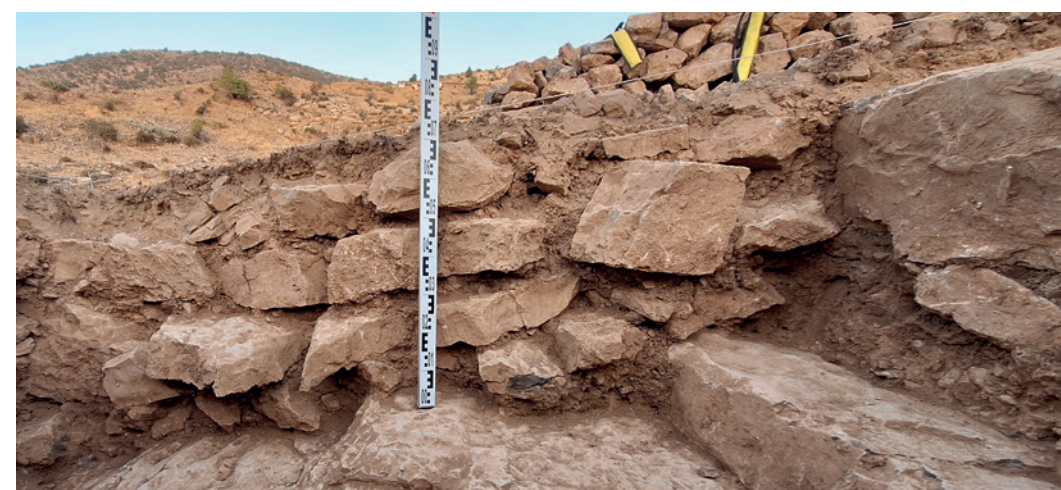
► Рис. 22. Прирезка 1 до начала работ.



► Рис. 23. Прирезка 1, внешний фас северной стены предполагаемой башни, вид с севера.



► Рис. 24. Прирезка 1, облицовочная кладка внешнего фаса западной стены предполагаемой башни. Вид изнутри, с востока.



Видимые размеры блока 0,95 на 0,65 м, высота 0,35 м. Со стороны фаса видно, что блок стоит на нескольких малых камнях и плотной глине (Рис. 23).

В ходе работ на остальной части прирезки, на расстоянии 1,38 м от западного борта, был обнаружен ряд блоков, уходящих в южный борт, длиной 1,59 м и образующих систему. При разборе грунта в западном борту также была обнаружена кладка камней: она проходит параллельно западному борту прирезки, на севере упирается в большой блок, описанный выше, на юге уходит в южный борт. Камни лежат системно, мощность кладки 3–6 камней (0,7 м), однако сами камни сильно выпирают из общей вертикальной плоскости (Рис. 24).

Таким образом, стена из южного борта раскопа 10 участка 1 пространства «город» и обнаруженная кладка камней в западном борту прирезки 1 образуют общий угол, которым является каменный блок, описанный нами выше.

После зачистки и фотофиксации в процессе последующих работ, опираясь на открытые фасаы стен, каменные блоки, а также грунт заполнения прирезки 1, стало ясно, что данный участок представляет собой угол стены башни, блоки — углы фасов стен башни, кладки — облицовки стен башни, грунт заполнения прирезки — не каменный завал, а забутовка стены башни. Таким образом, нами был вскрыт поворот массивных (толщина около 2 м) стен башни ВКС изнутри с сохранением всех фасов и угловых блоков. На данном участке мы наблюдаем «изнаночную» сторону облицовочного фаса стены башни, «изнаночную» сторону угловых камней стены башни, а также разрез забутовки стены башни.

Характерной особенностью данного участка является то, что в основании углов стен лежат массивные блоки, особенно это касается внешнего угла стены (блок 0,95×0,65×0,35 м). Блок внешнего угла стены лежит на нескольких камнях и плотной глине (между скальником и блоком 0,28 м). Блоки внутреннего угла стены башни лежат на кладке из 3–4 крупных камней (размеры камней 0,4–0,6 м, расстояние между блоками и скальником 0,72–0,86 м). Такие массивные блоки могут говорить об особом укреплении углов башни для ее дополнительной устойчивости. Данная особенность соотносится с кладочной системой на других участках крепости Узундара, например, с северо-восточным углом цитадели. Это указывает на устоявшуюся традицию строительства (Рис. 25, 26, 27).

Внутренние стороны облицовочной кладки лежат системно, но не имеют общей вертикальной плоскости. Это объясняется тем, что камни разных размеров для облицовки стены башни клали так, чтобы с видимой стороны они имели общую вертикальную плоскость. Из-за этого с внутренней стороны камни выпирают хаотично. Между облицовочными фасадами и скалой так же имеется слой плотной глины 0,15–0,1 м.



◀ Рис. 25. Прирезка 1, облицовочная кладка внутреннего фаса западной стены предполагаемой башни. Вид изнутри, с запада.



◀ Рис. 26. Прирезка 1, внутренний поворот стен предполагаемой башни. Вид изнутри, с запада.

Забутка стены представляет собой хаотично и плотно засыпанные мелкие камни, гравий, бут в плотно слежавшейся глине. Какая-либо система в забутовке стены не наблюдается (Рис. 28, 29, 30).

После окончания работ на прирезке 1 вскрытый участок был засыпан мелким камнем, бутом и грунтом в целях консервации.

Таким образом, можно заключить, что из поставленных в начале работ целей не все были достигнуты. В пер-

► **Рис. 27.** Блоки в основании северо-восточного угла цитадели. Вид с севера.



► **Рис. 28.** Прирезка 1, забутовка западной стены предполагаемой башни. Вид изнутри, с севера.



► **Рис. 29.** Прирезка 1, пространство внутри стены. Вид с севера.



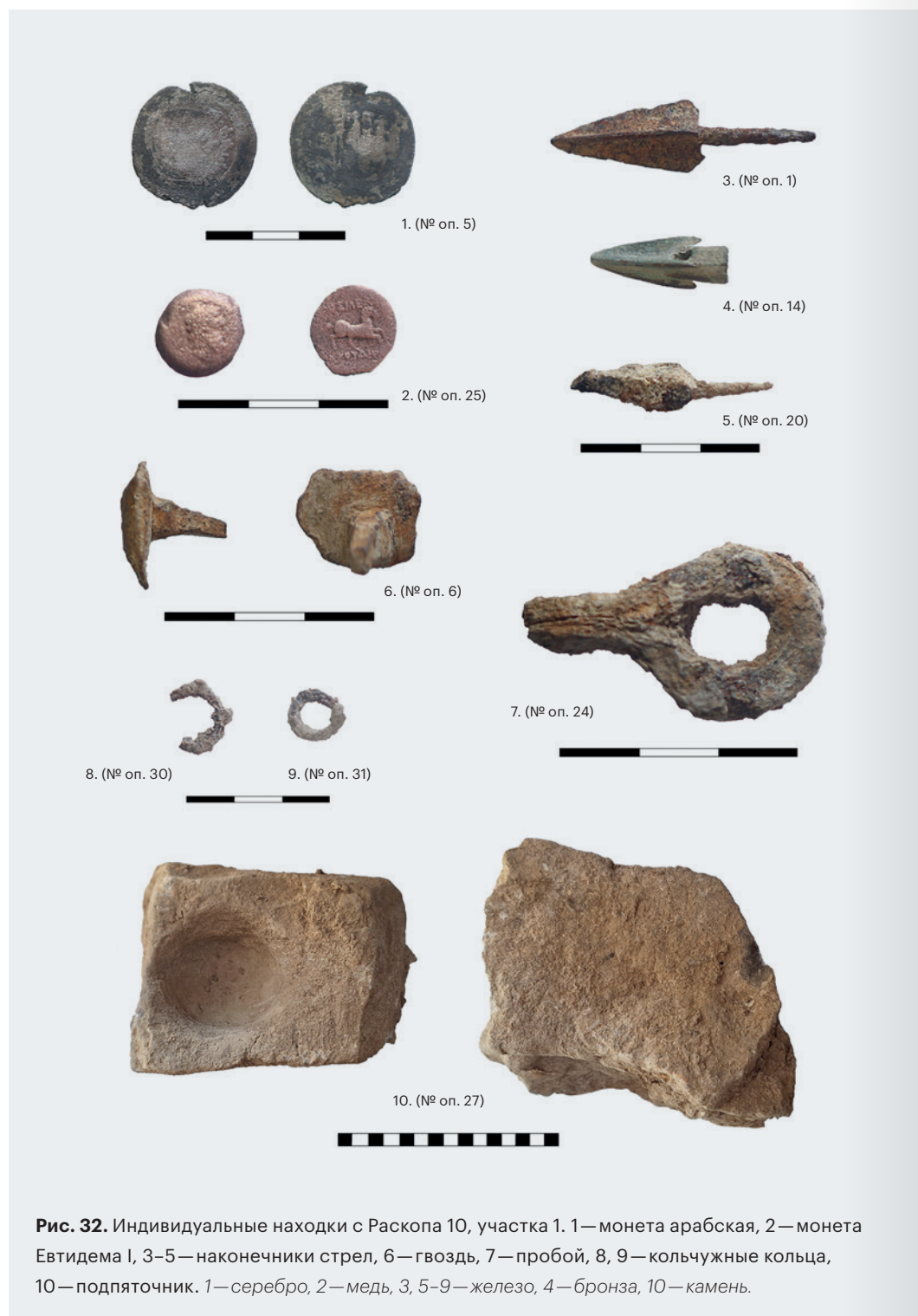
► **Рис. 30.** Прирезка 1, общий вид после итоговой зачистки.



► **Рис. 31.** Раскоп 10 участок 1, общий итоговый вид.



вую очередь можно отметить, что на пространстве «город» не было обнаружено помещений и пристенных казематов, однако был обнаружен фас стены, которую предварительно стоит соотносить со стеной башни. Были открыты фасы 3 и 2 стен ВКС, а также коридор 2, которые полностью соответствуют и повторяют стены на Раскопе 5. Также можно констатировать, что на небольшом участке прирезки 1 был впервые произведен разрез восточной крепостной стены (Рис. 31, 32).



Участок 2. ВКС 0 и коридор 0

Работы на Раскопе 10 участке 2 велись одновременно по методике, применяемой в ходе работ на участке 1. После очистки дневной поверхности от кустарников, сухой травы, лишних камней и снятия дернового слоя мощностью 0,05–0,1 м было принято решение о выравнивании всей площади участка относительно восточного борта. Первоначальная площадь выравнивания—6 м от восточного борта. В процессе выравнивания производились постепенное углубление в грунт с запада на восток и нивелировка уклона с выходом на первый слой—слой каменного завала по всей первоначальной площади выравнивания. На расстоянии 4,25 м от восточного борта, возле северного борта, на глубине 0,12 м от дневной поверхности была обнаружена каменная кладка. При последующей зачистке кладка



◀ **Рис. 34.**
Раскоп 10 участок
2 до начала работ.



◀ **Рис. 35.** Раскоп 10
участок 2 после
выхода на внешний
фас ВКС 1.

идентифицирована как внешний фас ВКС 1 и выявлена на всем протяжении участка, с небольшим отклонением от оси север-юг: у южного борта—5 м от восточного борта; у северного борта—4,25 м от восточного борта. По результатам обнаружения внешнего фаса ВКС 1 первоначальная площадь выравнивания была скорректирована на основании данного фаса и представляет собой площадь $4,25 \times 6 \times 4,75 \times 6$ м (Рис. 35, 36).

В ходе дальнейшего выравнивания рабочего участка и углубления в слой каменного завала, у северного борта на расстояние 2,55 м от восточного борта, на глубине 0,4 м от дневной поверхности обнаружена еще



◀ **Рис. 36.**
Раскоп 10 участок
2 после выхода
на внешний фас
ВКС 1, вид с востока.

одна кладка стены, не наблюдаемая на других, ранее исследованных раскопах. В ходе последующей зачистки и углубления в грунт данная кладка была выявлена на протяжении всего рабочего участка с понижением в грунт и так же, как ВКС 1, пересекает его с небольшим отклонением от оси север—юг. У южного борта кладка прослеживается на расстоянии 2,85 м на глубине 1,1 м от дневной поверхности (Рис. 37, 38). В дальнейшем на расстоянии 3,3 м от восточного борта на глубине 0,98 м от дневной поверхности была обнаружена и противоположная кладка, также пересекающая рабочий участок с севера на юг. Таким образом, мы имеем стену, пересекающую Раскоп 10 участок 2 с севера

► **Рис. 37.** Раскоп 10 участка 2 после выхода на внешний фас ВКС 0.



► **Рис. 38.** Раскоп 10 участка 2 после выхода на внешний фас ВКС 0, вид с востока.



► **Рис. 39.** Раскоп 10, рабочий момент.



▲ **Рис. 40.** Внешний фас ВКС 0.

на юг толщиной 1,45 м у южного борта и 1,7 м у северного борта, для удобства названную ВКС 0. Обнаруженные кладки стен представляют внешним и внутренним фасадами ВКС 0 соответственно (Рис. 39).

Северная часть внешнего фаса ВКС 0 представляет собой каменную кладку высотой 1,4 м у северного борта, 1,35 м через 3 м от северного борта. Характер кладки вертикальный. Высота сохранившейся кладки 4–6 камней. В ней прослеживаются как крупные камни размерами до 0,5 м, образующие ряды, так и мелкие камни, проложенные между рядами крупных камней (Рис. 40).

У внешнего фаса ВКС 0 была обнаружена интересная особенность: на расстоянии 3 м от северного борта и 0,55 м от дневной поверхности был зафиксирован каменный завал, который при последующем разборе и зачистке был идентифицирован как контрфорс (подпорка) для ВКС 0. Он имеет размеры 0,85 × 0,75 × 0,9 м. После выхода на уровень скальника (материка) на данном участке стало видно, что контрфорс плотно, но без перевязки прилегает к внешнему фаса ВКС 0. Фортификационный элемент стоит на скальнике в таком месте, где происходит резкий перепад материковой поверхности (падение скалы к югу), в связи с чем и была необходимость в подпорке стены (Рис. 41, 42).

Характерно то, что кладка внешнего фаса ВКС 0 у южного борта сильно понижена и прослеживается на глубине 1,1 м от дневной поверхности, высота кладки не более 0,45 м. Характер ее вертикальный, мощность — не более



◀ **Рис. 41.** Контрфорс ВКС О, вид с востока.

◀ **Рис. 42.** Контрфорс ВКС О, вид с юга.

◀ **Рис. 43.** Южная часть внешнего фасада ВКС О.

◀ **Рис. 45.** Северный борт между восточным бортом и ВКС О.

◀ **Рис. 44.** Раскоп 10, восточный борт.

2 камней. Изначально была предложена версия, что данная часть внешнего фасада ВКС О обрушилась в древности из-за неровности материковой поверхности, для чего и была сооружена контрфорс-подпорка ВКС О. Однако то, что данное понижение прослеживается сразу за подпоркой, а над камнями кладки отчетливо виден переход от слоя каменного завала к пепельному слою и далее к бурому (то есть имеется обжитой культурный слой, чего мы не наблюдаем в стратиграфии восточного и северного бортов на этом участке), может указывать на использование данной части стены как прохода. Разбор данного участка стены не производился, поэтому подтвердить нашу гипотезу на данном этапе не представляется возможным. Для предотвращения разрушения и размывания данного участка ВКС О сверху были проложены камни (Рис. 43).

В ходе разбора пространства между восточным бортом и ВКС О были обнаружены фрагменты крупной и мелкой керамики, профильные керамические части, кости животных, железный наконечник стрелы (трехлопастной, черешковый с жальцами) (Рис. 73, 4). Особенно большое количество керамического материала и костей животных было обнаружено в районе южного борта, где также были найдены серповидный нож, наконечник стрелы (трехлопастной, черешковый, железный) (Рис. 73, 7, 9).

На пространстве между восточным бортом и внешним фасом ВКС О в стратиграфии бортов мы имеем разный характер культурного слоя. Общим является дерновой слой мощностью от 0,05 до 0,1 м по всей поверхности участка. В северном и восточном бортах прослеживаются такие слои, как:

- слой каменного завала с большим количеством плотно спрессованных в суглинке крупных камней, гравия и бута. Данный слой имеет мощность 1,4 м в северном борте и до 1,15 м в восточном борте;
- бурый слой, мощность до 0,05 м (Рис. 44, 45).

► **Рис. 46.**
Южный борт между
восточным бортом
и ВКС 0.



Стратиграфия южного борта, как мы уже отмечали ранее, является более сложной. В ней прослеживаются такие слои, как:

- слой каменного завала с большим количеством плотно спрессованных в суглинке крупных камней, гравия и бута, мощностью 0,55 м;
- пепельный слой мощностью до 0,5 м и идет на уменьшение к востоку;
- бурый слой с щебнем, мощностью не более 0,3 м и идет на уменьшение к востоку;
- бурый слой, мощность не более 0,05 м (Рис. 46).

Внутренний фас ВКС 0 и внешний фас ВКС 1 образуют между собой коридор, аналогичный коридорам 1 и 2, которому было дано обозначение коридор 0. После полной выборки грунта с пространства между восточным бортом и ВКС 0 была продолжена выборка грунта из коридора 0. На момент обнаружения внутреннего фаса ВКС 0, внешний фас ВКС 1 был вскрыт на глубину 1,1 м от дневной поверхности.

Ранее, при выборке грунта, был зафиксирован слой каменного завала с большим количеством плотно спрессованных в суглинке крупных камней, гравия



▲ **Рис. 47.** Раскоп 10 участок 2 после вскрытия коридора 0.



▲ **Рис. 48.** Раскоп 10 участок 2 после вскрытия коридора 0, вид с востока.

и бута мощностью 0,75 м. На углу северного борта и внешнего фаса ВКС 1, на глубине 0,85 м от дневной поверхности был зафиксирован переход на новый слой—1-й пепельный слой, представляющий собой серую супесь с включением гравия и бута. Слой имеет мощность 0,3 м, пересекает коридор 0 горизонтально, с уменьшением слоя к востоку, и совсем пропадает над ВКС 0. В слое были обнаружены фрагменты крупной тары и столовой посуды, в том числе профильные части, кости животных, монета Евтидема I, железный наконечник стрелы (трехлопастной, черешковый) (Рис. 73, 1, 5).

Следующим после 1-го пепельного слоя на глубине 0,93 м от дневной поверхности был зафиксирован светло-коричневый слой, прослеживающийся при углублении в грунт. Слой обильно насыщен керамическим материалом, имеет мощность 0,6 м, пересекает ВКС 0 горизонтально. В слое были обнаружены фрагменты керамики, кости животных, фрагмент керамической тарелки с пальметтой (Рис. 73, 8). Далее, в ходе выборки грунта из коридора 0 на глубине 1,75 м был зафиксирован переход на 2-й пепельный слой, мощностью не более 0,3 м. Слой пересекает коридор горизонтально, представляет собой золистую супесь без каких-либо включений. Он был также насыщен керамическим материалом и костями животных. Над скальником (материком) прослеживается бурый слой надскальника, мощностью не более 0,05 м.

После выхода на скалу по всей площади коридора 0 была произведена полная зачистка материка и фасов стен. Производилась фотофиксация

► **Рис. 49.** Внутренний фас ВКС 0. С севера на юг, 1.



► **Рис. 50.** Внутренний фас ВКС 0. С севера на юг, 2.



► **Рис. 51.** Внутренний фас ВКС 0. С севера на юг, 3.



► **Рис. 52.** Внутренний фас ВКС 0. С севера на юг, 4.



► **Рис. 53.** Внутренний фас ВКС 0. С севера на юг, 5.



и снятие всего участка от ВКС 1 до восточной бровки с помощью нивелира (Рис. 47, 48).

С востока коридор 0 ограничен внутренним фасом ВКС 0, с запада внешним фасом ВКС 1. Расстояние между фасадами стен у северного борта— 0,6 м, у южного борта— 0,34 м. Расстояние между дневной поверхностью и материком: на углу северного борта и ВКС 1—2,1 м; на углу северного борта и ВКС 0—1,92 м; на углу южного борта и ВКС 0—2,04 м; на углу южного борта и ВКС 1—2,45 м.

Внутренний фас ВКС 0 представляет собой вертикальную каменную кладку, мощностью от 0,6 до 0,8 м

(4–5 камней). Размеры камней не более 0,2 м. Между камнями большие зазоры, обильно проложенные глиняным раствором. Визуально кладка внешнего фаса отличается большей системностью — камни больше по размеру и правильно уложены в отличие от кладки внутреннего фаса (Рис. 49–53).

Внешний фас ВКС 1 представляет собой каменную кладку мощностью 2,1 м у северного борта и 2,45 м у южного борта. У южного борта она наклонена к западу, что может быть связано со сползанием этой части кладки фаса. Характер ее системный, наблюдается рядность камней, однако камни уложены неаккуратно, не всегда держат общую плоскость, между камнями большие зазоры, обильно проложенные глиняным раствором. Такая небрежность в кладке могла появиться из-за сползания и проседания этой части фаса стены. Особенно это заметно у северной части фаса, где большие и малые камни явно выпали из стены в результате обрушения (Рис. 54).

На данном участке в стратиграфии бортов мы наблюдаем такие слои как:

- дерновой слой мощностью от 0,05 до 0,1 м по всей поверхности участка;
- слой каменного завала с большим количеством плотно спрессованных в суглинке крупных камней, гравия и бута мощностью 0,75 м у северного борта и 0,65 м у южного борта;
- 1-й пепельный слой, мощностью 0,3 м;
- светло-коричневый слой, мощностью 0,6 м;
- 2-й пепельный слой, мощностью не более 0,3 м;
- бурый слой надскальника не более 0,1 м (Рис. 55, 56).

► Рис. 54. Внешний фас ВКС 1.



► Рис. 55. Коридор 0, северный борт.



► Рис. 56. Коридор 0, южный борт.



► **Рис. 57.** Раскоп 10 участок 2 после выхода внутреннего фаса ВКС 1.



► **Рис. 58.** Коридор 1 после выхода внутреннего фаса ВКС 1.



Коридор 1

После окончания разбора коридора 0 раскопа 10 участка 2 была начата работа по вскрытию коридора 1, ранее зафиксированного на стыке раскопов 5 и 6. Здесь применялась такая же методика, как при разборе коридора 2, с примерным определением фасов стен на дневной поверхности относительно раскопов 5 и 6. Исходя из этих данных, мы получили примерную ширину ВКС 1 и коридора 1–1,6 м и 3,2 м соответственно. Далее работа по вскрытию производилась исходя из этих вводных.

После снятия дернового слоя мощностью 0,05–0,1 м началась выборка слоя каменного завала с большим

► **Рис. 59.** Раскоп 10 участок 2 после окончания работ.



► **Рис. 60.** Коридор 1 после окончания работ.



количеством крупных камней, гравия и бута. Слой имеет мощность от 2 м у южного борта до 1,6 м у северного борта. В нем были обнаружены керамический комплекс, кости животных, а также две монеты — Антимаха I (Рис. 73, 2, 3).

На глубине 0,53 м от дневной поверхности в юго-восточном углу коридора 1 была обнаружена кладка внутреннего фаса ВКС 1. При последующем углублении и зачистке были вскрыты верхние камни кладки внутреннего фаса ВКС 1 на всем протяжении коридора 1. У северного борта верхние камни кладки внутреннего фаса ВКС 1 были вскрыты на глубине 1,43 м (Рис. 57, 58).



▲ **Рис. 61.** Хум у внутреннего фаса ВКС 1 после зачистки.

▲ **Рис. 62.** Хум у внутреннего фаса ВКС 1 после зачистки. Вид с юга.

▲ **Рис. 63.** Хум у внутреннего фаса ВКС 1 после зачистки. Вид с запада.

▲ **Рис. 64.** Хумы у внутреннего фаса ВКС 1 после зачистки и выборки грунта коридора 1 до скалы.

На глубине 1,97 м у южного борта коридора 1 и 1,6 м у северного борта был зафиксирован переход от слоя каменного завала к светло-коричневому слою. Слой имеет мощность 0,75 м у южного борта и 1,15 м у северного борта, обильно насыщен различным керамическим материалом, костями животных. В слое также был обнаружен железный наконечник дротика (Рис. 73, 10). На глубине 2,75 м был обнаружен переход на 3-й пепельный слой. Слой имеет мощность до 0,2 м, равномерно проходит через весь коридор 1. В нем



◀ **Рис. 65.** Развалы хумов у внутреннего фаса ВКС 1 после зачистки и выборки грунта коридора 1 до скалы. Вид с юга.

▲ **Рис. 66.** Развалы хумов у внутреннего фаса ВКС 1 после зачистки и выборки грунта коридора 1 до скалы. Вид с севера.

обнаружен керамический комплекс, в том числе, фрагмент рыбного блюда с пальметтой (Рис. 73, 9), а также кости животных. Далее был зафиксирован заключительный, бурый слой, прослеживающийся на глубине 2,95 м. Мощность слоя у южного борта—0,65 м, у северного борта—0,3 м. Слой насыщен различными керамическими фрагментами. После выхода на скальник (материк) по всей поверхности коридора 1, была осуществлена полная зачистка, фотофиксация и съемка с нивелира (Рис. 59, 60).

В светло-коричневом слое, у внутреннего фаса ВКС 1, на глубине 2,08 м от дневной поверхности был обнаружен развал горла хума. Грунт вокруг него был также наполнен большим количеством профильных фрагментов крупной керамической тары. Осуществлена зачистка горловины, а также внутренней части хума, что позволило вскрыть полную форму сосуда размерами: 0,45 м в диаметре, 0,7 м в высоту (Рис. 61–63).

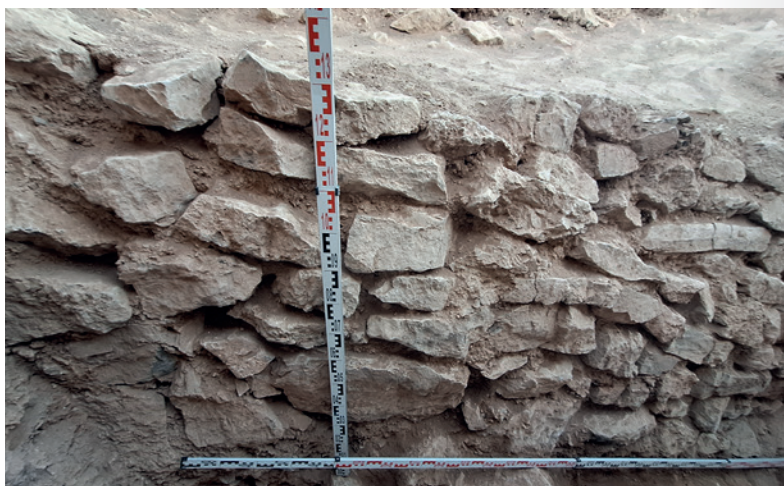
► **Рис. 67.** Внутренний фас ВКС 1.



► **Рис. 68.** Внутренний фас ВКС 1, южная часть.



► **Рис. 69.** Внутренний фас ВКС 1, северная часть.



◀ **Рис. 70.** Коридор 1, северный борт.



В дальнейшем, севернее и впритык к открытому хуму, был обнаружен еще один — худшей сохранности (отсутствовала горловина, часть фрагментов стенок была утрачена), но такой же в диаметре — 0,45 м. Оба сосуда были расположены на высоте 0,2 м от скальника (материка). Грунт заполнения коридора 1 был полностью выбран до скальника (материка), и только после этого был осуществлен последовательный разбор развалов обоих хумов. Представляется, что обнаруженные сосуды в древности были либо врыты в цокольную подсыпку, либо стояли на буром слое (Рис. 64–66).

Максимальная высота стен коридора 1 составляет: 3,57 м на углу южного борта и ВКС 2; 3,1 м на углу южного борта и ВКС 1; 3,23 м на углу северного борта и ВКС 2; 2,87 м на углу северного борта и ВКС 1.

Вскрытый на этом участке внутренний фас ВКС 1 представляет собой каменную кладку мощностью 2,3 м у южного борта и 1,5 м у северного борта. Характер кладки вертикальный, системный, в кладке наблюдается рядность, большинство камней правильной формы, присутствуют как крупные камни (0,7 м в длину), так и камни меньших размеров (0,2–0,3 м), зазоры между камнями кладки небольшие. В кладке прослеживаются 2 зазора, визуально напоминающие бойницы, однако с обратной стороны ВКС 1 таких зазоров не наблюдается. Возможно, это связано со сползанием



◀ **Рис. 71.** Коридор 1, южный борт.

части кладки внешнего фаса ВКС 1. Обе бойницы расположены в южной части фаса, на расстоянии 1,85 и 1,05 метров от южного борта, на высоте 0,9 и 1,2 метров от скальника (материка) (Рис. 67–69).

На данном участке в стратиграфии бортов мы наблюдаем такие слои, как:

- дерновой слой мощностью от 0,05 до 0,1 м по всей поверхности участка;
- слой каменного завала с большим количеством плотно спрессованных в суглинке крупных камней, гравия и бута мощностью от 2 м у южного борта, до 1,6 м у северного борта;
- светло-коричневый слой, мощность 0,75 м у южного борта и 1,15 м у северного борта;
- 3-й пепельный слой, мощностью не более 0,2 м;
- бурый слой, мощностью 0,65 м у южного борта и 0,3 м у северного борта (Рис. 70–72).



◀ **Рис. 74.** Раскоп 10. Общий вид после окончания работ.

Б.Б. Базаров,
Самарканд, Самаркандский
институт археологии АН РУз.

Глава 7.

РАСКОП 11

Раскоп 11 был заложен в 2024 году в юго-западном углу основного четырехугольника крепости Узундара. Он располагался изнутри и вплоты к южной крепостной стене (ЮКС) памятника.

Цель данного раскопа заключалась в выявлении внутреннего фаса ЮКС, а также выявлении наличия строений, примыкающих к ЮКС. Размер раскопа составляет 6×10 м и ориентирован он длинной стороной с юго-востока на северо-запад. До начала раскопа участок представлял собой мощный развал крупных и мелких колотых камней. В северной части раскопа хорошо прослеживается скальная площадка, выступающая на современную дневную поверхность (Рис. 1).

После расчистки участка от завала камня был изъят дерновый слой, который составляет от 0,03 до 0,05 м. Если не учитывать несколько керамических черепков, находки в нем отсутствуют (Рис. 2). Далее следует слой завала мощностью до 0,8 м в виде коричневого рыхлого грунта, перемешанного с крупными и мелкими камнями. Ниже завал камней идет вперемешку с плотной, хорошо отмученной глиной красно-коричневого цвета. В этом слое увеличивается количество керамики, в основном это стенки хумов и кувшинов.

В южной части раскопа на глубине 0,7–0,8 м был выявлен внутренний фас ЮКС. Стена идет по направлению с востока на запад. Ширина стены в юго-восточном углу раскопа составляет 1,9 м, а в юго-западном углу — 2 м.

► Рис. 1. Раскоп 11 до начала работ.



► Рис. 2. Раскоп 11 после снятия дерна.



► Рис. 3. Раскоп 11, зачистка после выхода на слой засыпки скалы.





◀ **Рис. 4.** Угол внутреннего фаса ЮКС и западной бровки после зачистки слоя засыпки скалы.



◀ **Рис. 5.** Внутренний фас ЮКС после зачистки слоя засыпки скалы.

Кладка стены иррегулярная, бутовая. Во внутреннем участке раскопа, между крепостной стеной и скалой продолжается коричневый слой вперемешку с крупными и мелкими булыжниками. В данном слое увеличивается количество находок, в основном, керамика столового и хозяйственного назначения ^(Рис. 3).

На глубине 1–1,1 м от уровня дневной поверхности данного участка выявляется кладка из двух рядов камней, которая первоначально было принята за внутреннюю стену. Однако предположения себя не оправдали. В результате расчистки они оказались прямо упавшими камнями завала стены. Они лежали на мелкозернистом



◀ **Рис. 6.** Очаг в хуме возле внутреннего фаса ЮКС. Вид с севера.



◀ **Рис. 7.** Очаг в хуме возле внутреннего фаса ЮКС. Вид сверху.

коричневом слое грунта. В слое встречается керамика, в основном, хозяйственного типа. Кроме того, встречаются кости мелкого рогатого скота. Среди черепков керамики очень незначительное количество составляют фрагменты чаш и кубков, в основном, венчики ^(Рис. 4, 5).

После выборки завала стены следует слой нивелировки скалы коричневого цвета. В нем была обнаружена перевернутая венчиком в низ верхняя часть хума, вмонтированная в нивелировочный слой скалы при помощи глиняной обмазки. Вокруг и внутри хума хорошо прослеживается зола, также обнаружено несколько костей мелкого рогатого скота ^(Рис. 6–10).

► **Рис. 8.** Очаг в хуме возле внутреннего фаса ЮКС. Ближний план.



► **Рис. 9.** Очаг в хуме возле внутреннего фаса ЮКС.



◄ **Рис. 10.** Раскоп 11, итоговое фото с очагом в хуме.



◄ **Рис. 11.** Внутренний фас ЮКС вид с севера.



В слое также были обнаружены плоский бронзовый предмет (Рис. 17, 3) и каменное ядро от пращи (Рис. 17, 2). На полу в коричневом слое встречаются кости животных, фрагменты столовой и хозяйственной посуды. Среди керамики прослеживается наличие фрагментов кувшинов (на одном из них с волнистый орнамент, известный, в основном, для юэчжийско-кушанского периода), также на одном черепке имеются штапки, в виде пальметт между двумя горизонтальными волнистыми линиями (Рис. 17, 1).

В результате проведенных археологических работ была выявлена часть внутреннего фаса ЮКС. Стена была сло-



◀ **Рис. 12.** Раскоп 11, восточный борт, вид с запада.



◀ **Рис. 13.** Раскоп 11, западный борт, вид с востока.

жена из крупных и мелких колотых камней на глиняном растворе. Кладка стены иррегулярная, бутовая. Высота ее составляет от 1,8 м до 2 м, сохранилось девять рядов кладки. ЮКС возведена на краю ущелья Узундара и является основной фортификацией в направлении ожидаемого удара противника (Рис. 11–13).

В итоге нужно отметить, что первоначально поставленную цель проведения археологических работ—выявить внутренний фас ЮКС удалось осуществить, однако в результате раскопок внутри крепости вблизи от стены в заложенном раскопе ожидаемых пристенных помещений не оказалось (Рис. 14–17).

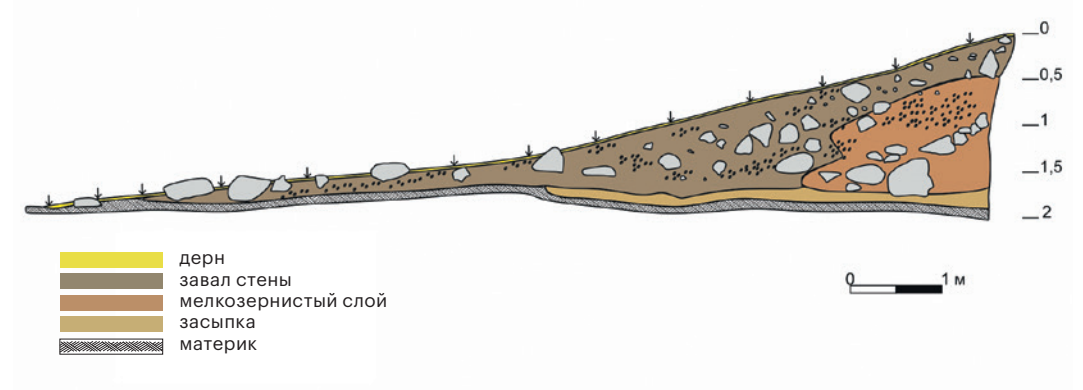


Рис. 14. Стратиграфический разрез восточного борта.

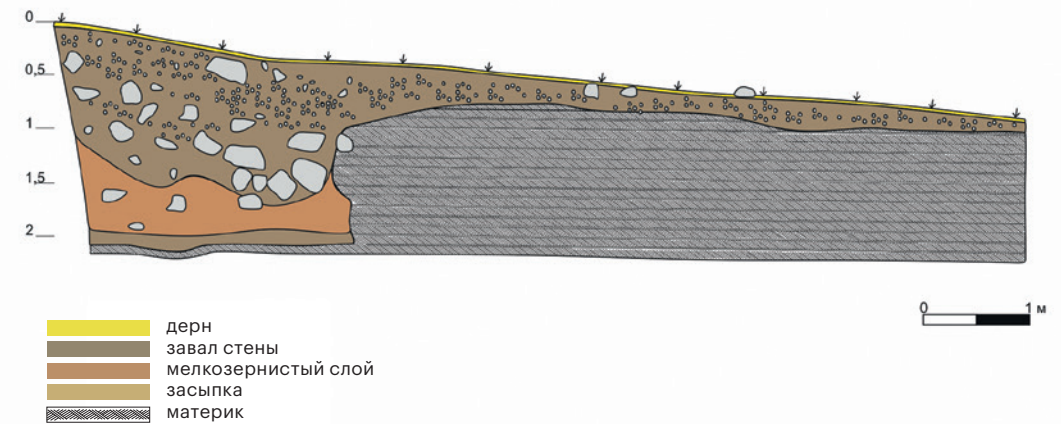


Рис. 15. Стратиграфический разрез западного борта.



◀ **Рис. 16.** Раскоп 11, общее фото после окончания работ.

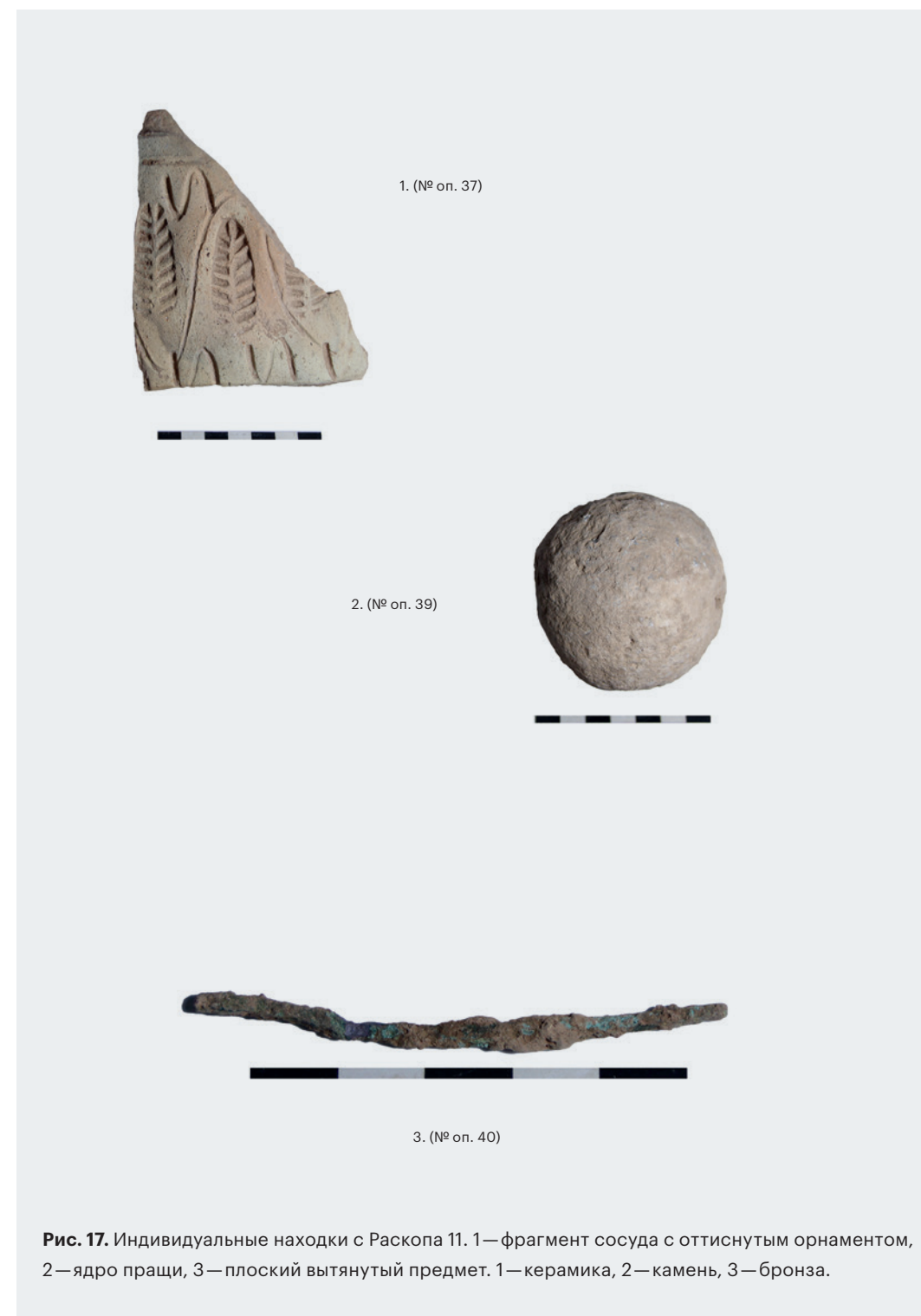


Рис. 17. Индивидуальные находки с Раскопа 11. 1—фрагмент сосуда с оттиснутым орнаментом, 2—ядро пращи, 3—плоский вытянутый предмет. 1—керамика, 2—камень, 3—бронза.

Н.М. Смирнова,
Москва, ГМИИ
им. А.С.Пушкина

Глава 8.

МОНЕТЫ УЗУНДАРЫ (СЕЗОНЫ 2023–2024 Г.)

Два прошедших сезона раскопок на Узундаре дали в совокупности меньше монет, чем в сезон 2022 года. Нумизматическая база крепости возросла лишь на 15 экземпляров, из которых два очень плохой сохранности. Но, как и при ежегодных сборах, монеты 2023–2024 гг. составили интересный комплекс, характерный для этого памятника, и в том числе — с двумя новыми монетами.

Таким образом, общее число найденных на Узундаре монет греческих правителей теперь составляет 213 экземпляров, а юэчжийских, кушанских и поздних — исламского времени — 48 экземпляров³. Как и раньше, в последние два сезона — это находки в слое (на P1, P5–6, P8 и P10), а также из планшетных сборов у торговой площади.

Самые ранние монеты по-прежнему относятся к пост-александровскому времени. Это серебряная гемидрахма 2024 г. и бронзовый гемихалк 2023 г.

³ Монеты последних сезонов представлены в таблицах 1–2 с указанием в скобках их номеров в полевых описях, а статистика дана в таблице 3. Размер монет в таблице 1 произволен, а точный дан в таблице 2.

Тип серебряной монеты:

- ГОЛОВА ГЕРАКЛА В ЛЬВИНОМ СКАЛЬПЕ ВПРАВО/ СИДЯЩИЙ НА ТРОНЕ ЗЕВС ВЛЕВО, ЛЕГЕНДА ВЕРТИКАЛЬНО СПРАВА ЗА ТРОНОМ: ΣΕΛΕ[ΥΚΟΥ]**

Гемидрахма александровского типа найдена на Узундаре впервые. По числу серебряных номиналов — это четвертая монета после двух драхм и гемидрахмы с именем Александра и первая с именем Селевка I (358–282 гг. до н.э.) в легенде. Гемидрахмы этого типа встречаются как с именем Александра, так и Селевка. Их относят к позднему периоду чекана Селевка I (после 311 г. до н.э.) (Houghton, Lorber, 2002, Vol. II, no. 71.1). Этот номинал, как и оболы александровского типа, относятся к мелким фракциям серебра и чеканились разными монетными дворами, например, в Вавилоне, Селевкии на Тигре, Сузах и в Экбатане (Houghton, Lorber, 2002, Vol. II, nos. 71, 123, 168–169, 212). В совместном чекане Селевка I и Антиоха I (281–261 гг. до н.э.) этот тип гемидрахмы также зафиксирован (Houghton, Lorber, 2002, Vol. II, no. 230). По стилю изображений он соответствует драхме неизвестного монетного двора, выпущенную в период 294–281 гг. до н.э. (Houghton, Lorber, 2002, Vol. I, p. 90–91; Vol. II, no. 232, Pl. 13, p. 137). На л.с. видны несколько прядей львиной гривы, как на штемпеле указанной драхмы, а на о.с. в поле слева, возможно, та же монограмма, но со стертым знаком в круге. Характерно вертикальное расположение имени Селевка, как будто сидящий на троне Зевс опирается на легенду локтем.

К селевкидскому периоду также относится бронзовый гемихалк Антиоха I, найденный в завале на P6. Это добавление к 11 монетам Антиоха I этого типа, найденным в предшествующие сезоны. Монетный тип:

- ГОЛОВА АФИНЫ В ШЛЕМЕ ВПРАВО/ КРЫЛАТАЯ НИКА С ВЕНКОМ В РУКЕ ВЛЕВО, ЛЕГЕНДА: ΒΑΣΙΛΕΩΣ ΑΝΤΙΟΧΟΥ**

Данный гемихалк Антиоха I дополнил самую многочисленную группу находок монет селевкидского периода на Узундаре.

Чекану греко-бактрийского царя Евтидема I (ок. 230–200 гг. до н.э.) принадлежат шесть монет из пятнадцати новых находок. Число монет Евтидема I — наибольшее, среди греческих монет, уже найденных в крепости: всего 145 экземпляров, из которых серебряных — 2 драхмы и 2 оболы. Последний обол был найден в 2024 г. на P 10, участке 2, в галерее 1, в завале у ВКС.

Монетный тип:

3. ГОЛОВА ЦАРЯ В ДИАДЕМЕ ВПРАВО / ГЕРАКЛ, СИДЯЩИЙ ВЛЕВО НА СКАЛЕ, ПОКРЫТОЙ ШКУРОЙ ЛЬВА, ОПИРАЕТСЯ ПАЛИЦЕЙ О КОЛЕНА. ЛЕГЕНДА: ΒΑΣΙΛΕΩΣ ΕΥΘΙΔΗΜΟΥ

Это обол с изображением старого правителя относится к редкой группе монет данного номинала. Оболов Евтидема I известно намного меньше, чем, например, его тетрадрахм, тем более — позднего периода правления с портретом старого царя. Возможно, это наследие селевкидских традиций, так как оболочки и гемиоболы правителей этой династии встречаются реже монет более крупных номиналов.

Кроме оболы найдены пять бронзовых монет Евтидема I одного типа:

4–8. ГОЛОВА ГЕРАКЛА ВПРАВО / СКАЧУЩИЙ КОНЬ ВПРАВО. ЛЕГЕНДА: ΒΑΣΙΛΕΩΣ ΕΥΘΙΔΗΜΟΥ

Они представлены разными номиналами: три гемихалка и два дихалка. При таком небольшом количестве разнообразие номиналов объяснимо тем, что эта мелкая разменная монета обнаружена в культурном слое и во время планшетных сборов в районе торговой площади, у входных ворот [№№ полевой описи 1, 14 (2023), и 1, 12, ? (2024)]

Один обол царя Деметрия I (около 200–190 гг. до н.э.) найден в 2023 году на P7 в буром слое. Монетный тип:

9. БЮСТ ЦАРЯ В ШЛЕМЕ В ВИДЕ СКАЛЬПА СЛОНА / СТОЯЩИЙ МОЛОДОЙ ГЕРАКЛ, С ПАЛИЦЕЙ И ЛЬВИНОЙ ШКУРОЙ В ЛЕВОЙ РУКЕ И ПРАВОЙ РУКОЙ ВЕНЧАЮЩИЙ СЕБЯ ВЕНКОМ. ЛЕГЕНДА: ΒΑΣΙΛΕΩΣ ΔΗΜΗΤΡΙΟΥ

Это уже двадцать первый обол Деметрия, найденный на Узундаре с 2013 г. Такое значительное число оправдано, поскольку исследователи отмечали большой объем чекана оболы при этом правителе по сравнению с его предшественниками (Glenn, 2002. С. 96, табл. 54–55).⁴

В 2024 г. на P10 был также найден еще один серебряный обол царя Антимаха I (около 180–165 гг. до н.э.). Это редкая находка в дополнение к двум другим оболам Антимаха Теоса 2022 года с P6. Такие оболочки впервые встречены при раскопках в Средней Азии. Все они одного типа:

⁴ В корпус монет Деметрия I, опубликованных Саймоном Гленном в 2020 г., входит 75 оболы. По схеме автора обол с Узундара принадлежит монетному двору B, группе III, к которому автор относит 51 экземпляр.

10. БЮСТ ЦАРЯ В КАВСИИ И ДИАДЕМЕ ВПРАВО / СТОЯЩИЙ ПОСЕЙДОН ОПИРАЕТСЯ ПРАВОЙ РУКОЙ НА ТРЕЗУБЕЦ, В ЛЕВОЙ РУКЕ ДЕРЖИТ ПАЛЬМОВУЮ ВЕТВЬ. ЛЕГЕНДА: ΒΑΣΙΛΕΩΣ ΘΕΟΥ ΑΝΤΙΜΑΧΟΥ.

Общий объем монетного чекана Антимаха был заметно меньше, чем у Евтидема I и Деметрия I, но выпуск оболы по отношению к другим серебряным и бронзовым номиналам был, как и у Деметрия, довольно высоким. Есть даже предположение, что один из монетных дворов Антимаха чеканил только оболочки (S. Glenn, p. 147).

Кроме монет греко-бактрийского периода, близким по времени чеканки на Узундаре, отмечены подражания монетам царя Гелиокла I (около 140–130 гг. до н.э.) позднего, «юечжийского» периода (конец II–I вв. до н.э.). В 2024 г. тоже была найдена бронзовая монета, подражающая тетрадрахмам Гелиокла. Монетный тип:

11. БЮСТ ЦАРЯ ВПРАВО/ СТОЯЩИЙ ЗЕВС ЭТОФОР СО СКИПЕТРОМ И ПЕРУНОМ. ЛЕГЕНДА: [ΒΑ] ΣΙΛΕΩ[Σ] ΗΛΙ·ΙΛΕΥΣ ΔΙ[ΚΑΙ·Υ]

В целом, на Узундаре было найдено 16 подражаний монетам Гелиокла I. Данный экземпляр отличается от уже найденных по стилю и качеству. Он ближе к греческому чекану по стилю изображения правителя. Портрет царя отличается характерной прической: отдельные пряди — треугольной формы и выглядят как двойной ряд зубцов короны. Монета Гелиокла, как и монета следующего, кушанского периода, из чекана «Сотера Мегаса» была обнаружена при планшетном сборе в районе Западной крепостной стены к западу от нее.

Бронзовая «драхма» «Сотера Мегаса» — обычного типа, найдена в 2024 году:

12. БЮСТ ЦАРЯ В ДИАДЕМЕ ВПРАВО. ПРАВАЯ РУКА ПОДНЯТА (ДЕРЖИТ КОПЬЕ С ЛЕНТАМИ ИЛИ СТРЕЛУ?). ВОКРУГ ГОЛОВЫ ЛУЧЕВОЙ НИМБ. ЗА ГОЛОВОЙ СЛЕВА ТАМГА ?/ ЦАРЬ В ДИАДЕМЕ И КУЛАХЕ НА КОНЕ ВПРАВО. В ПРАВОЙ ПРОТЯНУТОЙ РУКЕ БОЕВОЙ ТОПОР? СПРАВА ТАМГА: . ЛЕГЕНДА: [ΒΑΣΙΛΕΙ] ΒΑΣΛΕΩΝ Σ[ΣΤΗΡ ΜΕΓΑΣ]?

Точно воспроизвести легенду монеты не удалось, так как большая часть надписи ушла в край кружка или стерлась. Следует отметить начертание отдельных знаков, например, альфы с косой, а не прямой перекадиной. Установлено, что выпуски с именем «Царя Царей Великого Спасителя» принадлежали чекану кушанского правителя Вимы Такту (около 96–113) (Jongeward, Cribb, Donovan, 2014, p.4–5; Cribb, 2017, P.14).

Еще одна кушанская монета найдена в 2024 году во время планшетного сбора к западу от ЗКС. Это, скорее всего, экземпляр хорошо известных бронзовых кушанских монет с типом оборотной стороны «Шива перед быком» (?), перечеканенный Канишкой II (около 267–300). Монетный тип:

13. ФИГУРА СТОЯЩЕГО КАНИШКИ II / СИДЯЩАЯ БОГИНЯ (АРДОХША?)

Из последних двух монет, найденных за 2023–2024 гг., определяется одна. Это куфический дирхем из верхнего слоя участка 1 на P10, где располагалась городская застройка. Монетный тип:

14. СИМВОЛ ВЕРЫ (?) В ЦЕНТРЕ С ДВОЙНЫМ КРУГОМ КОРАНИЧЕСКИХ ИЗРЕЧЕНИЙ / ДВОЙНОЙ КРУГ НАДПИСЕЙ С ВЫХОДНЫМИ ДАННЫМИ ПО ВНУТРЕННЕМУ КРУГУ И ПОЧТИ СТЕРТЫМИ НАДПИСЯМИ ПО ЦЕНТРУ

Дирхем относится, скорее всего, к правлению Мансура I бен Нуха (961–976) из династии Саманидов (IX–X вв.), как определили специалисты⁵.

Еще одна монета, происходящая из планшетных сборов, полностью стерта и не определена (таблица 1, 15).

МОНЕТЫ

Таблица 2. Данные и место монетных находок

| МЕСТО НАХОДКИ, ОПРЕДЕЛЕНИЕ, № ПОЛЕВОЙ ОПИСИ И ГОД НАХОДКИ, МОНЕТНЫЙ ТИП, НОМИНАЛ | ВЕС И РАЗМЕР (P) МОНЕТЫ | ОБЪЕКТ, ПОМЕЩЕНИЕ, СЛОЙ |
|--|-------------------------|---|
| РАСКОП I | | |
| <i>Евтидем I</i> № 14, 2023 (Голова Геракла/ скачущий конь) гемихалк | Вес–2,3 г P–11 мм | ЮВ угол P1 |
| РАСКОП 5 | | |
| То же № 1, 2023 | Вес–1,2 г P–11 мм | Участок 4, пласт 1, 1-й пепельный слой |
| РАСКОП 6 | | |
| <i>Антиох I</i> (№ 37, 2023) (Голова Афины/ Ника) гемихалк | Вес–1,5 г P–13 мм | Восточный фас, слой завала, предметерик |

⁵ Приношу глубокую благодарность Александру Акопяну и Вадиму Калинину за определение монеты.

| МЕСТО НАХОДКИ, ОПРЕДЕЛЕНИЕ, № ПОЛЕВОЙ ОПИСИ И ГОД НАХОДКИ, МОНЕТНЫЙ ТИП, НОМИНАЛ | ВЕС И РАЗМЕР (P) МОНЕТЫ | ОБЪЕКТ, ПОМЕЩЕНИЕ, СЛОЙ |
|---|--------------------------|---|
| РАСКОП 8 | | |
| <i>Деметрий I</i> (№ 32, 2023) (Голова царя в шлеме/ стоящий Геракл) Обол | Вес–0,70 г P–11–12 мм | Бурый слой |
| РАСКОП 10 | | |
| <i>Евтидем I</i> (№ 25, 2024) (Голова Геракла/ скачущий конь) гемихалк | Вес–1,60 г P–13 мм | Участок 1, ВКС, коридор 2, слой: каменный завал |
| <i>Евтидем I</i> (№ 16, 2024) (Голова царя/ сидящий на скале Геракл) Обол | Вес–0,50 г P–11 мм | Участок 2, ВКС, Галерея 1, слой завала стены |
| <i>Евтидем I</i> (№ 3, 2024) (Голова Геракла/ скачущий конь) дихалк | Вес–7,30 г P–23 мм | Участок 2, ВКС, внутри, под серым слоем |
| <i>Антимах I</i> (№ 12, 2024) (Голова царя в петасе/ стоящий Посейдон) обол | Вес–0,70 г P–9–10 мм | Участок 2, ВКС, галерея 1, слой завала стены |
| <i>Саманиды. Мансур I</i> (№ 5, 2024) дирхем | Вес–3,40 г P–27 мм | Участок 1, город, 15 см от дневной поверхности |
| ПЛАНШЕТНЫЕ СБОРЫ | | |
| <i>Селевк I</i> (№ 61, 2024) (Голова Геракла в шлеме/ сидящий на троне Зевс) гемидрахма | Вес–2,10 г P–13 | ВКС, сбор у ЗКС |
| <i>Евтидем I</i> (№ 46, 2024) Голова Геракла/ скачущий конь дихалк | Вес–7,30 г P–21 | Сбор у торговой площади 38.1460883 66.9485783 |
| Монета не определена (№ 10, 2023) | Вес–2,90 г P–15 | |
| <i>Бронзовое подражание «тетрадрахмам» Гелиокла I</i> (№ 69, 2024) (Голова царя/ стоящий Зевс) | Вес–13,20 г; P–29 мм | ВКС, сбор у ЗКС 38.145779 66.946321 |
| <i>Вима Такту («Сотер Мегас»)</i> (№ 51, 2024) (Бюст царя/ всадник) Бронзовая «драхма» | Вес–1,90 г P–14 мм | Сбор у торговой площади |
| Канишка II (№ 62, 2024) Стоящий царь/ сидящая Ардохша бронза | Вес–7,50 г P–19–20 | ВКС, сбор у ЗКС |

Таблица 3. Эллинистические монеты крепости Узундара (2013–2024)

| ПРАВИТЕЛИ | СЕРЕБРО | | | | БРОНЗА | | | | | ИТОГО |
|--|-----------------------|------------|-------------|----------|-----------------|--------------|------|-----------|-------|------------|
| | ТЕТРА-ДРАХМА | ДРАХМА | ГЕМИ-ДРАХМА | ОБОЛ | ТРИ-ХАЛК | ДИХАЛК | ХАЛК | ГЕМИ-ХАЛК | ЛЕПТА | |
| Александр III (посмертный чекан) | | 2 | | | | | | | | 2 |
| СЕЛЕВКИДЫ | | | | | | | | | | |
| Селевк | | | 1 | | | | | | | 1 |
| Антиох I | | 1 | 1 | | | 5 | 1 | 4 | | 12 |
| Антиох II | 1 | | | | | | | | | 1 |
| ГРЕКО-БАКТРИЙСКОЕ ЦАРСТВО | | | | | | | | | | |
| Диодот I | | | | | | 1 | | | | 1 |
| Диодот II | | | | | | 5 | | 5 | | 10 |
| Евтидем I | | 2 | | 2 | 2 | 113 | 9 | 10 | 7 | 145 |
| Деметрий I | 1 | | | 21 | 1 | 4 | | | | 27 |
| Евтидем II | | | | 1 | | 2 | | | | 3 |
| Агафокл | | | | | | 1 | | | | 1 |
| Антимах I | | | | 3 | | | | | | 3 |
| Евкратид I | | 1 | | 5 | | 1 | | | | 7 |
| Итого монет греческих царей | | | | | | | | | | 213 |
| ПОДРАЖАНИЯ ГЕЛИОКЛУ | | | | | | | | | | |
| бронза «тетрадрахма» | | | | | бронза «драхма» | | | | | |
| Да-юечжи | 14 | | | | | | | | | 3 |
| ИНДО-СКИФЫ | | | | | | | | | | |
| Аз II (посмертный чекан) | бронза 1 «гемидрахма» | | | | | | | | | 1 |
| КУШАНСКИЕ ПРАВИТЕЛИ | | | | | | | | | | |
| Герай | 2 | | | | | | | | | 2 |
| Сотер Мегас (=Витма Твкту) | «тетрадрахма» | «дидрахма» | | «драхма» | | «гемидрахма» | | | | 8 |
| Вима Кадфиз | 2 | | | | | | | | | 2 |
| Канишка I | 1 | | | | | | | | | 1 |
| Канишка II | 7 | | | | | | | | | 7 |
| ПОДРАЖАНИЯ КУШАНСКИМ ПРАВИТЕЛЯМ | | | | | | | | | | |
| Васудеве | 7 | | | | | | | | | 7 |
| Саманиды | 1 дирхем | | | | | | | | | |
| Не определено | 2 | | | | | | | | | |
| Итого | | | | | | | | | | 261 |



Приложение 1.

ОПИСЬ ИНДИВИДУАЛЬНЫХ НАХОДОК ПОЛЕВОГО СЕЗОНА 2023 ГОДА

| № | ПРЕДМЕТ, ОПИСАНИЕ | МЕСТО ОБНАРУЖЕНИЯ | РАЗМЕР В ММ, ВЕС В ГР. | МАТЕРИАЛ | СОСТОЯНИЕ | ФОТОГРАФИЯ |
|---|--|---|--|----------|---|---|
| 1 | гемихалк Евтидема I | Р-5, уч. 4, пласт 1, слой бурой супеси | d—11, вес—1,2 | медь | патинирована, незначительно потерта |  |
| 2 | наконечник стрелы трехлопастной, черешковый | Р-5, уч. 4, пласт 1, слой бурой супеси | l—33, l черешка—14, сечение черешка—2, сечение наконечника—6×7 | железо | коррозирован, частично утрачены лопасти, кончик сбит от удара |  |
| 3 | горшок лепной | Р-5, уч. 4, пласт 1, слой бурой супеси | высота—170, d донца—90, d венчика—75, d горла в сужении—55, d—ок. 122 | керамика | сколы на венчике, утрачена ручка |  |
| 4 | наконечник стрелы трехлопастной, черешковый с жальцами | планшетный сбор, торговая площадь, 05.08.23 | l—29, l черешка—6, сечение черешка—1,5–2, сечение наконечника—7×7, l жальцев—1,5–6 | железо | коррозирован, частично утрачены два жальца и кончик черешка |  |
| 5 | наконечник стрелы трехлопастной, черешковый | Р-III, ЮЗКС, у-8 протейхизма, внешний фас, развал стены | l—37, l черешка—14, сечение черешка—2, сечение наконечника—9×10 | железо | коррозирован, черешок деформирован, скол на одной из граней ближе к кончику |  |
| 6 | дротик | планшетный сбор, место боя | l—66, l втулки—10–13, сечение втулки—7×8, сечение дротика—7×10 | железо | коррозирован, частично утрачена втулка, кончик сбит от удара |  |

| № | ПРЕДМЕТ, ОПИСАНИЕ | МЕСТО ОБНАРУЖЕНИЯ | РАЗМЕР В ММ, ВЕС В ГР. | МАТЕРИАЛ | СОСТОЯНИЕ | ФОТОГРАФИЯ |
|----|---|---------------------------------|---|----------|---|---|
| 7 | нож однолезвийный с пластинчатой ручкой | Р-5, уч. 4, слой бурой супеси | l—145, l лезвия—90, ширина лезвия—15–2, ширина хвостовика—8–12, толщина—1–2 | железо | коррозирован, лезвие изогнуто, хвостовик частично отломан, но сохранился |  |
| 8 | крючок | Р-5, уч. 4, слой бурой супеси | l—20, сечение—1–1,5 | железо | коррозирован |  |
| 9 | крючок | Р-5, уч. 4, слой бурой супеси | l—18, сечение—1–1,5 | железо | коррозирован |  |
| 10 | монета не определена | планшетный сбор | d—15, вес—2,9 | медь | сильно потертая, изображение не читается |  |
| 11 | монета (?) фрагмент | Р-6, восточный фас, слой завала | 6 × 10, вес—0,3 | медь | маленький фрагмент, меньше четверти монеты, потертый, изображение не читается |  |
| 12 | одноручный кувшин с граффити «...ΡΡΙΑС» | Р-6, восточный фас, слой завала | h—380, d венчика—90, d дна—12 | керамика | утрачена часть надписи |  |
| 13 | «мегарская» чаша, фрагмент | Р-6, восточный фас, слой завала | 35 × 19, толщина—2–4 | керамика | фрагмент |  |

| № | ПРЕДМЕТ, ОПИСАНИЕ | МЕСТО ОБНАРУЖЕНИЯ | РАЗМЕР В ММ, ВЕС В ГР. | МАТЕРИАЛ | СОСТОЯНИЕ | ФОТОГРАФИЯ |
|----|--|--|--|----------|--|---|
| 14 | гемихалк Евтидема I | P-I, ЮВ угол | d—11, вес—2,3 | медь | неровной формы, изображение читается удовлетворительно, значительно потерта |  |
| 15 | грузик с отверстием | P-I, ЮВ угол, слой светло-коричневой глины | высота—22, d—15 в верхней части, 19 в нижней, d отверстия—4–5 | керамика | неровной формы, плохо обожжен или без обжига |  |
| 16 | наконечник стрелы черешковый, трехлопастной | P-5, уч. 4, слой бурой супеси | l—39, l черешка—11, сечение черешка—2–4, сечение наконечника—9×10 | железо | сильно коррозирован, частично утрачен черешок |  |
| 17 | наконечник стрелы черешковый, трех- или четырехгранный | P-9, дерновой слой | l—44, l черешка—17, сечение черешка—3–4, сечение наконечника—7×8 | железо | сильно коррозирован, частично утрачен черешок, частично утрачены грани, раздут от коррозии |  |
| 18 | наконечник стрелы черешковый, трехлопастной | планшетный сбор | l—34, l черешка—14, сечение черешка—1,5–2, сечение наконечника—7×7 | железо | коррозирован |  |
| 19 | пряслице из стенки сосуда | P-6, восточный фас, слой завала | d—34, толщина—5–6, d отверстия—3 с расширением до 6 | керамика | потертое, сломано пополам, подклеено |  |
| 20 | шило | планшетный сбор, торговая площадь | l—61, сечение—2×3–5×6 | железо | коррозировано, один кончик надломлен |  |
| 21 | наконечник стрелы черешковый, трехлопастной | планшетный сбор, торговая площадь | l—36, l черешка—7, сечение черешка—1,5–2, сечение наконечника—7×8 | железо | коррозирован, частично утрачен черешок, лопасти незначительно деформированы |  |
| 22 | наконечник стрелы черешковый, трехлопастной | планшетный сбор | l—27, l черешка—10, сечение черешка—1,5, сечение наконечника—7×6 | железо | коррозирован, утрачен кончик |  |

| № | ПРЕДМЕТ, ОПИСАНИЕ | МЕСТО ОБНАРУЖЕНИЯ | РАЗМЕР В ММ, ВЕС В ГР. | МАТЕРИАЛ | СОСТОЯНИЕ | ФОТОГРАФИЯ |
|----|--|-----------------------------|--|----------|--|---|
| 23 | наконечник стрелы черешковый, трехгранный с упором (юбочкой) | планшетный сбор | l—40, l черешка—14, сечение черешка—2–3, сечение наконечника—8×8, сечение упора—5, длина упора 8 | железо | коррозирован, деформирован черешок, кончик сбит от удара |  |
| 24 | пряслице | подъем из отвала Р-5 | d—39, толщина—10–11, d отверстия—9 | керамика | потертое |  |
| 25 | кольцо | планшетный сбор | d—21, ширина—7–11, d отверстия—16 | железо | коррозировано |  |
| 26 | пряслице из стенки сосуда | Р-9, слой серой супеси | 42×40, толщина—7, d отверстия—5–7 | керамика | сильно потертое, неровной формы, край с многочисленными сколами |  |
| 27 | фрагмент кувшина (?) с процарапанным знаком «х» | Р-1, слой светло-коричневый | 55×95, толщина—7–10, размера графити—11×6 | керамика | фрагмент потертый, часть графити утрачена |  |
| 28 | фрагмент сосуда с изображением половины «В» по сырой глине | Р-9, слой серой супеси | 68×56, толщина—14, размер буквы—14×30 | керамика | потертый фрагмент |  |
| 29 | фрагмент сосуда с изображением «В» по сырой глине | Р-1, с пола | 196×73, толщина—16–18, размер буквы 61×24 | керамика | фрагмент потертый, расколот на две части, буква сколом разделена пополам |  |

| № | ПРЕДМЕТ, ОПИСАНИЕ | МЕСТО ОБНАРУЖЕНИЯ | РАЗМЕР В ММ, ВЕС В ГР. | МАТЕРИАЛ | СОСТОЯНИЕ | ФОТОГРАФИЯ |
|----|--|--|--|----------|---|---|
| 30 | дно чаши с фрагментом надписи | Р-9, слой бурой супеси | 49 × 56, d донца—45, толщина—3–5, размер изображения 9 × 11 | керамика | фрагмент, часть донца и надписи утрачена |  |
| 31 | «мегарская» чаша фрагмент | Р-8, бурый слой каменного завала | 38 × 21, толщина—3–5 | керамика | фрагмент потертый |  |
| 32 | обол Деметрия I | Р-8, бурый слой каменного завала | вес—0,7, d—11–12 | серебро | неровной формы, изображение читается очень хорошо |  |
| 33 | пряслице | Р-9, слой серой супеси | 43 × 22, толщина—5–8, d—ок. 45–50, d отверстия—8 | керамика | фрагмент, утрачена большая часть предмета |  |
| 34 | наконечник стрелы втульчатый, трехгранный с жальцами | планшетный сбор | l—34, l жальцев—6–10, сечение жальцев—1 × 2–2 × 3, сечение наконечника—10 × 11 | бронза | покрыт следами оксидов, жальца немного деформированы |  |
| 35 | наконечник стрелы черешковый, трехлопастной | Р-8, бурый слой каменного завала | l—52, l черешка—20, сечение черешка—1,5–3,5, сечение наконечника—13 × 13, сечение юбочки—7 × 8 | железо | коррозирован, небольшой скол на одной из лопастей |  |
| 36 | праца | Р-6, восточный фас, слой завала | 41 × 50 × 35 | камень | |  |
| 37 | гемихалк Антиоха I | Р-6, восточный фас, слой завала, предматерик | вес—1,5, d—13 | медь | гурт скошен, изображение потертое, на аверсе голова Афины в шлеме вправо, на реверсе Ника, по бока от нее легенда «царь Антиох» |  |

| № | ПРЕДМЕТ, ОПИСАНИЕ | МЕСТО ОБНАРУЖЕНИЯ | РАЗМЕР В ММ, ВЕС В ГР. | МАТЕРИАЛ | СОСТОЯНИЕ | ФОТОГРАФИЯ |
|----|---|---|--|----------|--|---|
| 38 | фрагмент хума с бактрийской надписью | Р-8, бурый слой каменного завала | 110 × 115, толщина — 18–22, размер надписи — 62 × 40 | керамика | утрачена часть надписи |  |
| 39 | лепной сосуд с рельефным декором, два фрагмента венчика и фрагмент стенки | Р-8, бурый слой каменного завала | 1) фр-т без венчика — 90 × 57, толщина — 4–6, толщина рельефа — 8–11 2) фрагмент с венчиком горелый — 70 × 61, толщина — 6–7, толщина рельефа — 10, размер рельефа — 27 × 57, 3) фр-т с венчиком — ок. 8 × 78, толщина — 7, размер рельефа — 55 × 22, толщина рельефа — 10 | керамика | три фрагмента, не склеиваются |  |
| 40 | лепной сосуд с ручкой | Р-6, восточный фас, прирезка, слой завала | фрагменты размером от 33 × 27 до 76 × 55, толщина стенки — 5–7 | керамика | 8 фрагментов |  |
| 41 | предмет железный с загнутым концом | Р-9, слой серой супеси | l — 44, сечение — 3–5 | железо | коррозирован |  |
| 42 | праца, подовальной формы | Р-9, слой серой супеси | 55 × 30 | камень | |  |
| 43 | наконечник стрелы черешковый, трехлопастной | планшетный сбор | l — 43, l черешка — 20, сечение черешка — 1,5–3, сечение наконечника — 10 × 11 | железо | коррозирован, черешок деформирован, кончик сбит от удара |  |

ОПИСЬ ИНДИВИДУАЛЬНЫХ НАХОДОК ПОЛЕВОГО СЕЗОНА 2024 ГОДА

| № | ПРЕДМЕТ, ОПИСАНИЕ | МЕСТО ОБНАРУЖЕНИЯ | РАЗМЕР В ММ, ВЕС В ГР. | МАТЕРИАЛ | СОСТОЯНИЕ | ФОТОГРАФИЯ |
|---|--|--|--|----------|--|---|
| 1 | наконечник стрелы трехлопастной черешковый | Р-10, Уч. 1, пространство город, дерн | l—44, l черешка—19, сечение черешка—1,5–3, сечение наконечника—11×11 | железо | коррозирован, незначительные утраты в кончиках лопастей |  |
| 2 | наконечник стрелы трехлопастной, черешковый с жальцами | Р-10, Уч.2, ВКС 0, слой каменного завала | l—42, l черешка—12, сечение черешка—1,5–2, сечение наконечника—8×8 | железо | коррозирован, черешок слегка деформирован, кончики жальцев загнуты |  |
| 3 | дихалк Евтидема I | Р-10, Уч.2, 0 коридор, 1-й пепельный слой | вес—7,3, d—23 | медь | сильно покрыта окислами, изображение читается плохо |  |
| 4 | наконечник стрелы трехлопастной, черешковый | Р-10, Уч.2, на стене ВКС 0, 1-й пепельный слой | l—32, l черешка—12, сечение черешка—1,5–3, сечение наконечника—7×9 | железо | коррозирован, одна из лопастей утрачена почти полностью |  |
| 5 | дирхем Саманиды. Мансур I | Р-10, Уч. 1, пространство город, слой каменного завала | d—27, вес 3,4 | серебро | неровной формы, несколько сколов на краях, покрыта окислами |  |
| 6 | гвоздь, ухналь | Р-10, Уч. 1, пространство город, слой каменного завала | l—15, l ножки—11, сечение ножки—2×2–5×5, сечение шляпки 18×11 | железо | коррозирован, частично утрачена ножка |  |

| № | ПРЕДМЕТ, ОПИСАНИЕ | МЕСТО ОБНАРУЖЕНИЯ | РАЗМЕР В ММ, ВЕС В ГР. | МАТЕРИАЛ | СОСТОЯНИЕ | ФОТОГРАФИЯ |
|----|--|--|---|----------|---|---|
| 7 | наконечник стрелы плоский, черешковый | Р-10, Уч. 1, пространство город, слой каменного завала | l—22, l черешка—3, сечение черешка—1–2, сечение наконечника—2×10 | железо | коррозирован, кончик сбит от удара |  |
| 8 | наконечник стрелы трехлопастной, черешковый | Р-10, Уч.2, ВКС 0, бурый слой с щебнем | l—46, l черешка—21, сечение черешка—2,5–3, сечение наконечника—10×9 | железо | коррозирован, черешок деформирован, частично утрачены лопасти |  |
| 9 | наконечник стрелы трехлопастной, черешковый | Р-10, Уч.2, ВКС 0, бурый слой с щебнем | l—36, l черешка—17, сечение черешка—1–4,5, сечение наконечника—8×8 | железо | коррозирован, утрачен небольшой фрагмент лопасти |  |
| 10 | нож серповидный | Р-10, Уч.2, ВКС 0, бурый слой с щебнем | l—148, l лезвия—113, сечение лезвия—1–4×23–27, сечение хвостовика—2–4×22, длина клепок—5×7, сеченик клепок—4–5 | железо | коррозирован, утрачена часть лезвия |  |
| 11 | бронзовая пластина с тремя гвоздиками (обоймица) | Р-10, Уч.2, ВКС 0, бурый слой с щебнем | l—19, ширина—14, толщина—6, толщина пластины—0,5, ширина пластины—12–18, l гвоздиков—6–7, сечение ножки гвоздика—1–1,5, сечение шляпки—2×2, 2×3 | железо | покрыта окислами |  |
| 12 | обол Антимаха | Р-10, Уч.2, 1 коридор, слой каменного завала | вес—0,7, d—9–10 | серебро | состояние хорошее |  |
| 13 | игла | Р-10, Уч. 1, город, слой бурый | l—28, сечение—1–2,5 | железо | фрагмент, коррозирован |  |

| № | ПРЕДМЕТ, ОПИСАНИЕ | МЕСТО ОБНАРУЖЕНИЯ | РАЗМЕР В ММ, ВЕС В ГР. | МАТЕРИАЛ | СОСТОЯНИЕ | ФОТОГРАФИЯ |
|----|--|---|--|----------|---|---|
| 14 | наконечник стрелы трехгранный втульчатый | Р-10, Уч. 1, слой бурый | l—23, l втулки—7, сечение втулки—5,5, сечение наконечника—8×8 | бронза | незначительно покрыт следами окислов |  |
| 15 | гвоздь | Р-10, Уч. 1, пространство город, слой бурый | l—20, l ножки—17, сечение ножки—3×4, сечение шляпки—6×7 | железо | коррозирован |  |
| 16 | обол. Евтидема I | Р-10, Уч.2, 1 коридор, слой каменного завала | вес—0,5, d—11 | серебро | |  |
| 17 | наконечник стрелы черешковый с жальцами трехлопастной | Р-10, Уч. 1, пространство город, слой бурый | l—25, l черешка—4, сечение черешка—1×2, сечение наконечника—4×6 | железо | сильно коррозированный фрагмент |  |
| 18 | ядро пращи | Р-10, Уч.2, й коридор, светло-коричневый слой | 45×40×25 | камень | |  |
| 19 | наконечник стрелы черешковый, трехлопастной с жальцами | Р-10, Уч.2, 1 коридор, светло-коричневый слой | l—37, l черешка—1,5, сечение черешка—2, сечение наконечника—8×9, длина жальцев—5–7 | железо | коррозирован, сколот край одной лопасти с жальцем, одно жальце загнуто, черешок утрачен |  |
| 20 | наконечник стрелы черешковый, четырехгранный | Р-10, Уч. 1, 2 коридор, слой каменного завала | l—33, l черешка—14, сечение черешка—1–2, сечение наконечника—6×6 | железо | коррозирован, кончик сбит от удара |  |
| 21 | фибула | Р-10, Уч. 1, 2 коридор, слой каменного завала | l—48, сечение—2–3, сечение загиба—4×4 | железо | коррозирована |  |

| № | ПРЕДМЕТ, ОПИСАНИЕ | МЕСТО ОБНАРУЖЕНИЯ | РАЗМЕР В ММ, ВЕС В ГР. | МАТЕРИАЛ | СОСТОЯНИЕ | ФОТОГРАФИЯ |
|----|--|--|--|----------|--|---|
| 22 | тарелка с пальметтой | Р-10, Уч.2, 1 коридор, светло-коричневый слой | 66×60, толщина—3–8, размер пальметки—28×15, d донца—ок. 55 | керамика | фрагмент с частью донца |  |
| 23 | рыбное блюдо с пальметтой | Р-10, Уч.2, 1 коридор, 3-й пепельный слой | 66×64, толщина—6–8, размер пальметты—22×11 | керамика | фрагмент |  |
| 24 | пробой | Р-10, Уч. 1, 2 коридор, слой каменного завала | l—39, сечение—6×7, сечение петли—7–9, d петли—22×25 | железо | коррозирован |  |
| 25 | гемихалк Евтидема I | Р-10, Уч. 1, 2 коридор, слой каменного завала | d—13, вес 1,6 | медь | значительно потертая |  |
| 26 | наконечник стрелы черешковый, четырехгранный | Р-10, Уч. 1, коридор 2, слой каменного завала | l—35, l черешка—8, сечение черешка—3–5, сечение наконечника—7×8 | железо | сильно коррозирован, частично утрачен черешок |  |
| 27 | подпяточный | Р-10, Уч. 1, город, слой каменного завала (подъемный материал из отвала) | длина—180, высота—120, толщина—90–120, d углубления—70, глубина—48–50 | камень | |  |
| 28 | дротик втульчатый | Р-10, Уч.2, 1 коридор, бурый слой | l—125, l втулки—50, d втулки—20–23, d отверстия втулки—9–15, сечение наконечника—20×18 | железо | сильно коррозирован, втулка отломлена от наконечника |  |
| 29 | ядра пращи фрагмент | Р-10, Уч. 1, 2 коридор, слой пепельный | 46×35×30 | камень | утрачена половина |  |

| № | ПРЕДМЕТ, ОПИСАНИЕ | МЕСТО ОБНАРУЖЕНИЯ | РАЗМЕР В ММ, ВЕС В ГР. | МАТЕРИАЛ | СОСТОЯНИЕ | ФОТОГРАФИЯ |
|----|---|---|---|----------|--|---|
| 30 | кольчужное кольцо | Р-10, Уч. 1, 2 коридор, слой пепельный | d—14, сечение—2–4 | железо | коррозирован, утрачена четверть кольца |  |
| 31 | кольчужное кольцо | Р-10, Уч. 1, 2 коридор, слой пепельный | d—12, сечение—2–3,5 | железо | коррозирован |  |
| 32 | ядро пращи | Р-10, Уч.2, 1 коридор, 3-й пепельный слой | 40 × 37 × 27 | камень | |  |
| 33 | ядро пращи | Р-10, Уч.2, 1 коридор, 3-й пепельный слой | 40 × 40 × 23 | камень | |  |
| 34 | наконечник стрелы черешковый или шило | Р-10, Уч. 1, 2 коридор, слой пепельный | l—57, l черешка—28, сечение черешка—2–5, сечение наконечника—9 × 11 | железо | сильно коррозирован |  |
| 35 | наконечник стрелы черешковый, трехлопастной | Р-10, Уч. 1, 2 коридор, слой пепельный | l—33, l черешка—3, сечение черешка—3–4, сечение наконечника—9 × 10 | железо | сильно коррозирован, практически утрачен черешок |  |
| 36 | ядро пращи | Р-10, Уч. 1, 2 коридор, слой пепельный | 44 × 48 × 32 | камень | фрагмент |  |

| № | ПРЕДМЕТ, ОПИСАНИЕ | МЕСТО ОБНАРУЖЕНИЯ | РАЗМЕР В ММ, ВЕС В ГР. | МАТЕРИАЛ | СОСТОЯНИЕ | ФОТОГРАФИЯ |
|----|--|---|---|----------|---|---|
| 37 | фрагмент сосуда с оттиснутым орнаментом | Р-11, ЮКС, слой завала | 123 × 74, толщина 7–10 | керамика | фрагмент |  |
| 38 | гвоздь обойный | Р-10, Уч. 1, 2 коридор, слой пепельный | d шляпки—24, толщина—8, l ножки—5, сечение ножки—8 | железо | сильно корродирован, ножка утрачена почти полностью |  |
| 39 | ядро пращи | Р-11, ЮКС, коричневый над скальником | d—66 | камень | |  |
| 40 | предмет плоский вытянутый | Р-11, ЮКС, слой коричневый над скальником | l—61, сечение 1,5 × 2 | бронза | покрыт окислами, деформирован, фрагмент ? |  |
| 41 | наконечник стрелы черешковый, трехлопастной | Р-10, Уч. 1, 2 коридор, слой пепельный | l—32, l черешка—9, сечение черешка—3,5, сечение наконечника—10 × 10 | железо | сильно корродирован, частично утрачен черешок |  |
| 42 | наконечник стрелы черешковый, трехлопастной с жальцами | Р-10, Уч. 1, 2 коридор, слой пепельный | l—44, l черешка—21, сечение черешка—2–4, сечение наконечника—11 × 11, l жальцев—3–4 | железо | сильно корродирован |  |
| 43 | фрагмент сосуда с надписью на греческом языке из трех букв | Р-10, Уч.2, 1 коридор, бурый слой | 57 × 38, толщина 4 × 6 | керамика | фрагмент |  |
| 44 | терочник | Р-10, Уч.2, 1 коридор, бурый слой | 140 × 131 × 49 | камень | половина отколота |  |

| № | ПРЕДМЕТ, ОПИСАНИЕ | МЕСТО ОБНАРУЖЕНИЯ | РАЗМЕР В ММ, ВЕС В ГР. | МАТЕРИАЛ | СОСТОЯНИЕ | ФОТОГРАФИЯ |
|----|--|--|--|----------|---|---|
| 45 | фрагмент сосуда с процарапанным знаком «+» | P-10, Уч. 1, 2 коридор, слой пепельный | 100 × 70, толщина—4–7, размер знака—45 × 32 | керамика | фрагмент |  |
| 46 | дихалк Евтидема I | планшетный сбор торговая площадь | d—21, вес—7,3 | медь | незначительные потертости, изображение читается хорошо с двух сторон, утрачена часть легенды над и под изображением скачущей лошади |  |
| 47 | наконечник стрелы черешковый, трехлопастной | планшетный сбор торговая площадь | l—42, l чер.— 16, сечение черешка—1–3, сечение наконечника—8 × 10 | железо | коррозирован, деформирован черешок, кончик сбит от удара, утраты на двух лопастях. |  |
| 48 | наконечник стрелы черешковый, трехлопастной | планшетный сбор торговая площадь | l—34, l чер.— 15, сечение черешка—2, сечение наконечника—9 × 9 | железо | коррозирован, деформирован черешок, кончик сбит от удара |  |
| 49 | гвоздь | планшетный сбор торговая площадь | l - 31, l ножки—22, сечение ножки—3–4, сечение шляпки—12 × 17 | железо | коррозирован, деформирована ножка |  |
| 50 | предмет железный (шило или стилос) | планшетный сбор торговая площадь | l—82, l листовидной части—40, сечение листовидной части—0,5 × 1,5 (на конце), 12 × 2 (в расширении), сечение ножки—2–4 | железо | коррозирован |  |
| 51 | «драхма» кушанская Вима Такто | планшетный сбор торговая площадь | d—14, вес—1,9 | медь | |  |
| 52 | наконечник стрелы средневековый, черешковый, трехлопастной | планшетный сбор у западной стены | l—89, l черешка 53, сечение черешка—1,5–5,5, сечение наконечника—17 × 17, сечение упора—7 | железо | коррозирован, кончик сбит от удара, черешок деформирован |  |

| № | ПРЕДМЕТ, ОПИСАНИЕ | МЕСТО ОБНАРУЖЕНИЯ | РАЗМЕР В ММ, ВЕС В ГР. | МАТЕРИАЛ | СОСТОЯНИЕ | ФОТОГРАФИЯ |
|----|---|----------------------------------|--|----------|--|---|
| 53 | наконечник стрелы средневековый, черешковый, трехгранный | планшетный сбор у западной стены | l—100, l черешка 58, сечение черешка—1×3–5×5, сечение наконечника—10×11 | железо | коррозирован |  |
| 54 | наконечник стрелы средневековый, черешковый, трехлопастной с отверстием (свистящий) | планшетный сбор у западной стены | l—85, l черешка—34, сечение черешка—2×4–5×5, сечение наконечника—23×17 | железо | коррозирован, значительно утрачены лопасти, частично утрачен черешок |  |
| 55 | наконечник стрелы средневековый, черешковый, трехлопастной | планшетный сбор у западной стены | l—108, l черешка 48, сечение черешка—2×6–5×5, сечение наконечника—24×31, сечение упора—8 | железо | коррозирован, частично утрачены лопасти |  |
| 56 | поясная накладка фигурная | планшетный сбор у западной стены | размер кольца—43×35, сечение кольца—5–6, сечение лепестков 50×24, d шариков-заклепок—5–7, размер отверстия—12×5, толщина лепестков 1,5–2 | железо | коррозировано |  |
| 57 | бронзовый наконечник стрелы втульчатый | планшетный сбор у западной стены | l—21, l втулки—4, сечение втулки—8×3,5, сечение наконечника—5×7 | бронза | кончик сбит от удара, покрыт окислами, втулка смята |  |
| 58 | поясная накладка фигурная с подвесом | планшетный сбор у западной стены | l—21, размер цветка—1×11, сечение листовидной части—8×12, толщина—1–1,5 | бронза | немного деформирована |  |
| 59 | ухнали 4 шт. | планшетный сбор у западной стены | 1) l—11, сечение ножки—5×3, l ножки—8, сечение шляпки—10×19 2) l—9, сечение ножки—4×3, l ножки—5, сечение шляпки 17×7 3) l—5, сечение ножки—4×3, l ножки—5, сечение шляпки—17×7 4) l—17, сечение ножки—4×3, l ножки—12, сечение шляпки—2×2–11×7 | железо | коррозированы |  |

| № | ПРЕДМЕТ, ОПИСАНИЕ | МЕСТО ОБНАРУЖЕНИЯ | РАЗМЕР В ММ, ВЕС В ГР. | МАТЕРИАЛ | СОСТОЯНИЕ | ФОТОГРАФИЯ |
|----|---|----------------------------------|---|----------|--|---|
| 60 | гвоздь с бабочковидной шляпкой | планшетный сбор у западной стены | 14 × 9, I ножки—4, сечение ножки—2, I общая—6 | железо | коррозирован |  |
| 61 | гемидрахма Селевка I | планшетный сбор у западной стены | d—13, вес—2,1 | серебро | сильно потертый |  |
| 62 | монета кушанская, Канишка II | планшетный сбор у западной стены | d—19–20, вес—7,5 | медь | потертая |  |
| 63 | наконечник стрелы плоский, черешковый | планшетный сбор у западной стены | I—125, I черешка—57, сечение черешка—3–6, сечение наконечника—7–20 × 1,5–2, сечение упора—7 × 8 | железо | коррозирован, черешок надломлен, деформирован |  |
| 64 | наконечник стрелы черешковый, ромбовидный, с упором | планшетный сбор у западной стены | I—102, I черешка 56, сечение черешка—1,5–4, сечение наконечника—13 × 7, сечение упора—7 × 7 | железо | коррозирован, черешок деформирован, кончик сбит от удара |  |
| 65 | наконечник стрелы черешковый, плоский, с упором | планшетный сбор у западной стены | I—79, I черешка 29, сечение черешка—3–5, сечение наконечника—14 × 2, сечение упора—7 × 8 | железо | коррозирован, черешок деформирован, кончик сбит от удара |  |
| 66 | наконечник стрелы черешковый, четырехгранный | планшетный сбор у западной стены | I—21, I черешка 2, сечение черешка—2,5, сечение наконечника—6 × 6 | железо | коррозирован, практически утрачен черешок |  |

| № | ПРЕДМЕТ, ОПИСАНИЕ | МЕСТО ОБНАРУЖЕНИЯ | РАЗМЕР В ММ, ВЕС В ГР. | МАТЕРИАЛ | СОСТОЯНИЕ | ФОТОГРАФИЯ |
|----|---|----------------------------------|---|----------|--|--|
| 67 | наконечник стрелы черешковый, трехлопастной | планшетный сбор у западной стены | l—35, l черешка 10, сечение черешка—1,5–2, сечение наконечника—5×5 | железо | коррозирован, частично утрачены лопасти |  |
| 68 | клепка свинцовая | планшетный сбор у западной стены | d—14, толщина—5 | свинец | |  |
| 69 | монета подражание «тетрадрахам» Гелиокла I | планшетный сбор у западной стены | d—29, вес 13,2 | медь | потертая, изображение читается хорошо |  |
| 70 | наконечник стрелы черешковый, листовидный | планшетный сбор у западной стены | l—54, l черешка 11, сечение черешка—2–3, сечение наконечника—3×12, сечение упора—4,5, длина упора—8 | железо | коррозирован, частично утрачен черешок, кончик сбит от удара |  |

С.О. Двуреченская,
Москва, ИА РАН

Приложение 2

ПРЕДВАРИТЕЛЬНЫЕ ИТОГИ

изучения археозоологического материала из раскопок 2022–23 года на территории крепости Узундара

Сотрудники Бактрийского отряда Среднеазиатской археологической экспедиции Института археологии РАН начиная с 2014 года ежегодно проводят целенаправленный сбор костей животных при раскопках разных участков крепости Узундара. Результаты изучения этих коллекций поступают в общую базу данных по комплексному исследованию этого памятника для реконструкции разных сторон жизни и занятий обитателей крепости, в том числе, системы жизнеобеспечения, базирующейся на использовании животных ресурсов. Часть полученных биологических данных за предыдущие годы раскопок уже опубликована (Двуреченская, 2020, 2024). Представляемая далее археозоологическая информация касается некоторых итогов обработки остеологических материалов раскопок 2022–23 г.

Остеологическая коллекция и ее характеристики

В ходе раскопок 2022–23 годов на территории раскопов Р III, Р5, Р6, Р8, Р9 основного четырехугольника крепости Узундара собрана остеологическая коллекция из 2548 фрагментов костей животных. Она состоит из трех выборок, которые происходят из разделяемых археологами культурных слоев: первая пол. III в. до н.э., вторая пол. III в. до н.э. и III-II вв. до н.э.

Археозоологическое исследование остеологического комплекса проведено по методической схеме, разработанной специалистами лаборатории естественнонаучных методов Института археологии РАН (Антипина, 2016) с детальной фиксацией как биологических, так и археологических харак-

теристик и параметров, а также разной природы следов и изменений на костях.

Остеологический материал памятника в целом характеризуется удовлетворительной естественной сохранностью: 3 балла. Индекс раздробленности костей оказался высоким и варьируется в пределах от 32,3 до 72,1 фрагментов на 1 куб дм (табл. 1).

Характер раздробленности костей и происхождение следов на них отражают присутствие в коллекции главным образом одной категории: это кухонные отбросы (2133 костей млекопитающих). И только восемь фрагментов со следами инструментальной обработки можно отнести к другой категории — косторезные материалы. Определено до вида 2156 фрагментов и целых костей крупных и мелких наземных животных, а также птиц и рыб, их доля составила 84,6%.

| № | ВИДЫ | ЛАТИНСКИЕ НАЗВАНИЯ | ПЕРВАЯ ПОЛ. III В ДО Н.Э. | | ВТОРАЯ ПОЛ. III В ДО Н.Э. | | III-II ВВ. ДО Н.Э. | | ИТОГО |
|--------------------------|----------------|-----------------------|------------------------------|-------------|------------------------------|-------------|--------------------|-------------|-------------|
| | | | КОСТИ | % | КОСТИ | % | КОСТИ | % | |
| ДОМАШНИЕ ЖИВОТНЫЕ | | | | | | | | | |
| 1 | МРС | Ovis/Capra | 208 | 83,5 | 886 | 77,1 | 640 | 84,4 | 1734 |
| 2 | Осел | Equus asinus | 11 | 4,4 | 127 | 11,1 | 45 | 5,9 | 183 |
| 3 | Лошади | Equus sp. | 5 | 2,0 | 33 | 2,9 | 4 | 0,5 | 42 |
| 4 | Свинья | Sus domestica | 13 | 5,2 | 57 | 5,0 | 32 | 4,2 | 102 |
| 5 | КРС | Bos taurus | 3 | 1,2 | 33 | 2,9 | 25 | 3,3 | 61 |
| 6 | Собака | Canis familiaris | 0 | 0,0 | 3 | 0,3 | 0 | 0,0 | 3 |
| 7 | Курица | Gallus gallus | 0 | 0,0 | 1 | 0,1 | 1 | 0,1 | 2 |
| Итого | | | 240 | 96,4 | 1140 | 99,2 | 747 | 98,5 | 2127 |
| ДИКИЕ ЖИВОТНЫЕ | | | | | | | | | |
| 8 | Джейран | Gazella subgutturosa | 0 | 0,0 | 2 | 0,2 | 1 | 0,1 | 3 |
| 9 | Олень | Cervus sp. | 1 | 0,4 | 0 | 0,0 | 1 | 0,1 | 2 |
| 10 | Козел | Capra sp. | 0 | 0,0 | 2 | 0,2 | 0 | 0,0 | 2 |
| 11 | Дикие копытные | Bovidae sp. | 0 | 0,0 | 0 | 0,0 | 6 | 0,8 | 6 |
| 12 | Корсак | Vulpes corsac | 0 | 0,0 | 2 | 0,2 | 0 | 0,0 | 2 |
| 13 | Заяц | Lepus sp. | 1 | 0,4 | 0 | 0,0 | 0 | 0,0 | 1 |
| 14 | Гусь | Anser sp. | 1 | 0,4 | 2 | 0,2 | 0 | 0,0 | 3 |

| № | ВИДЫ | ЛАТИНСКИЕ НАЗВАНИЯ | ПЕРВАЯ ПОЛ. III В ДО Н.Э. | | ВТОРАЯ ПОЛ. III В ДО Н.Э. | | III-II ВВ. ДО Н.Э. | | ИТОГО |
|------------------------------------|-----------|--------------------|---------------------------|------------|---------------------------|------------|--------------------|------------|-------------|
| | | | КОСТИ | % | КОСТИ | % | КОСТИ | % | |
| 15 | Утки | Anas sp. | 1 | 0,4 | 0 | 0,0 | 0 | 0,0 | 1 |
| 16 | Куропатка | Perdix sp. | 3 | 1,2 | 0 | 0,0 | 1 | 0,1 | 4 |
| 17 | Птицы | Aves | 1 | 0,4 | 1 | 0,1 | 2 | 0,3 | 4 |
| 18 | Рыбы | Pisces | 1 | 0,4 | 0 | 0,0 | 0 | 0,0 | 1 |
| Итого | | | 9 | 3,6 | 9 | 0,8 | 11 | 1,5 | 29 |
| Неопределенные | | | 47 | | 171 | | 174 | | 392 |
| Доля определимых | | | 84,1 | | 87,0 | | 81,3 | | 84,6 |
| Всего | | | 296 | | 1320 | | 932 | | 2548 |
| Объем, занимаемый костями (куб.дм) | | | 4,1 | | 40,9 | | 18,1 | | 63,1 |
| Естественная сохранность | | | 3–4 | | 2–3 | | 2–3 | | 2–3 |
| Индекс раздробленности | | | 72,1 | | 32,3 | | 51,5 | | 40,3 |

Таблица 1. Видовой состав и остеологические спектры животных в хронологических выборках на территории основного четырехугольника крепости Узундара (раскопки 2022–23г.)

Кости млекопитающих в трех выборках преобладают среди остатков животных, попавших в культурный слой крепости Узундара. Фрагменты разных костей домашних животных (98,7%) составляют основную часть остеологических находок на территории исследуемых раскопок. К домашним животным относятся восемь видов: мелкий рогатый скот (овцы и козы), крупный рогатый скот, лошадь, осел, свинья, собака и куры. Из диких животных на данный момент определены: джейран, бухарский олень, дикий козел, корсак, заяц, куропатка.

Результаты и обсуждение

Выявленный видовой набор животных, за некоторым исключением, оказался типичным для бактрийских крепостей эллинистического периода (Benecke, 2013). Кости корсака в крепости Узундара были обнаружены впервые (Двуреченская, 2020, 2024). Ниже в повидовых очерках представлена детальная, хотя и предварительная, биологическая информация, которая позволяет дополнить представления о некоторых аспектах жизни обитателей Узундара.

Мелкий рогатый скот, овца (*Ovis aries*) и коза (*Capra hircus*) неизменно занимает первое место среди домашних животных в коллекции из основного

четырёхугольника крепости Узундара. Всего к обоим видам можно отнести 1734 остатков костей и зубов. Представленность данной группы в остеологическом спектре по хронологическим выборкам составляет 83,5% (пер. пол. III в. до н.э.), 77,1% (втор. пол. III в. до н.э.) и 84,4% (III-II вв. до н.э.) (табл. 1).

Повышенная раздробленность скелетных остатков мелкого рогатого скота вызвала затруднения в различении костей овец и коз. Определение видовой принадлежности было сделано только для ограниченного числа находок (около 6%), таких как: стержни рогов, фрагменты черепов, метаподиальные кости и наиболее сохранившиеся фрагменты посткраниального скелета (Громова, 1953 и др.).

Результаты видовой диагностики показали, что в среднем по коллекции 2022–23 г. овцы встречаются более чем в два раза чаще, чем козы. Аналогичные данные были получены ранее по другим раскопам Узундара (Двуреченская, 2020, 2024). Преобладание овец над козами отмечено и на других памятниках Бактрии (Benecke, 2013; Двуреченская, 2016). Подобное соотношение этих двух видов мелкого рогатого скота соответствует структуре их стада в хозяйствах, наиболее целесообразно адаптированных к природным условиям данного региона.

| ВИД | КОСТИ | | ИЗ НИХ ОСТАТКИ СО СЛЕДАМИ | | | | | | | |
|--------------------------|-------|-------|---------------------------|----------|------|------|-----------|-----------|-------|-------|
| | ЧИСЛО | % | ПОГРЫЗОВ | РАЗРУБОВ | НОЖА | ОГНЯ | ПАТОЛОГИЙ | ОБРАБОТКИ | ВСЕГО | % |
| МРС | 1734 | 68,8 | 104 | 92 | 226 | 2 | 3 | 7 | 434 | 74,7 |
| Осел | 183 | 7,3 | 13 | 10 | 30 | 1 | 4 | 1 | 59 | 10,2 |
| Лошадь* | 42 | 1,7 | 2 | 3 | 11 | | 1 | | 17 | 2,9 |
| КРС | 61 | 2,4 | 3 | 7 | 10 | | 1 | | 21 | 3,6 |
| Свинья | 102 | 4,0 | 8 | 7 | 18 | 1 | 1 | | 35 | 6,0 |
| Дикие копытные | 6 | 0,2 | | 4 | 1 | | | | 5 | 0,9 |
| Олень | 2 | 0,1 | | 1 | 1 | | | | 2 | 0,3 |
| indet L | 99 | 3,9 | | 1 | | | | | 1 | 0,2 |
| indet m | 293 | 11,6 | 2 | 2 | 3 | | | | 7 | 1,2 |
| Соотношение групп следов | 2522 | 100,0 | 132 | 127 | 300 | 4 | 10 | 8 | 581 | 100,0 |
| % | | | 22,7 | 21,9 | 51,6 | 0,7 | 1,7 | 1,4 | 100,0 | |

Таблица 2. Статистика следов искусственного воздействия и патологий на костях из заполнения раскопок на территории основного четырехугольника крепости Узундара (раскопки 2022–23г.)

Среди обнаруженных остатков мелкого рогатого скота присутствуют все элементы основных отделов скелета — черепа, длинные трубчатые кости, ребра и позвонки, дистальные части конечностей. На них зафиксированы многочисленные следы прирезей (226) и разрубов (92). Подобный состав и следы на костях указывают на «кухонное» происхождение остатков (табл. 2).

Благодаря наличию сохранившихся наиболее целых костей мы можем сказать о некоторых морфологических особенностях мелкого рогатого скота. Остеометрические данные (табл. 3) указывают на мелкую породу овец с предполагаемой высотой в холке от 56 до 64 см (Цалкин, 1961; Teichert, 1975).

| ХРОНОЛОГИЯ | ДЛИНА МАКСИМАЛЬНАЯ, ММ | ШИРИНА ПРОКСИМАЛЬНО ЭПИФИЗА, ММ | ШИРИНА ДИАФИЗА, ММ | ШИРИНА ДИСТАЛЬНОГО ЭПИФИЗА, ММ | ВЫСОТА В ХОЛКЕ, СМ | ВИД |
|----------------------------|------------------------|---------------------------------|--------------------|--------------------------------|--------------------|-------|
| вторая.пол. III в. до н.э. | 101,9 | 23,8 | 16,4 | 26,8 | | capra |
| | 102,4 | 24,6 | 16,8 | 26,1 | | capra |
| | 106,2 | 24,0 | 17,0 | 26,1 | | capra |
| | 116,2 | 24,7 | 14,2 | 25,2 | 56,0 | ovis |
| | 125,0 | 24,4 | 14,1 | 25,6 | 61,0 | ovis |
| | 127,1 | 25,5 | 14,7 | 26,5 | 62,0 | ovis |
| | 129,0 | 25,6 | 15,1 | 27,9 | 63,0 | ovis |
| | 131,1 | 25,7 | 16,2 | 28,1 | 64,0 | ovis |

Таблица 3. Промеры целых пястных костей МРС и экстерьерные показатели овец

Возраст мелкого рогатого скота на момент убоя оценивался на основании прорезывания зубов и их износа (Лесбр и др., 1932). По фрагментам нижних челюстей (85 ед.) и разрозненным зубам (41 ед.) зафиксированы представители всех возрастных групп от новорожденных до старых (Рис. 1).

Распределение возрастов в схеме забоя показывает, что наибольший процент 38,2% приходится на группу взрослых животных (2,5–6 лет), на группу подросткового возраста (2–2,5 года) приходится 30,6% от всей выборки, далее следует группа старых животных (>6 лет) — 11,5%, на группу молодых животных (1–2 года) 11,1%. На группу молодняка приходится 8,3% забитых особей.

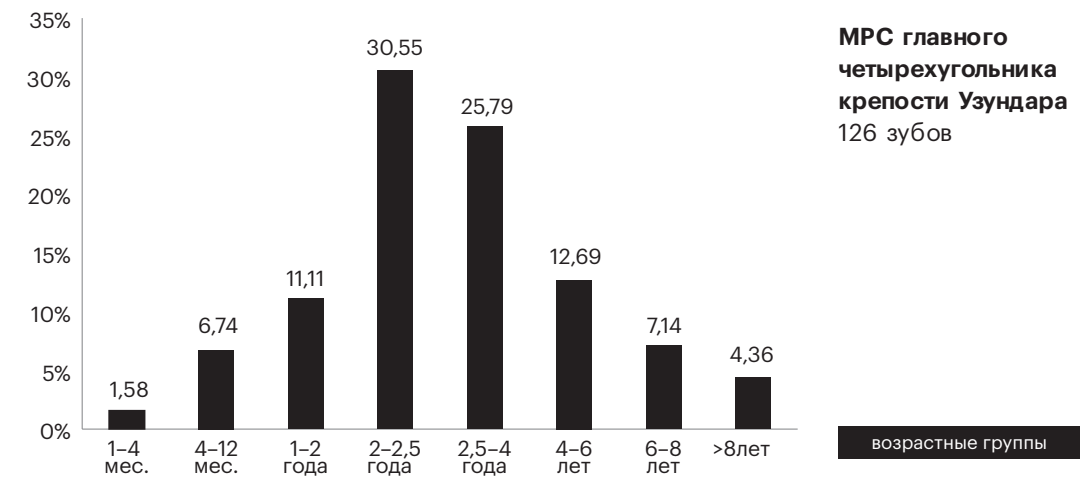


Рис. 1. Возраст забитых на мясо овец и коз на территории основного четырехугольника крепости Узундары.

Анализ тазовых костей и стержней рогов позволил выявить присутствие в коллекции как самцов, так и самок. Обобщая полученную информацию по половозрастным группам, можно предположить, что диета гарнизона зависела от поставок продовольствия из окружающих селений. Нельзя исключать и то, что овцы и козы при временном содержании на территории крепости могли использоваться для производства молока и мяса, а также для получения шерсти и кож.

Кости как овец, так и коз, несомненно, были также сырьем для косторезного ремесла. Найдено 7 фрагментов костей МРС со следами обработки: это два костных стержня рога со спилом, а также пястные кости козы и овцы со следами полировки и круглым отверстием в проксимальном эпифизе (Рис. 2).

На трех костях МРС обнаружены патологии, в частности — на одном ребре и одной плюсневой кости зафиксированы следы воспалительного процесса. На одной нижней челюсти обнаружена патология неравномерного стирания зубов.

Осел (Equus asinus) выступает вторым видом по обилию костей среди домашних животных (183 фрагмента, табл.1). В остеологическом спектре представленность осла по хронологическим выборкам составляет 4,4% (пер. пол. III в. до н.э.), 11,1% (втор. пол. III в. до н.э.) и 5,9% (III-II вв. до н.э.) (табл. 1). В целом, на костях осла найдено 55 следов искусственного воздействия, что составляет 32,2% от всей выборки данного вида. Подобная информация указывает на то, что мясо ослов широко использовалось в пищу. Однако до забоя



Рис. 2. Пястные кости MPC с обработкой: А — левая пястная кость козы; Б, Б' — правые пястные кости овцы.

эти особи максимально эксплуатировались в качестве вьючных животных. Об этом свидетельствуют обнаруженные костные патологии (4), появление которых обусловлено перевозом животными тяжелых грузов. Данные по прорезыванию и износу зубов, а также по окостенению эпифизов показывают, что большинство остатков осла принадлежат взрослым животным.

Лошадь (*Equus caballus*) представлена всего 42 фрагментами костных остатков, из них 40,4% имеют следы кухонной разделки (прирези и разрубы). Остатки лошади найдены в слоях трех хронологических периодов и составляют в остеологическом спектре 2,0% (пер. пол. III в. до н.э.), 2,9% (втор. пол. III в. до н.э.) и 0,5% (III–II вв. до н.э.). Благодаря использованию методики, в основе которой лежит оценка на качественном уровне размеров костей посткраниального скелета взрослых особей с проекцией на рост животных, которым они принадлежали (Antipina, 2017), мы обнаружили, что в коллекции присутствуют остатки как крупных, так и средних по размерам особей.

Свинья домашняя (*Sus scrofa domestica*). В общей сложности найдено 102 кости домашней свиньи. Важно отметить, что, несмотря на малочисленность остатков свиньи, они равномерно распределены по исследуемой территории. Почти все эти кости происходят от молодых и полувзрослых особей, которые еще не достигли размеров взрослых свиней. Это говорит о том, что на мясо забивались молодые и полувзрослые свиньи. На одной метаподии взрослой особи были зафиксированы следы воспалительного процесса неизвестной этиологии.

Крупный рогатый скот (*Bos taurus*). Костные останки КРС малочисленны, всего 61 фрагмент (около 3% по всей коллекции, табл.1). На 33% костей КРС зафиксированы следы кухонной разделки.

Очевидно, что ценность коров и быков, как мясного ресурса, для обитателей Узундара была достаточно высока, ввиду значительных экономических затрат на его пригон и содержание в условиях высокогорья. Малочисленность остатков КРС в обсуждаемой коллекции, становится очевиднее в сравнении с археозоологическими данными по расположенным гораздо ниже Узундара крепостям Курганзол и Кампыртепа, которые фиксируют до 19% КРС в остеологических спектрах (Beneske, 2013; Двуреченская, 2016).

Собака (*Canis familiaris*) представлена тремя костями. Обнаружены одно ребро и два позвонка. Ни на одной собачьей кости не было следов разделки.

Курица (*Gallus gallus domestica*). Кости домашних кур, фрагмент левой бедренной кости и фрагмент правой плечевой кости, принадлежали взрослым особям.

Дикие животные

В остеологической коллекции из раскопок 2022–23 г. на территории основного четырехугольника крепости Узундара дикая фауна представлена лишь 29 костями. Этот факт, несомненно, указывает на то, что охота в обеспечении узундаринцев мясными продуктами играла вторичную роль. Из промысловой фауны присутствуют остатки джейрана (3 фрагмента), бухарского оленя (2 фрагмента) и зайца (1 фрагмент) ^(табл.1).

Кроме того, в выборке остатков диких животных единичными экземплярами костей представлены животные из семейств полорогих, более точное определение которых еще предстоит.

Впервые на территории Узундара обнаружены костные остатки (2 фрагмента правых берцовых костей) корсака (*Vulpes corsac*), этот вид так же выявлен в остеологической коллекции из бактрийской крепости Курганзол ^(Benecke, 2013).

На территории основного четырехугольника крепости обнаружены также единичные кости трех видов диких птиц: гусь (*Anser sp.*), куропатка (*Perdix sp.*), утки (*Anas sp.*) (табл.1). Кости куропатки, гуся и утки могли попасть в культурный слой как кухонные остатки.

В коллекции обнаружен один позвонок рыбы из семейства карповые, более точное определение еще предстоит.

В заключение отметим, что сравнение трех остеологических выборок, разделяемых по хронологии, на данном этапе изучения материалов Узундара остается условным. Однако если видовой состав домашних животных не изменяется на протяжении двух столетий, то количество костей мелкого рогатого скота относительно общей выборки показывает тенденцию к снижению во второй половине III в. до н.э. Обратную ситуацию мы наблюдаем с остатками осла. Тогда как у других видов существенных изменений в представленности не отмечается. Сходная динамика зафиксирована по исследованной коллекции из цитадели крепости Узундара. Интерпретация этих изменений является задачей дальнейшего комплексного анализа всех остеологических материалов, с детальным рассмотрением в объектах.

Предварительные результаты изучения остеологической коллекции из раскопок 2022–23 г. позволили дополнить некоторые обобщения и под-

твердить ряд ранее установленных особенностей в использовании животных обитателями крепости.

Основу мясного рациона военного гарнизона составляла баранина, ее дополняло мясо рабочих ослов. Остальные домашние копытные — лошадь, КРС и свинья — редко забивались на мясо.

Обитатели крепости дополняли основной рацион, задействовав природные животные ресурсы во всем их многообразии — это и промысловые дикие копытные (четыре вида), заяц, птицы и рыбы.

Анализ остеологических материалов по трем хронологическим периодам существования крепости показал некоторые тенденции в изменении мясного рациона, которые требуют подтверждения — это уменьшение во второй половине III в. до н.э. потребления баранины и некоторое увеличение мяса осла.

Ф.В. Шелов-Коведяев
НИУ «Высшая школа Экономики»,
г. Москва

Приложение 3

НЕКОТОРЫЕ ЭПИГРАФИЧЕСКИЕ ИТОГИ

раскопок Узундара в 2021–2024 годах
(название крепости, ее греческий комендант
и воины-бактрийцы)

В 2019 году в докладе, прочитанном в Институте археологии РАН на конференции «Восточный эллинизм», я предложил считать, что древнее название укрепления, расположенного в урочище Узундара, было Βᾶρις: поскольку в греческих диалектах Востока, начиная с Малой Азии, это слово было родовым для обозначения фортеций различного типа (см., например, Bull. ép. 56, 325; 61, 216; 61, 241). К такой мысли меня подтолкнули многократно повторяющиеся беты, вырезанные по сырой глине на хумах, в которых военным доставлялись продукты. Совпадающие, что характерно, с аналогичными литерами на обнаруженных в цитадели солдатских жетонах.

В сезон 2023 г. мое предположение нашло свое подтверждение. На очередном сосуде сокращение топонима оказалось более развернутым — ΒΑ (рис. 1).

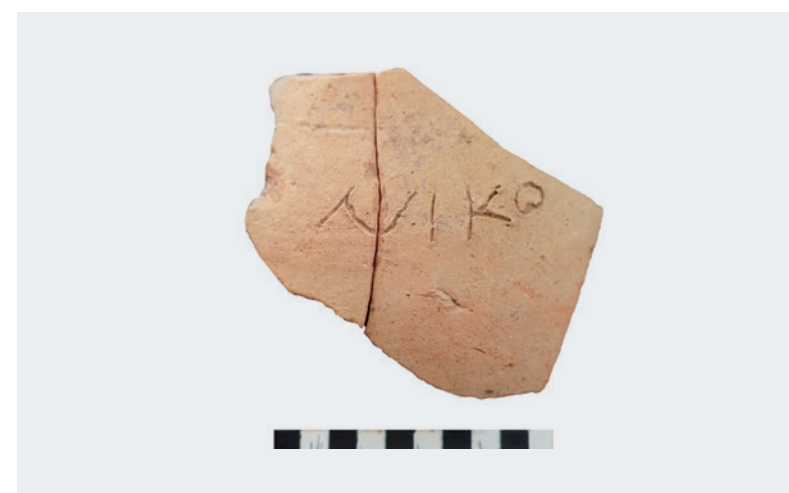
Ранее (2021 г.) был найден артефакт, принесший не менее важную историческую информацию. А именно: расколотый надвое фрагмент керамической стенки с граффито ΝΙΚΟ (рис. 2). Имен, начинающихся на такие слоги, в эллинском ономастиконе масса (см. все тома LGPN). Поэтому не имеет смысла восстанавливать помет полностью. Важнее другое, — судя по тому, что надпись нанесена также по сырой глине, она помечала собой персональную поставку (вероятно, для командира отряда, расквартированного в крепости, чья личность теперь частично известна).

Тот же сезон подарил еще одну замечательную находку, которая позволила задуматься о том, что (это нашло свое подтверждение в дальней-

► Рис. 1. Древнее название крепости Узундара — Βᾶρις



► Рис. 2. Имя начальника гарнизона крепости



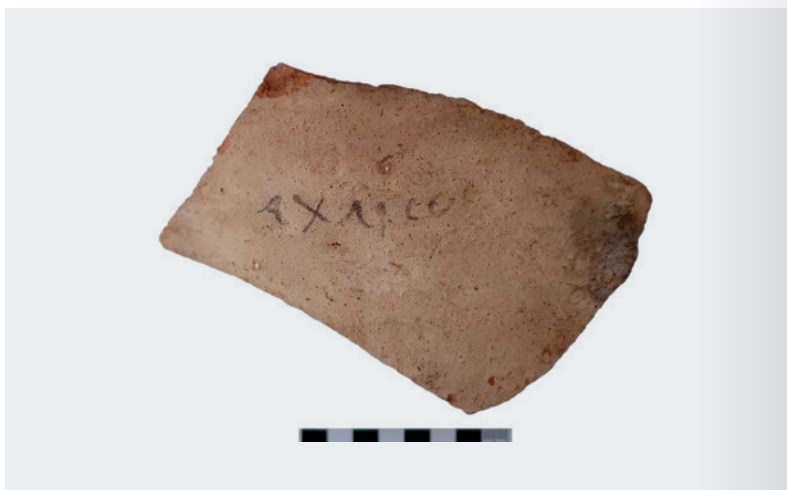
► Рис. 3. Арийское имя δασαβαλ



► Рис. 4. Бактрийское имя σπιδο



► Рис. 5. Бактрийское имя αχλισοι



► Рис. 6. Бактрийское имя или вотив Гору



шем) контингент стражи набирался, в том числе, из жителей Бактрии. Монограмма, две части которой соединены между собой (Рис. 3), начинается с двух совмещенных травмированных треугольников, за которыми следуют — сигма с вписанной в нее альфой и бета, чья нижняя (углом) петля продолжается альфой и лямбдой. Все вместе наиболее непротиворечиво представить себе, как аббревиатуру *δασαβαλ*. Она же заставляет обратить внимание на давно известное арийское ЛИ *Dasabala*, вторая часть которого восходит к *bálam* «сила, власть» (Mayrhofer, 1976. S. 434). М. Майрхофер сопоставляет его и с *dasabam* (офицер) — эламской передачей иранского *sabhā* (Mayrhofer, 1976, S. 434).

Тогда же была открыта миска с владельческой подписью *σπιδο* (Рис. 4). Последняя уже прямо ведет в бактрийский материал, в ономастиконе которого представлен *ασβιδο* (исходное 'sbido «владелец коня», где ['] в анлауте, — что хорошо показывает следующая современными требованиям транслитерации транскрипция латиницей, — представляет собой слабый (ср. Istanbul / Стамбул) призвук, не отраженный в узундаринском граффито, но получивший свою фиксацию на письме в V по Р.Х. (Sims-Williams., 2010, P. 35, No 27). Ну, а в оглушении звонкого ($\beta > \pi$) в греческой передаче тоже нет ничего сенсационного.

Дипинто *αχλισοι* (2022 г., Рис. 5), скорее всего, есть вариант бактр. АН *αχλισο* (происхождение неясно, потому и возможны разночтения) (Ibid. P. 34, No 18). Если йота после омикрона в конце него закономерна, то она демонстрирует либо греческий датив имени получателя (без соблюдения долготы [ο]), либо еще одну версию фонетического оформления бактрийского антропонима.

С *χορ(ι?)* (2023 г., Рис. 6: курсивом в греческом я отмечаю плохо сохранившиеся буквы) ситуация похожая. Или это обычное во владельческой «малой» эпиграфике сокращение разновидности бактр. ЛИ *χορασο* (стоит в источнике 714 г. по Р.Х.: значение неясно, поскольку *σο* может быть уменьшительным суффиксом: *χορα-σο* (Ibid. P. 152, No 540). Или, — коли вертикальная черта после ро неслучайна, — может быть, и посвящение в дательном падеже. В полной (что для меня приоритетно) форме, — если солярному божеству Гору (ибо армия македонцев пришла в Бактрию после завоевания долины Нила), и в исконной египетской огласовке теонима. Либо с сокращенной (что нетипично, почему я сомневаюсь в такой возможности) эпиклезой и с ранним переходом $\epsilon\iota > \iota$, — если приношение делалось, что неудивительно для бражничающих солдат, [*Διονύσωι*] *Χορί(ωι)* «Дионису Танцующему» (об эпитете *Χορείος* у этого бога см. Bull. ép. 58, 236; 66, 144; 67, 189 и проч.).



Рис. 7. Кувшин с надписью

► Рис. 8. Надпись на кувшине, ближний план



► Рис. 9. Иранское имя Ἀζο(ς)



Читаемое на найденном в тот же сезон 2023 года большом кувшине (Рис. 7) Ὑρριαε (Рис. 8) — АН, вероятно, родственный бактр. *υρι-λαδο* (смысл неясен) (Ibid. P. 140, No 484), — с диттографией ро (к удвоению ср., например, *αλχανο/αλχαννο* (Ibid. P. 33, No 17).

Наконец (2024 г., Рис. 9), *αζο* надо, вместе с сарм. Ἄζος и греч. (индо-скифск.?) Ἄζης рефлексиями, возводить к др.-ир. основе *Aza-. Хотя нельзя исключить и их связь (через трансформацию [j]) с символизирующим жизненную энергию древнеиндоиранским корнем аја- «козел» (Schmitt, 2016. S. 68, Nr. 106). В завершение надо отметить открытые формы написания (см. рис 5, 6, 9) ро и омикронов.

SUMMARY

The third volume of the "Bactria" series presents materials from field research conducted over the last two years (2023–2024) by the Bactrian Detachment of the Central Asian Archaeological Expedition of the Institute of Archaeology RAS (Russia), staff of Termez State University, and the Ikuo Hirayama International Caravanserai of Culture (Uzbekistan) at the Uzundara fortress and the "Great Bactrian Wall".

During this period, work was concentrated on the main quadrilateral of the Uzundara fortress. Investigations in Excavations 5 and 6 in the northeast corner of the fortress were completed.

In Excavation 5, Area 4, covering 50 sq. m, was established, located between previously uncovered sections of the northern and eastern fortress walls. The cultural layer in the excavated area did not exceed 0.8 m, and no structures were found. Numismatic and ceramic material allows dating the internal fill of the fortress in this area to the time of Euthydemus I.

In Excavation 6, the northeast corner tower was further investigated. In 2023, an extension trench was added to the excavation on the southeast side, allowing visualization of not only the outer face of the northeast tower (NET) but also its junction with the eastern fortress wall (EFW). Loopholes were uncovered on the outer face of both the southeast face of the NET and the outer face of the EFW.

The entire fortification complex at the northeast corner of the fortress has been

prepared for major conservation and reconstruction work. Only during these final activities can the fully preserved passages connecting the tower with the intramural galleries of the northern and eastern fortress walls be completely investigated.

On the upper platform near the northwest corner of the fortress, where exploratory excavation R 8 (5×5 m) was initiated in 2021, investigations of the identified monumental structure continued. Here, an extension was made, uncovering an area of 40 sq. m, during which the previously discovered rock-cut feature, with walls and floor carved into the bedrock, was exposed over a length of 12 m. The materials obtained can be dated to the beginning of the 2nd century BCE. The closest analogy for the construction technique of carving large-area features into rock is Basement 1 of the Rock Complex in the citadel of the Uzundara fortress. However, the investigations yielded results and require further expansion of the excavated area in this section.

In 2023, to clarify the construction of the northern fortress wall (NFW) of the Uzundara fortress's main quadrilateral at its presumed northwestern edge, exploratory trench R 9 (10×2 m) was established. As a result of the work, it was established that in the western part of the fortress, 60 m from Excavation 5, the NFW repeats its tripartite structure with two intramural corridors. These newly obtained data, in turn, align with and confirm the results of the 2015 georadar surveys and the general

character of the Uzundara fortress's fortification features. Both uncovered intramural corridors of the NFW yielded abundant ceramic and osteological material.

As part of the research on the fortification system of the Great Bactrian Wall, a separate detachment of the Bactrian Detachment, Central Asian Expedition (BD CAE) and a PhD student from Termez State University established exploratory excavations at four detached towers and walls in the areas of the Parch, Sanchil, and Kharpari gorges on Suviztag mountain. During the investigations, features of the tower and wall constructions were identified, and their dating based on associated ceramic material suggests the simultaneous construction of these structures with the Uzundara fortress. It was established that the detached towers on Suviztag mountain were built in two variants—round and square in plan, which will soon allow for the creation of a typology for these structures. The 2023 exploratory work led by O.V. Belsh significantly expanded our understanding of the scale of the Great Bactrian Wall's fortification system.

In 2024, two new excavations were established. R 10, located in the middle of the EFW, measures 6×24 m. The tripartite structure of the EFW with two intramural corridors was confirmed. A fundamentally new discovery was an additional outer wall—EFW O, as well as a counterfort, which appear to be retaining structures reinforcing the EFW on the pronounced natural slope.

New excavation R 11 (5×5 m) was set up in the southwest corner of the fortress on the platform below the southwest

corner tower. Here, the inner face of the Southern Fortress Wall (SFW) was identified for the first time.

The coin collection from the new excavations, as well as from surface surveys in the vicinity of the Uzundara fortress during 2023–2024, is not large, totaling only 15 specimens. However, it yielded new coin types. Notably, a silver hemidrachm of Seleucus I became a unique and first find of its kind for the fortress.

Over the two years of research, a collection of 113 individual finds was obtained. Of particular value within this collection are the coins and epigraphic data, which make a significant contribution to understanding the history of the fortress. All finds have been deposited for storage at the Termez Archaeological Museum. Inventories of individual finds for 2023–24 are presented in Appendix 1.

Appendix 2 examines the complex of mass archaeozoological material obtained in 2022–23 from excavations, primarily within the main quadrilateral of the fortress. Analysis of osteological materials across three chronological periods of the fortress's existence revealed certain trends in dietary meat changes that require confirmation: a decrease in mutton consumption and a slight increase in donkey meat consumption in the second half of the 3rd century BCE.

Appendix 3 discusses epigraphic samples obtained from excavations in the main quadrilateral of the Uzundara fortress. Among the author's interesting conclusions, it is important to note the proposed version of the ancient name for the Uzundara fortress as **βάρης**.

ЛИТЕРАТУРА

Антипина Е.Е. Современная археозоология: задачи и методы исследования // Междисциплинарная интеграция в археологии (по материалам лекций для аспирантов и молодых сотрудников). Отв. ред. Е.Н. Черных, Т.Н. Мишина. М.: Институт археологии РАН. 2016. С. 96–118.

Гаибов В.А., Полякова Н.Б., Г.А. Кошеленко. РАН. Материалы к библиографии ученых. М. Наука. 2015.

Громова В.И. Остеологические отличия родов *Sarca* козлы и *Ovis* бараны // Труды Комиссии по изучению четвертичного периода. Т. X. Вып. 1. 1953.

Двуреченская Н.Д. Введение//Бактрия. Материалы археологических исследований эллинистической крепости Узундара и «Великой Бактрийской стены» в 2022 году. Новые данные по восточному эллинизму. Т.2. 2024. М. С. 4–11.

Двуреченская С.О. Предварительные итоги изучения костных останков животных из раскопок на территории крепости Кампыртепа // ПИФК. 2016. №2 (52.) С. 75–82.

Двуреченская С.О. Предварительные итоги изучения остеологической коллекции из раскопок цитадели военной крепости Узундара// КСИА. 2020. Вып. 259. С. 385–397.

Двуреченская С.О. Предварительные итоги изучения археозоологического материала из раскопок 2021 года на территории крепости Узундара/ Бактрия. Т. 2. Материалы археологических исследований эллинистической крепости Узундара

и «Великой Бактрийской стены» в 2022 году. Новые данные по восточному эллинизму // Отв. ред. Н.Д. Двуреченская. М. ИА РАН. 2024. С. 142–151.

Двуреченская Т.О. Раскоп 5, участок 2// Бактрия. Материалы археологических исследований эллинистической крепости Узундара в 2021 году. Т.1. 2023. М. С. 48–61.

Лесбр Ф.К. Распознавание возраста по зубам и производным эпителия: Лошади, коровы, собаки... Корневен, Ш. Пер. с фр. М. 1932.

Цалкин В.И. Изменчивость метаподий у овец// БМОИП. Отдел Биологический. №66 (5). 1961. С. 115–132.

Ekatarina E. Antipina. Die archäozoologische Analyse der Tierknochen aus der Siedlung Kabardinka 2 // S. Reinhold, D.S. Korobov, A.B. Belinskij. Landschaftsarchäologie im Nordkaukasus. Studien zu einer neu entdeckten bronzezeitlichen Kulturlandschaft im Hochgebirge des Nordkaukasus. Archäologie in Eurasien, № 38. Herausgegeben von Svend Hansen. Habelt-Verlag — Bonn: 2017. Pp.123–138.

Benecke N. Faunal Remains of Kurganzol (Uzbekistan). In: Леонид Михайлович Сверчков, Курганзол—Крепость Александра на юге Узбекистана. SMI-ASIA Tashkent. 2013. С. 172–178.

Houghton A., Lorber C. Seleucid Coins. A Comprehensive Catalogue. Part I, Volume I–II. New York, 2002, the ANS, Classical Numismatic Group. INC.

Glenn S. Money and power in Hellenistic Bactria. New York, 2020, the ANS. Numismatic Studies, 43.

Jongeward D., Cribb J., Donovan P. Kushan, Kushano-Sasanian, and Kidarite Coins. A Catalogue of Coins from the American Numismatic Society. New York, 2014, p.4–5.

Cribb J. Numismatic evidence and the date of Kanishka / Problems of Chronology in Gandhāra Art. Proceedings of the First International Workshop of the Gandhāra Connections Project, University of Oxford, 23rd-24th March, 2017. P.14.

Mayrhofer M. Kurzgefaßtes etymologisches Wörterbuch des Altindischen. Bd. II. Heidelberg: Carl Winter; Universitätsverlag, 1963. 699 S.

Mayrhofer M. Kurzgefaßtes etymologisches Wörterbuch des Altindischen. Bd. III. Heidelberg: Carl Winter; Universitätsverlag, 1976. XXIII 808 S.

Schmitt R. Personennamen in Parthischen epigraphischen Quellen. Wien: Verlag der Österreichischen Akademie der Wissenschaften, 2016. 287 S.

Sims-Williams N. Bactrian Personal Names. Wien: Verlag der Österreichischen Akademie der Wissenschaften, 2010. 199 P.

Teichert M. Osteometrische Untersuchungen zur Berechnung der Wiederristhöhe bei Schaffen. — In: Archaeozoological Studies. Amsterdam, 1975. P 212–265.

Список библиографических сокращений

АН— антропоним

ЛИ— личное имя

БМОИП— Бюллетень московского общества испытателей природы

КСИА— Краткие сообщения Института археологии

ПИФК— Проблемы истории филологии и культуры

Bull. ép.— Bulletin épigraphique

LGPN— Lexicon of Greek Personal Names

SC — **A. Houghton, C. Lorber.** Seleucid Coins. A Comprehensive Catalogue. Part I, Volume I–II. New York, 2002, the ANS, Classical Numismatic Group. INC.

S. Glenn — **S. Glenn.** Money and power in Hellenistic Bactria. New York, 2020, the ANS. Numismatic Studies, 43



С 2013 года Бактрийский отряд Среднеазиатской археологической экспедиции Института археологии РАН приступил к археологическим раскопкам на крепости Узундара. В эти годы у отряда появляется свой логотип с устремленным на вершину горы УАЗом — становым хребтом всей экспедиции, открывающей уникальные материалы по эллинизму Древней Бактрии.

Научное издание

Бактрия. Том 3.
*Материалы археологических исследований
эллинистической крепости Узундара
и «Великой Бактрийской стены» в 2023–2024 годах*

Ответственный редактор: Н.Д. Двуреченская.
Дизайн и верстка: дизайн-студия «Космос».

Подписано в печать 03.07.2025.
Формат 70×100/16.
Уч.-изд. л. 12,7.
Бумага мелованная матовая.
Гарнитуры Graphik LC, Swift, Arial.
Тираж 100 экз. Заказ № 854.

Институт археологии РАН
117292, Москва, ул. Дм. Ульянова, 19.

Отпечатано в типографии «Белый ветер».